

Technická univerzita v Liberci
Fakulta strojní

*Kinematické a dynamické
parametre podávacieho mechanizmu
šijacieho stroja*

KINEMATIC AND DYNAMIC PARAMETERS OF THE SEWING MACHINE FEED
MECHANISM

Habilitačná práca

UNIVERZITNÍ KNIHOVNA
TECHNICKÉ UNIVERZITY V LIBERCI



3146071322

Ing. Oto Barborák, CSc

Liberec, 2001

U348 S

KTS
66 p., 16 p. jímk

Podkladové materiály - k odovzdanej habilitačnej práci
Ing. Oto Barborák, CSc

Kľúčové slová habilitačnej práce

Šijací stroj, podávací mechanizmus, kinematika a dynamika pohybu mechanizmu, analytické metódy riešenia, poloha - rýchlosť a zrýchlenie bodu, optimalizácia parametrov,

Abstract

Habilitation thesis describes the point's movement of the feed mechanism- sewing machine. The kinematic parameters (like trajectory , speed and acceleration) have been obtained by the optimization of some mechanism components. These parameters can be accept for sewing- machine running. Habilitatlon thesis include dynamic solution of mechanism too. We used the program MATLAB and method of uniform searching for optimization.

Príspevok sa zaobera pohybom bodu podávacieho mechanizmu šijacieho stroja. Optimalizáciou niektorých členov mechanizmu sa dosiahli kinematické parametre (dráha, rýchlosť, zrýchlenie), ktoré sú akceptovateľné pre chod šijacieho stroja. Súčasťou habilitačnej práce je i dynamické riešenie mechanizmu. Pre optimalizáciu bol použitý program MATLAB a metóda rovnomenného hľadania.

Trenčín, 4.3.2002

U348

Obsah

Zoznam použitých symbolov	
Ciele habilitačnej práce	
1.0 Úvod	5
2.0 Stručná charakteristika problematiky podávacích mechanizmov	6
3.0 Mechanizmy spodného podávania	8
4.0 Kinematická analýza riešenia mechanizmov	10
5.0 Grafické a analytické riešenie mechanizmov	12
5.1 Trigonometrická metóda	13
5.2 Metóda komplexných čísel	13
5.3 Vektorová metóda	15
5.4 Metóda prevodových funkcií	17
5.5 Maticová metóda	18
6.0 Metódy dynamického riešenia mechanizmov	22
6.1 Metóda uvoľňovania	23
7.0 Analytické riešenie mechanizmu vektorovou metódou	26
8.0 Bloková schéma programu pre výpočet kinematických veličín bodu Z	31
9.0 Záver k dosiahnutým výsledkom analytického riešenia	31
10.0 Optimalizácia vytypovaných parametrov mechanizmu	33
10.1 Teoretické základy optimalizačných metód	33
10.2 Optimalizácia parametrov mechanizmu spodného podávania	34
11.0 Analýzy a výsledky optimalizácie parametrov mechanizmu spodného podávania	36
11.1 Výsledky optimalizácie vytypovaných parametrov mechanizmu	36
12.0 Pohyb prítláčného mechanizmu vplyvom pôsobenia podávacieho mechanizmu pri pracovnom cykle	43
12.1 Analýzy silových pomerov pri styku bodu Q s prítláčnou pätkou	45
12.2 Stanovenie minimálneho počiatočného stlačenia pružiny	47
12.3 Stanovenie zdvihacej sily F_z	48
13.0 Dynamická analýza mechanizmu spodného podávania	48
14.0 Výpočet zložiek zrýchlení ťažísk jednotlivých členov mechanizmu	51
15.0 Program pre výpočet reakcií v klboch podávacieho mechanizmu a dosiahnuté výsledky	55

15.1 Program pre výpočet reakcií v kľoboch podávacieho mechanizmu a dosiahnuté výsledky	55
15.2 Závery z dynamickej analýzy	60
16.0 Celkový záver k výsledkom práce	61
16.1 Zhrnutie výsledkov práce	61
16.2 Závery pre prax	62

Zoznam použitej literatúry

Prílohy

Zoznam najdôležitejších symbolov

0,x,y,z		súradnicový systém
Q, η , ζ , ξ		súradnicový systém
q, s _j [-]		zovšeobecnená súradnica
m _s		počet zvolených súradníc
x [m]		globálna súradnica polohy v smere osi x
\dot{x} [$m.s^{-1}$]		I. derivácia polohy.....rýchlosť v_x
\ddot{x} [$m.s^{-2}$]		II. derivácia polohy....zrychlenie a_x
y [m]		globálna súradnica polohy v smere osi y
\dot{y} [$m.s^{-1}$]		I. derivácia polohy.....rýchlosť v_y
\ddot{y} [$m.s^{-2}$]		II. derivácia polohy....zrychlenie a_y
v [$m.s^{-1}$]		rýchlosť
a [$m.s^{-2}$]		zrychlenie
ϕ [rad]		polohový uhol hnacieho člena
φ , β [rad]		smerové uhly
$\dot{\phi}$ [$rad.s^{-1}$]		I. derivácia polohového uhlia hnacieho člena - uhlová rýchlosť
$\ddot{\phi}$ [$rad.s^{-2}$]		II. derivácia polohového uhlia hnacieho člena uhlové zrychlenie
ω [$rad.s^{-1}$]		uhlová rýchlosť
$\dot{\omega}$ [$rad.s^{-2}$]		uhlové zrychlenie
α [$rad.s^{-2}$]		uhlové zrychlenie
d [-]		počet kinematických dvojíc (väzieb)
k [-]		počet výtvarných mnohouholníkov
l [m]		dĺžka člena mechanizmu
\dot{l} [$m.s^{-1}$]		rýchlosť zmeny dĺžky člena mechanizmu
\ddot{l} [$m.s^{-2}$]		zrychlenie zmeny dĺžky člena mechanizmu
m [-]		počet členov mechanizmu
m _i [kg]		hmotnosť i-teho člena mechanizmu
n [-]		počet stupňov voľnosti
n _o [-]		počet všeobecných členov
n _p [-]		počet posuvných členov
n _R [-]		počet rotačných členov
λ		zdvirová závislosť
μ		prevod
v		derivácia prevodu
t [s]		čas
D [N]		zotrvačná sila

M	[kg.m]	krútiaci moment
M_D	[kg. m^2]	deviačny moment zotrvačnosti
F	[N]	sila
F_x	[N]	sila v smere osi x
F_y	[N]	sila v smere osi y
G	[kg]	tiaž člena mechanizmu
J	[kg. m^2]	osový moment zotrvačnosti
R	[N]	reakcia
T	[-]	označenie t'ažiska

vektory:

\vec{l}	vektor dĺžky člena
\vec{v}	vektor rýchlosťi
\vec{a}	vektor zrýchlenia
\vec{q}	polohový vektor
$\vec{\omega}$	vektor uhlovej rýchlosťi
\vec{r}	vektor, priradený členu mechanizmu
ρ	vektor
F	vektor sily
F_D	vektor nezávislých síl a momentov - dynamický
M	vektor momentu

Matice :

\mathbf{A}	matica uhlového zrýchlenia
\mathbf{A}_D	matica sústavy dynamická
\mathbf{T}	transformačná matica
\mathbf{Q}	matica uhlovej rýchlosťi

Ciele habilitačnej práce

Šijacie stroje tvoria ako celok súbor viacerých mechanizmov, ktoré v závislosti na pootočení hlavného hriadeľa a v určitej - vopred stanovenej náváznosti vykonávajú pracovné operácie s konečným cieľom vytvoriť kvalitný steh. Každý mechanizmus vzhľadom na činnosť, ktorú vykonáva pri šíti, má svoju charakteristickú konštrukciu a rozmery.

Podávací mechanizmus je jedným z najdôležitejších mechanizmov šijacieho stroja. Od činnosti tohto mechanizmu a presnosti pohybu jeho funkčných členov podstatne závisí i kvalita šitia. Preto zameranie habilitačnej práce je orientované na riešenie jedného z množstva typov podávacích mechanizmov - na riešenie šestčlenného kľbového mechanizmu so spodným podávaním. Ciele riešenia možno zhrnúť do týchto nasledovných oblastí :

1. Analýza podávacích mechanizmov, používaných v šijacích strojoch.
2. Kinematická analýza vytypovaného mechanizmu spodného podávania - stanovenie dráhy, rýchlosťi a zrýchlenia bodu záujmu, ktorý vykonáva technologickú operáciu.
3. Optimalizácia parametrov mechanizmu nadväzne na vykonanú kinematickú analýzu s cieľom stanoviť najpriaznivejšie kinematické parametre bodu záujmu z pohľadu technológie šitia.
4. Stanovenie parametrov podávacieho mechanizmu a prítlačnej pätky pri vzájomnom pôsobení v pracovnom cykle.
5. Vplyv dynamických účinkov na činnosť a konštrukciu optimalizovaného podávacieho mechanizmu.
6. Všetky riešenia vykonať analyticky vo vhodnom programe. Výsledky riešenia prezentovať tabuľkovou a grafickou formou.
7. V záveroch zhrnúť dosiahnuté výsledky s cieľom riešený mechanizmus spodného podávania kinematicky a dynamicky komplexne popísat' a stanoviť prípadnú reálnosť jeho použitia v praxi.

Splnením uvedených cieľov a vyhodnotením dosiahnutých výsledkov sa získajú potrebné vstupné informácie pre vhodnosť použitia mechanizmu v šijacej, prípadnej inej technike.

1.0 Úvod

Pre správny chod šijacieho stroja a kvalitu šitia musia byť splnené viaceré podmienky technické, organizačné i personálne. Najmä požadované nastavenie jednotlivých mechanizmov šijacieho stroja a ich vzájomná súčinnosť je rozhodujúcim faktorom pre spoľahlivú a kvalitnú prácu každého šijacieho stroja. Jedným z rozhodujúcich mechanizmov, ktoré sa zúčastňujú na tvorbe stehu, je i mechanizmus podávania šitého materiálu.

Pri tvorbe stehu sa musí šity materiál rovnomerne posúvať o určitú dĺžku, aby sa mohol vytvoriť rovnaký - nasledujúci steh. Tento posuv je možné zabezpečovať viacerými typmi podávacích mechanizmov ako napr. so spodným alebo vrchným podávaním, ihlovým alebo kombinovaným podávaním. Každý typ má svoje výhody a nevýhody, preto je použiteľný vždy pre určitý typ šijacieho stroja. Všetky však musia posúvať šity materiál o určitú dĺžku - dĺžku stehu, to znamená o vzdialenosť medzi dvomi vpichmi šijacej strojovej ihly. Veľkosť dĺžky stehu závisí predovšetkým od druhu stehu a na hrúbke zošívaneho materiálu.

Podávací mechanizmus posunuje po ukončení každého stehu šity materiál o určitú, vopred nastavenú vzdialenosť. Materiál sa posúva za súčasného prítlaku od prítlačného mechanizmu. Pritom prítlač musí byť nastavený tak, aby nebránil pohybu šitého materiálu a v prípade najmä zúbkových podávačov nepoškodil zošívaný materiál. Pohyb mechanizmu musí byť taktiež synchronizovaný s pohybom mechanizmu šijacej ihly, zachytenia slučky a pohybom prítlačného ústrojenstva.

Dĺžka stehu a jej zmena je veľmi dôležitým činiteľom, ktorý limituje konštrukciu a veľkosť podávacieho mechanizmu. Je ju možné väčšinou meniť v určitom rozmedzí. Preto súčasťou tohto mechanizmu je i mechanizmus regulácie dĺžky stehu a obidva tvoria vždy konkrétnu kinematickú sústavu.

Mechanizmus pre posun šitého materiálu musí taktiež umožňovať posuv šitého materiálu dopredu i dozadu v ľubovoľnom smere v rovine šitia.

Náplňou tejto habilitačnej práce je navrhnutie relativne neštandardného typu mechanizmu spodného ponorného podávania a riešenie jeho optimalizácie s cieľom vyriešiť tento mechanizmus kinematicky a dynamicky tak, aby bol vhodný svojimi parametrami pre praktické využitie. Ciele habilitačnej práce vyplývajú z teoretického rozboru zvolenej problematiky a sú bližšie špecifikované v samostatnej kapitole.

2.0 Stručná charakteristika problematiky podávacích mechanizmov

Po vytvorení každého stehu je nutné posunúť šitý materiál v smere šitia o určitú dĺžku – dĺžku stehu , aby sa mohol opakovat' cyklus vytvorenia ďalšieho stehu. Toto posunutie šitého materiálu zabezpečujú podávacie mechanizmy. Činnosť týchto mechanizmov je synchronizovaná s pohybom stehotvorného ústrojenstva a s činnosťou prítlačného mechanizmu. Najmä prítlačné mechanizmy svojou činnosťou priamo ovplyvňujú podávanie a v niektorých prípadoch majú spoločné časti s podávacími mechanizmami.

Dĺžkou stehu je nazývaná vzdialenosť medzi dvomi po sebe nasledujúcimi vpichmi ihly a je meraná v smere podávania šitého materiálu. Táto dĺžka zodpovedá dĺžke pohybu zariadenia, zabezpečujúceho v časovej náväznosti na pohyb ihly a stehotvorného ústrojenstva posunutia šitého materiálu.

Dĺžka stehu je u šijacích strojov pre štie textilných materiálov udávaná v milimetroch, u šijacích strojov pre štie kože väčšinou počtom stehou na jeden centimeter dĺžky alebo počtom stehov na dĺžku anglického palca u strojov americkej alebo anglickej výroby.

V priebehu vývoja šijacích strojov sa zdokonaľoval i mechanizmus podávania šitého materiálu . Z pohľadu súčasného stavu možno podávacie mechanizmy rozdeliť do nasledovných skupín [39][49][60]:

- a) so spodným podávaním
 - so spodným ponorným podávaním
 - so spodným ponorným diferenciálnym podávaním
 - so spodným kruhovým podávaním
- b) s horným podávaním
 - s prerušovaným pätkovým podávaním (systém Wickersham)
 - s valcovým podávaním
- c) so spodným a ihlovým podávaním
 - so spodným neponorným a ihlovým podávaním
 - so spodným ponorným a ihlovým podávaním

- so spodným ponorným diferenciálnym a ihlovým podávaním
- so spodným kruhovým prerušovaným a ihlovým podávaním
- so spodným kruhovým plynulým a ihlovým podávaním

d) so spodným a horným podávaním

- so spodným neponorným, ihlovým a horným podávaním
- so spodným ponorným, ihlovým a horným podávaním
- so spodným ponorným diferenciálnym a horným podávaním
- so spodným ponorným a horným diferenciálnym podávaním
- so spodným ponorným diferenciálnym a horným diferenciálnym podávaním
- so spodným kruhovým podávaním, poháňaným prítlachným kolečkom
- so spodným kruhovým podávaním, diferenciálne poháňaným prítlachným kolieskom

e) s pomocným podávaním - s odťahovacími ozubenými valcami

- s gumovým odťahovacím valcom
- s pomocným podávaním lemovacích a iných pásov
- s pomocným podávaním časti materiálu

f) s automatickým programovým podávaním

- s podávaním podľa programu na diernom štítku
- s podávaním podľa programu na diernej páiske
- s podávaním podľa programu na magnetofónovej páiske
- s podávaním podľa vačiek
(u dierkovacích strojov, strojov na príšívanie gombíkov a automatov na krátke šitie)
- s podávaním podľa šablón

- g) so zvláštnym podávaním - s tanierovým podávaním (horizontálne taniere)
 - s ručným podávaním (bez strojného podávania)

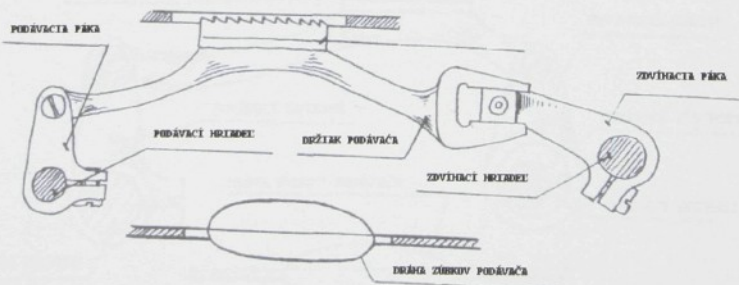
Z pohľadu zamerania tejto práce sú v nasledovných častiach uvádzané len príklady mechanizmov so spodným podávaním.

3.0 Mechanizmy spodného podávania

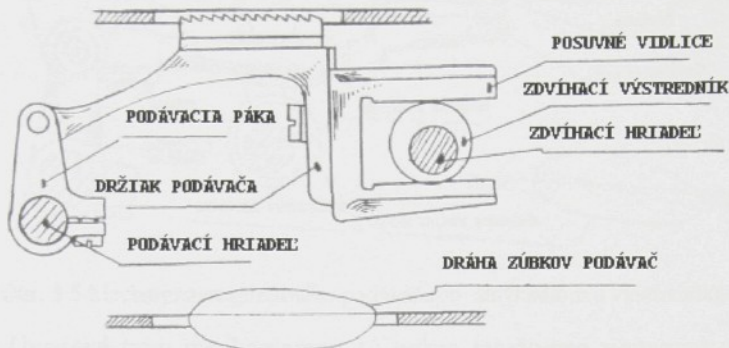
Z klasických šijacích strojov sú najrozšírenejšie šijacie stroje ploché a vývojom pre tieto stroje bolo vytvorených mnoho rôznych druhov podávacích mechanizmov. Podávacie mechanizmy sa v podstate skladajú z mechanizmu podávača a z mechanizmov, udeľujúcich podávaču pohyb v smere vertikálnom, v horizontálnej rovine v smere podávania šitého materiálu a zo zariadenia pre reguláciu dĺžky pohybu podávača v smere šitia.

V praxi sa na šijacích strojoch spracovávajú textilné materiály s veľmi odlišnými vlastnosťami, preto i konštrukcia a technické parametre mechanizmov spodného podávania sú podmienené týmto šitým odevným materiáлом. Pri podávaní materiálu šitého výrobku je jednou z rozhodujúcich vlastností súčiniteľ trenia medzi jednotlivými vrstvami šitého materiálu (je žiaduce z dôvodu stability polohy dvoch a viac na seba uložených materiálov) a medzi materiáлом a súčasťkami šijacieho stroja, s ktorými prichádza do styku (je minimalizované povrchovou úpravou prítlačnej pätky).

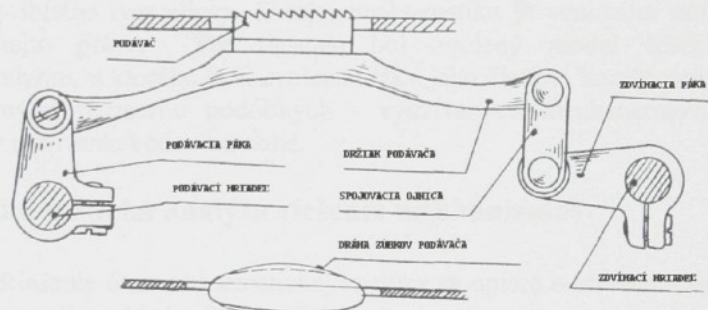
Priklady mechanizmov spodného ponorného podávania[60]



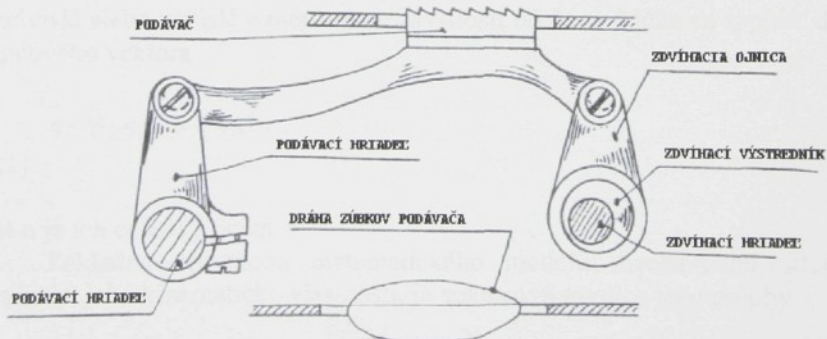
Obr. 3.1 Mechanizmus ponorného podávania s vidlicou a šmýkadlom



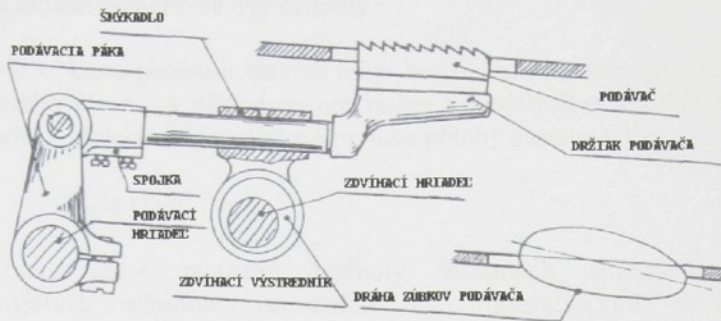
Obr. 3.2 Mechanizmus ponorného podávania s výstredníkom a vidlicou



Obr. 3.3 Mechanizmus ponorného podávania so spojovacou ojnicou



Obr. 3.4 Mechanizmus ponorného podávača s ojnicou a výstredníkom



Obr. 3.5 Mechanizmus ponorného podávača so šmýkadlom a výstredníkom

Uvedené typy mechanizmov sú bežne využívané v rôznych typoch šijiacích strojov. Pre riešenie zvoleného mechanizmu a stanovenie vhodných parametrov jednotlivých jeho členov sú tvary dráhy pohybu bodu, zobrazené na obrázkoch. Od ideálneho tvaru dráhy sa líšia, nakoľko majú približne tvar elipsy. K tejto problematike je venovaná samostatná časť tejto práce. Pre riešenie bol zvolený model šestčlenného mechanizmu, u ktorého boli zvolené dĺžky jeho členov, korešpondujúce so skutočnými rozmermi podobných - využívaných mechanizmov, ako i poloha uchytenia bodov na ráme.

4.0 Kinematická analýza riešenia mechanizmov

Riešenie úloh z kinematickej analýzy sa opiera o kinematický model sústavy telies [64]. Prvky ľubovoľnej sústavy premenných, ktorá jednoznačne určuje polohu a orientáciu všetkých telies mechanizmu, sa nazývajú zovšeobecnené súradnice. Zovšeobecnené súradnice q môžu byť nezávislé alebo závislé a menia sa v závislosti od času. Môžu sa zapísat' do stĺpcového vektora

$$q = (q_1, q_2, q_3, \dots, q_n)^T, \quad (4.1)$$

kde n je ich celkový počet.

Základnou rovnicou matematického modelu mechanizmu, ktorá popisuje jeho kinematické vlastnosti, je vektorová rovnica jeho polohy

$$\Phi(q, t) = 0 \quad (4.2)$$

Po jej rozpísaní na skalárne zložky sa dostane sústava nelineárnych rovníc, ktoré je možné rozdeliť na dve skupiny :

1. Rovnice, ktoré popisujú sústavu telies bez ohľadu na vstupné parametre hnacieho člena, sú základom pre riešenie závislých zovšeobecnených súradníc. Volajú sa kinematické rovnice polohy sústavy telies.

$$\Phi_K(q,t) = 0 \quad (4.3)$$

2. Rovnice, ktoré popisujú hodnoty vstupných zovšeobecnených nezávislých súradníc sú definované kinematickými rovnicami vstupných premenných. Ich počet sa rovná počtu stupňov voľnosti mechanizmu n_D

$$\Phi_D(q,t) = 0 \quad (4.4)$$

Rovnica (4.2) sa prepíše s využitím (4.3) a (4.4) do tvaru

$$\Phi(q,t) = \begin{bmatrix} \Phi_K(q,t) \\ \Phi_D(q,t) \end{bmatrix} = 0 \quad (4.5)$$

Počet závislých premenných je rovný počtu rovníc (4.3) a označí sa n_K . Celkový počet premenných je $n = n_D + n_K$.

V prípade, že väzby medzi telesami sú holonomné (nemenia sa s časom), rovnica (4.5) má tvar

$$\Phi(q,t) = \begin{bmatrix} \Phi_K(q) \\ \Phi_D(q,t) \end{bmatrix} = 0 \quad (4.6)$$

Spôsoby jej zostavenia sú rôzne. Pri rovinných mechanizmoch sa najčastejšie používa vektorová metóda. Výpočtové programy pre sústavy telies využívajú na vytvorenie modelu mechanizmu prvky, pomocou ktorých sa zloží výsledný mechanizmus a pohybové rovnice mechanizmu vznikajú zložením rovníc jednotlivých členov mechanizmu. Príkladom prvkov sú: spojenie bodu telesa s rámom, spojenie bodov dvoch telies, rotačné spojenie dvoch telies, posuvné spojenie dvoch telies, spojenie telies prostredníctvom tiahla s klbovým zakončením, s dvomi posuvnými zakončeniami a kombináciou klíbu s posuvným zakončením, kolesá-odvalovanie, vačky, absolútne pohony a relatívne pohony.

Pri riešení rovnice (4.6) sa využije (doporučuje sa) Jakobián matice $\Phi(q,t)$:

$$\Phi_q = \begin{bmatrix} \frac{\partial \varphi_1}{\partial q_1} & \frac{\partial \varphi_1}{\partial q_2} & \dots & \frac{\partial \varphi_1}{\partial q_n} \\ \frac{\partial \varphi_2}{\partial q_1} & \frac{\partial \varphi_2}{\partial q_2} & \dots & \frac{\partial \varphi_2}{\partial q_n} \\ \vdots & \vdots & & \vdots \\ \frac{\partial \varphi_n}{\partial q_1} & \frac{\partial \varphi_n}{\partial q_2} & \dots & \frac{\partial \varphi_n}{\partial q_n} \end{bmatrix} \quad (4.7)$$

Jakobián sa získá nepriamo aj derivovaním rovnice polohy (4.6) podľa času

$$\frac{d}{dt} \Phi(q,t) = \Phi_q(q,t) \dot{q} + \Phi_t \quad (4.8)$$

Rovnica rýchlosťi sa získá jednoduchou úpravou

$$\Phi_q(q,t) \dot{q} = -\Phi_t \quad (4.9)$$

Riešením rovnice rýchlosťi sa získajú rýchlosťi prirozených súradníc. Výsledky možno použiť na vyjadrenie rýchlosťi ľubovoľného bodu mechanizmu.

Rovnica zrýchlení sa získá ďalším derivovaním rovnice (4.9)

$$\Phi_q(q,t) \ddot{q} = -(\Phi_q \dot{q})_q \dot{q} - 2\Phi_{qt} \dot{q} - \Phi_{tt} \quad (4.10)$$

5.0 Grafické a analytické riešenie mechanizmov

Úlohou kinematického riešenia mechanizmov je vyšetriť polohu, rýchlosť a zrýchlenie jednotlivých hnaných členov a významných bodov na týchto členoch (napr. ťažisko, klíby, ...) v závislosti na známom alebo predpísanom pohybe hnacieho člena.

Riešením pohybu je zistenie závislosti *polohy, rýchlosťi, zrýchlenia, uhlovej rýchlosťi, uhlového zrýchlenia* vytypovaných členov a bodov na pohybe hnacieho člena, t.j. na jeho polohe, resp. v závislosti na čase.

Grafické riešenie rovinných mechanizmov má svoj význam pre približné riešenie jednotlivých kinematických parametrov mechanizmu. Takéto riešenie je však pre potreby tejto habilitačnej práce nepostačujúce. Preto sa grafické riešenie v ďalších častiach práce neuvádzá.

Pri analytickom riešení sa o týchto veličinách uvažuje ako o skalárnych hodnotách. Riešenie je dostatočne presné a dáva k dispozícii i priebežné numerické hodnoty, na základe ktorých sa môže riešenie korigovať alebo usmerňovať.

Pri analytickom riešení mechanizmov osobitné miesto zaujímajú najmä:

- Trigonometrická metóda
- Metóda komplexných čísel
- Vektorová metóda
- Metóda prevodových funkcií
- Maticová metóda

Použitie niekorej z uvedených metód je vhodné vždy pre určitý typ mechanizmu.

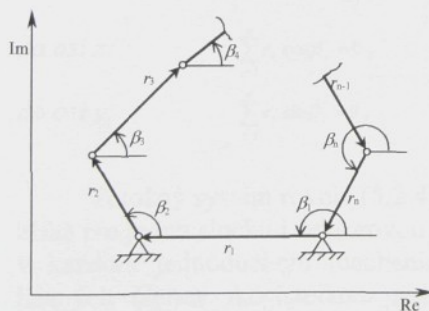
5.1 Trigonometrická metóda

Použitím tejto metódy možno získať výsledné riešenie na základe geometrických závislostí obrazcov, z ktorých sa mechanizmus skladá a trigonometrických funkcií [28][34]. Obrazec sa rozdelí na vhodné trojuholníky, v ktorých sa nachádzajú hľadané dĺžky a uhly ako veličiny člena mechanizmu. Vždy sa vychádza zo všeobecnej polohy mechanizmu.

Cieľom je nájsť toľko vzťahov medzi polohovými veličinami hnaných a hnacích členov, kolko je neznámych.

Metóda je intuitívna, používa sa hlavne pri individuálnom riešení jednoduchších rovinných mechanizmov.

5.2 Metóda komplexných čísel



5.2.1 Priradenie vektorov a smerových uhlov členom mechanizmu

Podobne ako vo vektorovej metóde sa i v metóde komplexných čísel priradí mechanizmu jeden alebo viacero mnohouholníkov podľa toho, či sa bude riešiť jednoduchý alebo zložitý mechanizmus[34]. Mechanizmus má členy: 1, 2, ..., j, ..., n. Poloha každého člena je určená veľkosťou vektorov $r_1, r_2, \dots, r_j, \dots, r_n$ a smerovým uhlom

vektora $\beta_1, \beta_2, \dots, \beta_j, \dots, \beta_n$, ktorý zviera člen od reálnej osi (Obr.5.2.1). Podmienku uzavretosti n -uholníka v komplexnej rovine vyjadruje rovnica:

$$\sum_{j=1}^n r_j e^{i\beta_j} = 0 . \quad (5.2.1)$$

Derivovaním rovnice (5.2.1) podľa času sa dostane rovnica *rýchlosťi* v komplexnej rovine

$$\sum_{j=1}^n \left(\dot{r}_j e^{i\beta_j} + i r_j \dot{\beta}_j e^{i\beta_j} \right) = 0 \quad (5.2.2)$$

a ďalším derivovaním rovnice (5.2.2) podľa času sa získa rovnica *zrýchlenia* v komplexnej rovine

$$\sum_{j=1}^n \left(\ddot{r}_j e^{i\beta_j} + 2i \dot{r}_j \beta_j e^{i\beta_j} - r_j \dot{\beta}_j^2 e^{i\beta_j} \right) = 0 . \quad (5.2.3)$$

Použitím Moivreovej vety

$$e^{i\beta_j} = \cos\beta_j + i \sin\beta_j \quad (5.2.4)$$

možno rovnicu uzavretosti (5.2.1) napísat' v tvare

$$\sum_{j=1}^n r_j \cos\beta_j + i \sum_{j=1}^n r_j \sin\beta_j = 0 . \quad (5.2.5)$$

Rovina mechanizmu sa považuje za komplexnú rovinu a jednotlivé strany mnohouholníkov za komplexné čísla. Ak sa porovnajú reálne a imaginárne časti, získa sa systém skalárnych rovnic, ktoré predstavujú rovnice polohy, reálna časť predstavuje priemet do x-ovej osi a imaginárna časť predstavuje priemet do y-ovej osi:

$$\text{do osi } x: \quad \sum_{j=1}^n r_j \cos\beta_j = 0 , \quad (5.2.6)$$

$$\text{do osi } y: \quad \sum_{j=1}^n r_j \sin\beta_j = 0 . \quad (5.2.7)$$

Totožný systém rovnic (5.2.4) a (5.2.5), ktoré riešia úlohu polohy, sa získa pre jednu slučku i vektorovou metódu. Obsahujú dve neznáme, keďže v každom jednoduchom mechanizme možno počet závislých súradníč hnaných členov mechanizmu redukovať na dve. Derivovaním rovnic polohy podľa času sa získajú príslušné rýchlosťi:

$$\text{do osi } x: \quad \sum_{j=1}^n \dot{r}_j \cos\beta_j - \sum_{j=1}^n r_j \dot{\beta}_j \sin\beta_j = 0 \quad (5.2.8)$$

$$\text{do osi } y \quad \sum_{j=1}^n \dot{r}_j \sin \beta_j + \sum_{j=1}^n r_j \dot{\beta}_j \cos \beta_j = 0 \quad (5.2.9)$$

Ďalším derivovaním rovníc rýchlosťí sa získajú rovnice *zrýchlení*:

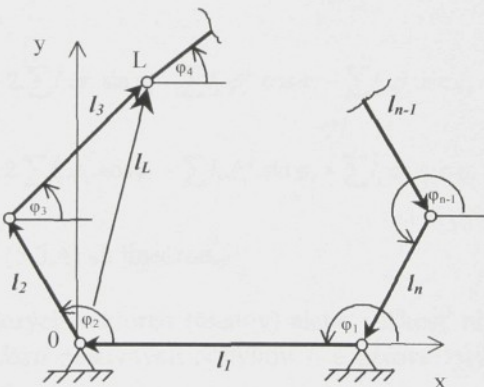
$$\text{do osi } x \quad \sum_{j=1}^n \ddot{r}_j \cos \beta_j - 2 \sum_{j=1}^n \dot{r}_j \dot{\beta}_j \sin \beta_j - \sum_{j=1}^n r_j \dot{\beta}_j^2 \cos \beta_j - \sum_{j=1}^n r_j \ddot{\beta}_j \sin \beta_j = 0 \quad (5.2.10)$$

$$\text{do osi } y \quad \sum_{j=1}^n \ddot{r}_j \sin \beta_j + 2 \sum_{j=1}^n \dot{r}_j \dot{\beta}_j \cos \beta_j - \sum_{j=1}^n r_j \dot{\beta}_j^2 \sin \beta_j + \sum_{j=1}^n r_j \ddot{\beta}_j \cos \beta_j = 0 \quad (5.2.11)$$

Použitie metódy komplexných čísel je možné aplikovať len na rovinu.

5.3 Vektorová metóda

Cez kinematickú schému jednoduchého rovinného mechanizmu je možné preložiť istý mnohouholník, resp. každému rovinnému mechanizmu je možné priradiť určitý mnohouholník [34] (Obr. 5.3.1). Jeho strany (členy mechanizmu) možno považovať za vektory \mathbf{l}_i , samotný obrazec za vektorový mnohouholník, pre ktorý platí podmienka uzavretosti (5.3.1)



Obr.5.3.1 Priradenie vektorov a smerových uhlov členom mechanizmu

$$\sum \mathbf{l}_i = \mathbf{0} \quad \text{alebo} \quad l_1 + l_2 + l_3 + l_4 + \dots + l_{n-1} + l_n = \mathbf{0} \quad (5.3.1)$$

Počet mnohouholníkov je daný vzťahom

$$k = d - m + 1$$

kde: d - je počet kinematických dvojíc
 m - je počet členov mechanizmu

Vektorovú rovnice (5.3.1) možno rozpísat' do dvoch skalárnych rovníc, do osi x a osi y :

$$\text{do osi } x: \quad \sum l_i \cdot \cos \varphi_i = 0$$

$$\text{do osi } y: \quad \sum l_i \cdot \sin \varphi_i = 0 \quad (5.3.2)$$

Rovnice (5.3.2) riešia *úlohu polohy*. Obsahujú vždy len 2 neznáme, pretože v každom jednoduchom mechanizme je možné počet závislých súradníc hnaných členov mechanizmu redukovať na 2 neznáme.

Deriváciou rovníc (5.3.2) podľa času sa určia príslušné

rovnice rýchlosťí

$$\text{do osi } x: \quad \sum_i \ddot{l}_i \cdot \cos \varphi_i - \sqrt{l_i \cdot \dot{\varphi}_i \cdot \sin \varphi_i} = 0$$

$$\text{do osi } y: \quad \sum_i \ddot{l}_i \cdot \sin \varphi_i + \sqrt{l_i \cdot \dot{\varphi}_i \cdot \cos \varphi_i} = 0 \quad (5.3.3)$$

a zrýchlení:

do osi x :

$$\sum_i \ddot{l}_i \cdot \cos \varphi_i - 2 \cdot \sum_i \ddot{l}_i \cdot \dot{\varphi}_i \cdot \sin \varphi_i - \sum_i l_i \cdot \dot{\varphi}_i^2 \cdot \cos \varphi_i - \sum_i l_i \cdot \ddot{\varphi}_i \cdot \sin \varphi_i = 0$$

do osi y :

$$\sum_i \ddot{l}_i \cdot \sin \varphi_i + 2 \cdot \sum_i \ddot{l}_i \cdot \dot{\varphi}_i \cdot \cos \varphi_i - \sum_i l_i \cdot \dot{\varphi}_i^2 \cdot \sin \varphi_i + \sum_i l_i \cdot \ddot{\varphi}_i \cdot \cos \varphi_i = 0 \quad (5.3.4)$$

Rovnice (5.3.3) a (5.3.4) sú lineárne.

Ak je dĺžka niektorých vektorov (členov) alebo veľkosť uhlov konštantná, sú príslušné *rýchlosťi* posuvných pohybov $\dot{\varphi}_i$ a *uhlové rýchlosťi* rotačných pohybov $\ddot{\varphi}_i$ nulové.

Pre bod záujmu L sa vytvorí vektorový obrazec, charakterizovaný vektorovou rovnicou

$$l_2 + l_3 = l_L \quad (5.3.5)$$

priemety do osí x a y sú:

$$x_L = l_2 \cdot \cos \varphi_2 + l_3 \cdot \cos \varphi_3 \quad y_L = l_2 \cdot \sin \varphi_2 + l_3 \cdot \sin \varphi_3 \quad (5.3.6)$$

Deriváciou rovníc (5.3.6) sa podľa času sa dostanú rovnice pre výpočet zložiek *rýchlosťi* v_{xL} , v_{yL} a zložiek *zrýchlenia* a_{xL} a a_{yL} . *Rýchlosť a zrýchlenie* bodu záujmu L sa vyriešia z jednotlivých zložiek Pythagorovou vetou.

Rovnice (5.3.1) a (5.3.2) sú obecne simultánne a transcendentné. Pre ich riešenie je vhodné využiť výpočtovú techniku s príslušným programovým vybavením.

Pre štvorčlenný mechanizmus sa stanoví 1 vektorová slučka mechanizmu a 1 vektorová slučka pre bod záujmu.

Pre šesťčlenný mechanizmus sa stanovia 2 vektorové slučky mechanizmu a 1 vektorová slučka pre bod záujmu.

Pre osemčlenný mechanizmus sa stanovia 3 vektorové slučky mechanizmu a 1 vektorová slučka pre bod záujmu.

Vyšetrenie polohy bodu niektorého člena mechanizmu sa vykoná až po vyšetrení úlohy polohy.

5.4 Metóda prevodových funkcií

Po geometrickej stránke je možné mechanizmus s 1stupňom voľnosti charakterizovať bezrozmernými *prevodovými funkciami* [34]:

- zdvihová závislosť λ
- prevod μ
- derivácia prevodu ν

Všeobecne: ak sú uhlové súradnice ψ a φ viazané vzťahom

$$\psi = \psi(\varphi) \quad (5.4.1)$$

potom zdvihová závislosť, prevod a derivácia prevodu majú vyjadrenie

$$\lambda = \psi \quad \mu = \frac{d\psi}{d\varphi} \quad \nu = \frac{d^2\psi}{d\varphi^2} \quad (5.4.2)$$

Prevodové funkcie sú geometrické veličiny, nezávislé na pohybe hnacieho člena. Kinematické veličiny - *uhlová rýchlosť* hnaného člena $\dot{\psi} = \frac{d\psi}{dt}$ a *uhlové zrýchlenie* $\ddot{\psi} = \frac{d^2\psi}{dt^2}$ sú s prevodovými funkciami zviazané vzťahmi

$$\dot{\psi} = \mu \cdot \dot{\phi} \quad (5.4.3)$$

$$\ddot{\psi} = \nu \cdot \dot{\phi}^2 + \mu \cdot \ddot{\phi} \quad (5.4.4)$$

$$\mu = \frac{\dot{\psi}}{\dot{\phi}} \quad (5.4.5)$$

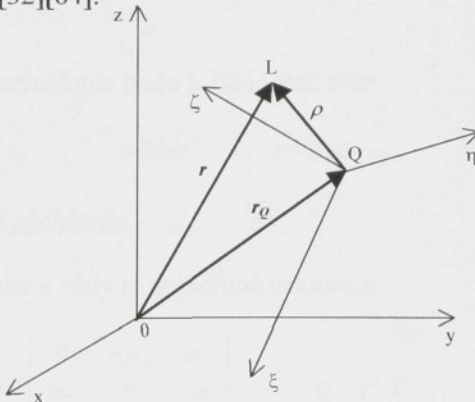
Pri konštantnej uhlovej rýchlosťi $\dot{\phi} = \text{konst.}$, potom

$$\nu = \frac{\dot{\psi}}{\dot{\phi}^2} \quad (5.4.6)$$

Ak má niektorá zo súradníč hnacieho alebo hnaného člena dĺžkový rozmer, upravujú sa prevodové funkcie na bezrozmerný tvar tak, že pravé strany rovníc (5.4.2) sa vydelia alebo vynásobia dĺžkovou veličinou, napr. dĺžkou kľuky a pod..

5.5 Maticová metóda

Podstatou maticou metódy je maticová formulácia kinematiky súčasných pohybov. Táto metóda je vhodná pre riešenie všetkých typov mechanizmov – roviných, priestorových i sférických. Používajú sa u nej s výhodom prostriedky numerickej matematiky pri riešení maticových rovníc [8][20][32][64].



Obr. 5.5.1 Pohyb všeobecného bodu L v priestore

Maticová rovnica pohybu všeobecného bodu L (Obr.5.5.1) má tvar

$$\mathbf{r} = \mathbf{T} \cdot \mathbf{p} + \mathbf{r}_Q \quad (5.5.1)$$

kde \mathbf{T} je transformačná matica pohybu (ortogonálna).

Ďalej platí, že

$x, y, z \dots \dots \dots$ sú súradnice bodu L v základnom súradnicovom systéme
 $\alpha, \beta, \gamma \dots \dots \dots$ sú smerové uhly osí

Rovnicu (5.5.1) je možné zapísť v tvare

$$\begin{bmatrix} x \\ y \\ z \end{bmatrix} = \begin{bmatrix} \cos \alpha_\xi & \cos \alpha_\eta & \cos \alpha_\zeta \\ \cos \beta_\eta & \cos \beta_\eta & \cos \beta_\zeta \\ \cos \gamma_\zeta & \cos \gamma_\eta & \cos \gamma_\zeta \end{bmatrix} \begin{bmatrix} \xi \\ \eta \\ \zeta \end{bmatrix} + \begin{bmatrix} x_0 \\ y_0 \\ z_0 \end{bmatrix} \quad (5.5.2)$$

Pri ďalšom riešení rýchlosť a zrýchlenia sa vychádza zo skutočnosti, že len ρ (Obr.5.5.1) je funkciou času, potom

$$\mathbf{r}_{(t)} = \mathbf{T}_{(t)} \cdot \boldsymbol{\rho} + \mathbf{r}_{Q(t)} \quad (5.5.3)$$

- rovnica pre rýchlosť bodu L bude mať tvar

$$\dot{\mathbf{r}} = \dot{\mathbf{T}} \cdot \boldsymbol{\rho} + \dot{\mathbf{r}}_Q \quad \text{alebo} \quad \mathbf{v} = \dot{\mathbf{T}} \cdot \boldsymbol{\rho} + \mathbf{v}_Q \quad (5.5.4)$$

- rovnica pre zrýchlenie bodu L bude mať tvar

$$\ddot{\mathbf{v}} = \ddot{\mathbf{T}} \cdot \boldsymbol{\rho} + \ddot{\mathbf{v}}_Q \quad \text{alebo} \quad \mathbf{a} = \ddot{\mathbf{T}} \cdot \boldsymbol{\rho} + \mathbf{a}_Q \quad (5.5.5)$$

Matica uhlovej rýchlosťi:

je antisymetrická a vždy je vyjadrená vektorom

$$\boldsymbol{Q} = \begin{bmatrix} 0 & -\omega_\zeta & \omega_\eta \\ \omega_z & 0 & -\omega_\xi \\ -\omega_\eta & \omega_\xi & 0 \end{bmatrix} \quad \boldsymbol{Q} = \mathbf{T}^T \dot{\mathbf{T}} \quad (5.5.6)$$

Vektor uhlovej rýchlosťi potom bude

$$\boldsymbol{\omega} = [\omega_\xi, \omega_\eta, \omega_\zeta]^T \quad (5.5.7)$$

Rovnicu pre rýchlosť (5.5.4) je potom možné upraviť na tvar

$$\mathbf{v} = \dot{\mathbf{T}} \cdot \boldsymbol{\rho} + \mathbf{v}_Q = \mathbf{T} \cdot \mathbf{Q} \cdot \boldsymbol{\rho} + \mathbf{v}_Q \quad (5.5.8)$$

Matica uhlového zrýchlenia:

je tiež antisymetrická a má tvar

$$\mathbf{A} = \begin{bmatrix} 0 & -\alpha_\zeta & \alpha_\eta \\ \alpha_z & 0 & -\alpha_\xi \\ -\alpha_\eta & \alpha_\xi & 0 \end{bmatrix} \quad \mathbf{A} = \dot{\mathbf{Q}} \quad (5.5.9)$$

Vektor uhlového zrýchlenia potom možno zapísat' v tvare

$$\omega = [\omega_\xi, \omega_\eta, \omega_\zeta]^\top \quad (5.5.10)$$

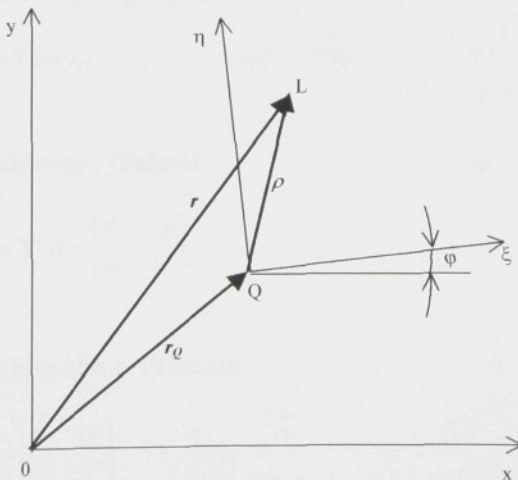
Deriváciou vzťahu pre rýchlosť

$$\dot{\mathbf{v}} = (\mathbf{T} \cdot \dot{\mathbf{Q}} + \dot{\mathbf{T}} \cdot \mathbf{Q}) \boldsymbol{\rho} + \mathbf{v}_Q \quad (5.5.11)$$

sa získa výsledný vzťah pre zrýchlenie

$$\mathbf{a} = \mathbf{T} \cdot (\mathbf{A} + \mathbf{Q}^2) \boldsymbol{\rho} + \mathbf{a}_Q \quad (5.5.12)$$

Matica rovinného všeobecného pohybu



Obr.5.5.2 Pohyb všeobecného bodu L v rovine

Pri riešení rovinnej úlohy sa matica \mathbf{T} zmení na :

$$\mathbf{T} = \begin{bmatrix} \cos \varphi & -\sin \varphi & 0 \\ \sin \varphi & \cos \varphi & 0 \\ 0 & 0 & 1 \end{bmatrix} \quad (5.5.13)$$

Polohový vektor potom bude mať tvar

$$\mathbf{r}_Q = \begin{bmatrix} x_Q \\ y_Q \\ 0 \end{bmatrix} \quad (5.5.14)$$

Pri vylúčení tretieho riadku a tretieho stĺpca vo vzťahu (5.5.13) a tretieho riadku vo vzťahu (5.5.14) bez straty informácie možno maticu \mathbf{T} a vektor \mathbf{r}_Q zapísat v tvare

$$\mathbf{T} = \begin{bmatrix} \cos \varphi & -\sin \varphi \\ \sin \varphi & \cos \varphi \end{bmatrix} \quad \mathbf{r}_Q = \begin{bmatrix} x_Q \\ y_Q \end{bmatrix} \quad (5.5.15)$$

$$\mathbf{r} = \begin{bmatrix} x \\ y \end{bmatrix} \quad \boldsymbol{\rho} = \begin{bmatrix} \xi \\ \eta \end{bmatrix} \quad (5.5.16)$$

Maticová rovnica pohybu všeobecného bodu :

$$\mathbf{r} = \mathbf{T} \cdot \boldsymbol{\rho} + \mathbf{r}_Q \quad (5.5.17)$$

Matica uhlovej rýchlosťi

$$\mathbf{Q} = \mathbf{T}^T \cdot \dot{\mathbf{T}} = \begin{bmatrix} 0 & -\dot{\varphi} \\ \dot{\varphi} & 0 \end{bmatrix} \quad (5.5.18)$$

Matica uhlového zrýchlenia

$$\mathbf{A} = \begin{bmatrix} 0 & -\ddot{\varphi} \\ \ddot{\varphi} & 0 \end{bmatrix} \quad (5.5.19)$$

6.0 Metódy dynamického riešenia mechanizmov

Pri riešení uvažovaného mechanizmu sa predpokladá i jeho dynamické riešenie, nakoľko hmotnosť jednotlivých jeho členov má vplyv na celkový pohyb, prácu a spoľahlivosť mechanizmu pri relatívne vysokých otáčkach kľúky. Keďže sa jedná o dynamiku sústav telies, je možné pri riešení využiť princíp náhrady sústav telies sústavou hmotných bodov, tvoriacich jednotlivé telesá. Toto umožňuje použiť známe prostriedky dynamiky pre riešenie pohybových rovníc.

Pri výpočtoch sa pre uvažovaný typ mechanizmu v podstate vyskytujú len dva typy úloh, ktoré popisujú chovanie riešeného mechanizmu. Jedná sa o kinetostatické riešenie (dynamická úloha) a riešenie vlastnej dynamiky mechanizmu. Medzi týmito úlohami je nasledovný zásadný rozdiel :

Kinetostatická metóda : u tejto metódy je predom daná (alebo vypočítaná) kinematika pohybu mechanizmu a sú známe zaťažujúce sily. Úlohou je potom vypočítať všetky hnacie momenty, reakcie a sily vo všetkých väzbách. Teda určiť také hnacie sily alebo momenty, aby sa mechanizmus pohyboval predpísaným pohybom. [34]

Úloha vlastnej dynamiky : predom sú dané hnacie momenty a akčné sily . Úlohou je vypočítať následne kinematiku pohybu mechanizmu, sily vo väzbách a reakcie. Riešenie takejto úlohy je obtiažne , nakoľko riešenie vedie k sústavám transcendentných a nelineárnych diferenciálnych rovníc. Čiže pre známe pôsobiace sily a momenty sa hľadá pohyb, ku ktorému dojde pôsobením týchto súladej sily. [34]

Zostavovanie pohybových rovníc sa vykonáva na základe tzv. **uvolňovania**. To znamená, že sa vykoná osamostatnenie jednej časti alebo jednej sústavy mechanizmu tak, aby sa zachovali všetky silové pomery (rieši sa to zavedenými reakciami jednotlivých väzieb). V takto zostavených pohybových rovniciach budú zahrnuté všetky sily, ktoré z hľadiska uvoľňovaného útvaru sú vonkajšími silami. V týchto rovniciach sa tiež musia objaviť kinematické a geometrické veličiny. Pre výpočet je potrebné k pohybovým rovniciam pripojiť príslušný počet väzbových rovníc. Týmto sa dosiahne v pohybových rovniciach s „ n “ stupňami voľnosti len „ n „ nezávislých súradníčkov. Ďalej sa vylúčia všetky reakcie väzieb a zostanú len tzv. vlastné pohybové rovnice.

Pri riešení uvažovaného mechanizmu sa využije metóda uvoľňovania na základe d'Alembertovho princípu a vzhľadom na využitie programu MATLAB vektorová metóda.

6.1 Metóda uvoľňovania

Nakoľko táto metóda je využitá pri riešení zvoleného mechanizmu, je vhodné túto metódu vo všeobecnosti charakterizovať.

Jednotlivé členy uvažovaného mechanizmu sa uvoľnia a účinok odpojených telies a rámu sa nahradí silami a momentmi. Následne sa zostavia pohybové rovnice na základe d'Alembertovho princípu. Potom pre všetky členy rovinného mechanizmu platia nasledovné podmienky rovnováhy:

$$\sum_i F_x = 0 \quad \sum_i F_y = 0 \quad \sum_i M_i = 0 \quad (6.1.1)$$

Pri uvoľňovaní musí byť dodržaná zásada, že pre každý člen mechanizmu s rotačnými členmi sú v rovnováhe zotrvačné sily a zotrvačný moment s väzbovými silami a ich momentami k zvolenému bodu. Potom sa zotrvačné sily a moment vypočítajú zo vzťahov

$$D_u = m_i \cdot r_{Ti} \cdot \alpha_i \quad D_{ni} = m_i \cdot r_{Ti} \cdot \omega_i^2 \quad M_{Di} = -J_i \cdot \alpha_i \quad (6.1.2)$$

Ďalšou zásadou je, že pre všetky členy, ktoré vykonávajú všeobecný rovinný pohyb, sú v rovnováhe sily a momenty, vzťahujúce sa k tiažisku člena mechanizmu. Vychádza sa pritom zo základných rovníc rovnováhy (6.1.1). Každý člen mechanizmu pôsobí samozrejme na všetky ostatné členy, s ktorými je spojený kinematickými dvojicami. Tieto sily a momenty sú rovnako veľké, ale opačného znamienka. Ďalším krokom pri uvoľňovaní je zavedenie súradnicových sústav. Zavedú sa dve súradnice - všeobecná (nezávislá) a pomocná (závislá):

Všeobecné súradnice: s_j kde $j = 1, 2, \dots, m_s - 1, m_s, \dots, m_s + n$
 m_s - počet zvolených súradníc

Pomocné súradnice: slúžia k popisu polohy významných bodov mechanizmu. Pre každý riešený člen sa musí určiť ich počet.

$r = m_s - n$ kde : n - počet stupňov voľnosti (6.1.3)
 r - počet závislých súradníc

Riešenie kinetostatickej úlohy :

Všetky neznáme sily a momenty z väzieb sa zostavia do vektoru riešených veličín. Neznámymi sú tu zložky reakcií F_{ix}, F_{iy} (u rotačných dvojíc) a normálová zložka reakcie F_{jN} a moment M_{jz} u posuvných dvojíc.

$$\mathbf{F}_s = \{ \dots, F_{ix}, F_{iy}, \dots, F_{jN}, M_{jz}, \dots \} \quad (6.1.4)$$

Počet členov (rozmernosť) tohto vektoru

$$n_{FS} = n + 2(d_R + d_P) \quad (6.1.5)$$

- n - počet stupňov voľnosti
- d_P - počet posuvných kinematických dvojíc
- d_R - počet rotačných kinematických dvojíc

Počet vzniknutých pohybových rovníc je:

$$n_{AS} = 3(n_R + n_0 + n_P) \quad (6.1.6)$$

- n_0 - počet všeobecných členov
- n_P - počet posuvných členov
- n_R - počet rotačných členov

Celú sústavu týchto lineárnych pohybových rovníc je možné prepísat' do maticového tvaru

$$\mathbf{A}_S \cdot \mathbf{F}_s = \mathbf{Q}_s \quad (6.1.7)$$

Vektor \mathbf{Q}_s je vektor budiacich síl o rozmere n_{AS} a matica \mathbf{A}_S je maticou, popisujúcou systém (matica systému) o rozmeroch $n_{AS} \times n_{FS}$. I keď riešenie tejto sústavy rovníc je možné i pre obdĺžnikovú maticu systému, je výhodné (často platí), že je táto matica štvorcová, t.z. že $n_{AS} = n_{AF}$.

Z pravidiel pre počítanie s maticami je riešenie tejto sústavy

$$\mathbf{F}_s = \mathbf{A}_S^{-1} \cdot \mathbf{Q}_s \quad (6.1.8)$$

Ďalej nasleduje klasické riešenie úlohy pre sústavu lineárnych rovníc. Pri zadaných kinematických podmienkach sú výsledkom hľadané momenty, sily a reakcie v kinematických dvojiciach, obsiahnuté vo vektore \mathbf{F}_s .

Riešenie úlohy vlastnej dynamiky :

Tento typ úlohy je náročnejší ako kinematické riešenie. Začiatočný postup je zhodný s predchádzajúcim (klasické uvoľnenie a doplnenie rovnicami väzieb). Platia teda rovnice (6.1.1),(6.1.2). Zásadný rozdiel je v tom, že pohyb systému nie je predpísaný, ale je riešený. Hľadaný vektor je podstatne väčší pre rovnaký mechanický systém ako pre kinematickú dvojicu. Tvorí ho postupnosť druhých derivácií zovšeobecnených súradníc (zrýchlení) a zložky väzbových reakcií.

$$\mathbf{F}_D = [\mathbf{F}_{DS}, \mathbf{F}_{DF}] [\ddot{q}_1, \ddot{q}_2, \dots, \ddot{q}_m, F_{ix}, F_{iy}, \dots, F_{jN}, M_{jZ}, \dots]^T \quad (6.1.9)$$

Počet členov (rozmer) tohto vektoru :

$$n_{FD} = (n_R + 3 \cdot n_0) + 2 \cdot (d_R + d_P) \quad (6.1.10)$$

U tejto úlohy je situácia zložitejšia. Pre rotačné členy sa volí jedna zovšeobecnená súradnica q_j (uhol natočenia členu oproti rámu). U telies so všeobecným rovinným pohybom sa volia tri súradnice – dve dĺžkové pre polohu ľažiska a uhol natočenia.

Počet pohybových rovníc (rovnic systému) je daný :

$$n_{AD} = (n_R + 3 \cdot n_0) + 2 \cdot (k + d_0) \quad (6.1.11)$$

Tieto pohybové rovnice sú doplnené o rovnice druhých derivácií kinematických väzieb v smerech osí systému. Tieto väzby vyjadrujú podmienky uzavretosti nezávislých výtvarných mnohouholníkov (k) a majú nasledujúci tvar :

$$f_v(q_1, q_2, q_3, \dots, q_m) = 0 \quad v = 1, 2, 3, \dots, k \quad (6.1.12)$$

Ich druhé derivácie sú :

$$\sum_{j=1}^m \frac{\partial f_v}{\partial q_j} \cdot \ddot{q}_j + \sum_{i=1}^m \sum_{j=1}^m \frac{\partial f_v}{\partial s_i \cdot \partial s_j} \cdot \dot{q}_j \cdot \dot{q}_i = 0 \quad (6.1.13)$$

Celá sústava týchto pohybových dvojíc sa opäť prepíše do maticového tvaru

$$\mathbf{A}_D \cdot \mathbf{F}_D = \mathbf{Q}_D \quad (6.1.14)$$

Vektor \mathbf{Q}_D je vektor budiacich síl s rozmerom n_{AD} a matica \mathbf{A}_D je matica systému o rozmere $n_{AD} \times n_{FD}$. Táto sústava je lineárna v zrýchleniach zovšeobecnených súradniciach. Riešenie väčšinou viedie na sústavu lineárnych rovníc s obdlžníkovou maticou sústavy. Jej riešenie je potom dané vzťahom:

$$\mathbf{F}_D = \mathbf{A}_D^{-1} \cdot \mathbf{Q}_D \quad (6.1.15)$$

Za vektor neznámych je možné dosadiť :

$$[\mathbf{F}_{DS}, \mathbf{F}_{DF}]^T = \mathbf{A}_D^{-1} \cdot \mathbf{Q}_D \quad (6.1.16)$$

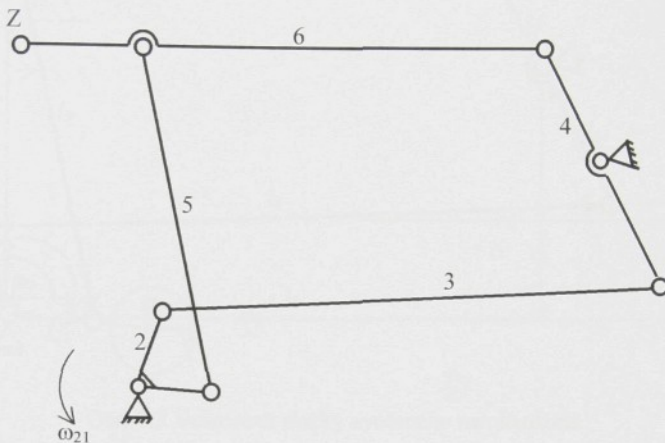
kde vektor \mathbf{F}_{DS} obsahuje zrýchlenie zovšeobecnených súradníc a vektor \mathbf{F}_{DF} hľadanej zložky reakcií. Na rozdiel od kinetostatickej úlohy, kde sa numerický výpočet dá previesť priamym výpočtom, je riešenie dynamickej úlohy podstatne obtiažnejšie. Pri každom výpočtovom cykle sa musí previesť numerická integrácia výslednej maticovej rovnice (6.1.16).

7.0 Analytické riešenie mechanizmu vektorovou metódou

Vzhľadom na disponibilné vybavenie výpočtovou technikou programovým vybavením bola pri riešení z uvádzaných numerických metód využitá vektorová metóda a to v programe MATLAB. Vektorovou metódou sú riešené kinematické veličiny bodu záujmu Z ležiacom na podávacej časti mechanizmu. Pri riešení sa uvažovalo s konštantnými otáčkami spodného hriadeľa (uhlová rýchlosť ω_{21}) pre tri rôzne otáčky z dôvodu posúdenia dosiahnutých kinematických veličín ako východzích údajov pre ďalšiu orientáciu náplne práce. Fáza rozbehu a zastavenia nebola zatial' do riešenia zahrnutá z toho dôvodu, že pre potreby šitia sú dôležité najmä pracovné otáčky. Kinematické veličiny rozbehu a zastavenia mechanizmu budú náplňou inej práce. Následne je numericky riešená optimalizácia zvoleného mechanizmu a jeho dynamika.

Pohyb teoretického modelu šestčlenného klíbového mechanizmu (Obr. 7.1) bol riešený :

- pre 72 polôh kľuky (člen 2)
- pri troch rôznych otáčkach kľuky 2500 min^{-1} , 3500 min^{-1} , 4500 min^{-1} ,



Obr. 7.1: Mechanizmus spodného podávania so schématickým zobrazením jednotlivých členov a bodu záujmu Z

Zadané veličiny
konštantné (volené) dĺžky :

$l_2 = 13,0 \text{ mm}$, $l_{22} = 9,0 \text{ mm}$, $l_3 = 60,0 \text{ mm}$, $l_4 = 42,0 \text{ mm}$, $l_{44} = 21,0 \text{ mm}$, $l_5 = 57,0 \text{ mm}$, $l_6 = 48,0 \text{ mm}$,
 $(l_6 = l_6 + l_{66}) l_6 = 51,5 \text{ mm}$, $l_{66} = 16,5 \text{ mm}$, $(l_7 = 36,0 \text{ mm}, l_8 = 56,0 \text{ mm})$
(Poznámka: Člen 2 má dĺžku l_2 , člen 3 má dĺžku l_3 , ...)

konštantné (volené) uhly :

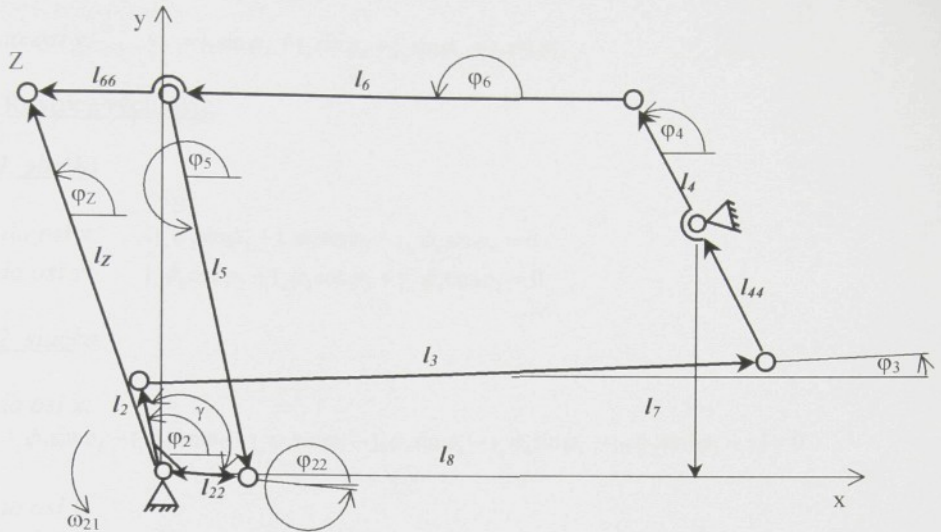
$$\varphi_7 = 270^\circ, \varphi_8 = 180^\circ, \gamma = 100^\circ, (\varphi_{22} = \gamma - \varphi_2)$$

Premenné veličiny :

nezávisle premenná φ_2

závisle premenné $\varphi_3, \varphi_4, \varphi_5, \varphi_6$

V zmysle podstaty vektorovej metódy boli zvolené jednotlivé členy ako orientované vektory $l_2, l_{22}, l_3, l_4, l_5, l_6$ a doplnkové vektory l_{44}, l_{66}, l_7, l_8



Obr. 7.2 Vektorové slučky zvoleného mechanizmu

Ked'že sa jedná o šest'členný mechanizmus, pre výpočet polohy bodu záujmu Z boli zvolené 2 vektorové slučky mechanizmu a 1 vektorová slučka bodu záujmu.

Rovnice polohy:

1. slučka vektorová rovnica: $l_2 + l_3 + l_4 + l_7 + l_8 = 0$

$$\text{do osi } x: l_2 \cos\varphi_2 + l_3 \cos\varphi_3 + l_4 \cos\varphi_4 + l_7 \cos\varphi_7 + l_8 \cos\varphi_8 = 0$$

$$\text{do osi } y: l_2 \sin\varphi_2 + l_3 \sin\varphi_3 + l_4 \sin\varphi_4 + l_7 \sin\varphi_7 + l_8 \sin\varphi_8 = 0$$

2. slučka : vektorová rovnica: $l_2 + l_3 + l_4 + l_6 + l_5 + l_{22} = 0$

$$\text{do osi } x: l_2 \cos\varphi_2 + l_3 \cos\varphi_3 + l_4 \cos\varphi_4 + l_6 \cos\varphi_6 + l_5 \cos\varphi_5 + l_{22} \cos(\varphi_2 + \gamma) = 0$$

do osi y:

$$l_2 \sin\varphi_2 + l_3 \sin\varphi_3 + l_4 \sin\varphi_4 + l_6 \sin\varphi_6 + l_5 \sin\varphi_5 + l_{22} \sin(\varphi_2 + \gamma) = 0$$

Slučka bodu záujmu

vektorová rovnica $l_Z = l_2 + l_3 + l_4 + l_6$

$$do osi x: \quad x_z = l_2 \cos\varphi_2 + l_3 \cos\varphi_3 + l_4 \cos\varphi_4 + l_6 \cos\varphi_6$$

$$do osi y: \quad y_z = l_2 \sin\varphi_2 + l_3 \sin\varphi_3 + l_4 \sin\varphi_4 + l_6 \sin\varphi_6$$

Rovnice rýchlosťí:

1. slučka

$$do osi x: \quad -l_2 \dot{\varphi}_2 \sin\varphi_2 - l_3 \dot{\varphi}_3 \sin\varphi_3 - l_4 \dot{\varphi}_4 \sin\varphi_4 = 0$$

$$do osi y: \quad l_2 \dot{\varphi}_2 \cos\varphi_2 + l_3 \dot{\varphi}_3 \cos\varphi_3 + l_4 \dot{\varphi}_4 \cos\varphi_4 = 0$$

2. slučka

$$do osi x:$$

$$-l_2 \dot{\varphi}_2 \sin\varphi_2 - l_3 \dot{\varphi}_3 \sin\varphi_3 - l_4 \dot{\varphi}_4 \sin\varphi_4 - l_5 \dot{\varphi}_5 \sin\varphi_5 - l_6 \dot{\varphi}_6 \sin\varphi_6 - l_{22} \dot{\varphi}_2 \sin(\varphi_2 + \gamma) = 0$$

$$do osi y:$$

$$l_2 \dot{\varphi}_2 \cos\varphi_2 + l_3 \dot{\varphi}_3 \cos\varphi_3 + l_4 \dot{\varphi}_4 \cos\varphi_4 + l_5 \dot{\varphi}_5 \cos\varphi_5 + l_6 \dot{\varphi}_6 \cos\varphi_6 + l_{22} \dot{\varphi}_2 \cos(\varphi_2 + \gamma) = 0$$

Slučka bodu záujmu

$$do osi x: \quad \dot{x}_z = -l_2 \dot{\varphi}_2 \sin\varphi_2 - l_3 \dot{\varphi}_3 \sin\varphi_3 - l_4 \dot{\varphi}_4 \sin\varphi_4 - l_6 \dot{\varphi}_6 \sin\varphi_6$$

$$do osi y: \quad \dot{y}_z = l_2 \dot{\varphi}_2 \cos\varphi_2 + l_3 \dot{\varphi}_3 \cos\varphi_3 + l_4 \dot{\varphi}_4 \cos\varphi_4 + l_6 \dot{\varphi}_6 \cos\varphi_6$$

Rovnice zrýchlení:

1. slučka

$$do osi x:$$

$$-l_2 \ddot{\varphi}_2 \sin\varphi_2 - l_2 \dot{\varphi}_2^2 \cos\varphi_2 - l_3 \ddot{\varphi}_3 \sin\varphi_3 - l_3 \dot{\varphi}_3^2 \cos\varphi_3 - l_4 \ddot{\varphi}_4 \sin\varphi_4 - l_{44} \dot{\varphi}_4^2 \cos\varphi_4 = 0$$

$$do osi y:$$

$$l_2 \ddot{\varphi}_2 \cos\varphi_2 - l_2 \dot{\varphi}_2^2 \sin\varphi_2 - l_3 \ddot{\varphi}_3 \cos\varphi_3 - l_3 \dot{\varphi}_3^2 \sin\varphi_3 - l_4 \ddot{\varphi}_4 \cos\varphi_4 - l_{44} \dot{\varphi}_4^2 \sin\varphi_4 = 0$$

2. slučka

$$do osi x:$$

$$-l_2 \dot{\varphi}_2 \sin\varphi_2 - l_2 \dot{\varphi}_2^2 \cos\varphi_2 - l_3 \dot{\varphi}_3 \sin\varphi_3 - l_3 \dot{\varphi}_3^2 \cos\varphi_3 - l_4 \dot{\varphi}_4 \sin\varphi_4 - l_4 \dot{\varphi}_4^2 \cos\varphi_4 - l_5 \dot{\varphi}_5 \sin\varphi_5 - l_5 \dot{\varphi}_5^2 \cos\varphi_5 - l_6 \dot{\varphi}_6 \sin\varphi_6 - l_6 \dot{\varphi}_6^2 \cos\varphi_6 - l_{22} \dot{\varphi}_2 \sin(\varphi_2 + \gamma) - l_{22} \dot{\varphi}_2^2 \cos(\varphi_2 + \gamma) = 0$$

do osi y:

$$l_3 \ddot{\varphi}_2 \cos \varphi_2 - l_2 \dot{\varphi}_2^2 \sin \varphi_2 + l_3 \ddot{\varphi}_3 \cos \varphi_3 - l_3 \dot{\varphi}_3^2 \sin \varphi_3 + l_4 \ddot{\varphi}_4 \cos \varphi_4 - l_4 \dot{\varphi}_4^2 \sin \varphi_4 + \\ + l_5 \ddot{\varphi}_5 \cos \varphi_5 - l_5 \dot{\varphi}_5^2 \sin \varphi_5 + l_6 \ddot{\varphi}_6 \cos \varphi_6 - l_6 \dot{\varphi}_6^2 \sin \varphi_6 + l_{22} \ddot{\varphi}_2 \cos(\varphi_2 + \gamma) - l_{22} \dot{\varphi}_2^2 \sin(\varphi_2 + \gamma) = 0$$

Slučka bodu záujmu

do osi x:

$$\ddot{x}_z = -l_2 \ddot{\varphi}_2 \sin \varphi_2 - l_2 \dot{\varphi}_2^2 \cos \varphi_2 - l_3 \ddot{\varphi}_3 \sin \varphi_3 - l_3 \dot{\varphi}_3^2 \cos \varphi_3 - l_4 \ddot{\varphi}_4 \sin \varphi_4 - l_4 \dot{\varphi}_4^2 \cos \varphi_4 - \\ - l_6 \ddot{\varphi}_6 \sin \varphi_6 - l_6 \dot{\varphi}_6^2 \cos \varphi_6$$

do osi y:

$$\ddot{y}_z = l_2 \ddot{\varphi}_2 \cos \varphi_2 - l_2 \dot{\varphi}_2^2 \sin \varphi_2 + l_3 \ddot{\varphi}_3 \cos \varphi_3 - l_3 \dot{\varphi}_3^2 \sin \varphi_3 + l_4 \ddot{\varphi}_4 \cos \varphi_4 - l_4 \dot{\varphi}_4^2 \sin \varphi_4 + \\ + l_6 \ddot{\varphi}_6 \cos \varphi_6 - l_6 \dot{\varphi}_6^2 \sin \varphi_6$$

Matica pre výpočet rýchlosťí

$$\begin{bmatrix} -l_3 \sin \varphi_3 & -l_{44} \sin \varphi_4 & 0 & 0 \\ l_3 \cos \varphi_3 & l_{44} \cos \varphi_4 & 0 & 0 \\ -l_3 \sin \varphi_3 & -l_4 \sin \varphi_4 & -l_5 \sin \varphi_5 & -l_6 \sin \varphi_6 \\ l_3 \cos \varphi_3 & l_4 \cos \varphi_4 & l_5 \cos \varphi_5 & l_6 \cos \varphi_6 \end{bmatrix} \cdot \begin{bmatrix} \dot{\varphi}_3 \\ \dot{\varphi}_4 \\ \dot{\varphi}_5 \\ \dot{\varphi}_6 \end{bmatrix} = \begin{bmatrix} l_2 \dot{\varphi}_2 \sin \varphi_2 \\ -l_2 \dot{\varphi}_2 \cos \varphi_2 \\ l_2 \dot{\varphi}_2 \sin \varphi + l_{22} \dot{\varphi}_2 \sin(\varphi_2 + \gamma) \\ -l_2 \dot{\varphi}_2 \cos \varphi - l_{22} \dot{\varphi}_2 \cos(\varphi_2 + \gamma) \end{bmatrix}$$

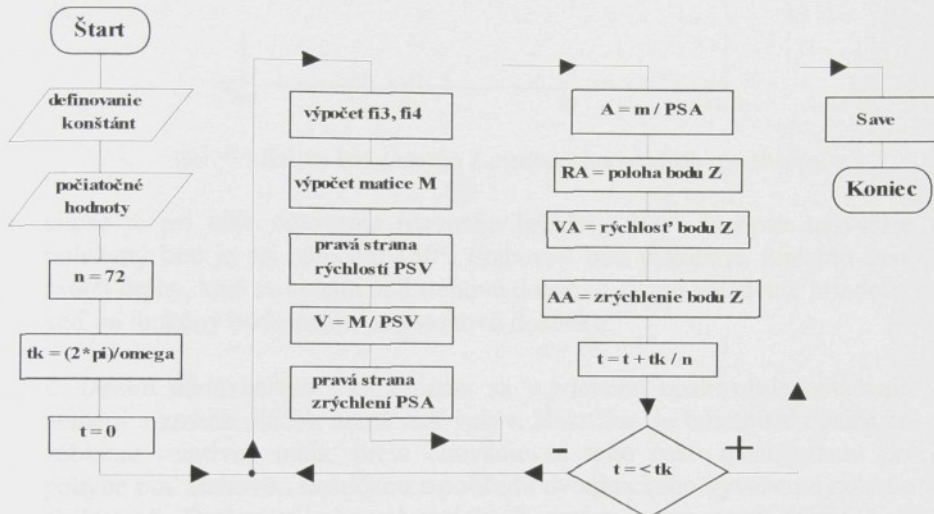
Matica pre výpočet zrýchlení

$$\begin{bmatrix} -l_3 \sin \varphi_3 & -l_{44} \sin \varphi_4 & 0 & 0 \\ l_3 \cos \varphi_3 & l_{44} \cos \varphi_4 & 0 & 0 \\ -l_3 \sin \varphi_3 & -l_4 \sin \varphi_4 & -l_5 \sin \varphi_5 & -l_6 \sin \varphi_6 \\ l_3 \cos \varphi_3 & l_4 \cos \varphi_4 & l_5 \cos \varphi_5 & l_6 \cos \varphi_6 \end{bmatrix} \cdot \begin{bmatrix} \ddot{\varphi}_3 \\ \ddot{\varphi}_4 \\ \ddot{\varphi}_5 \\ \ddot{\varphi}_6 \end{bmatrix} =$$

$$= \begin{bmatrix} l_2 \ddot{\varphi}_2 \sin \varphi_2 + l_2 \dot{\varphi}_2^2 \cos \varphi_2 + l_3 \dot{\varphi}_3^2 \cos \varphi_3 + l_{44} \dot{\varphi}_4^2 \cos \varphi_4 \\ l_2 \ddot{\varphi}_2 \cos \varphi_2 + l_2 \dot{\varphi}_2^2 \sin \varphi_2 + l_3 \dot{\varphi}_3^2 \sin \varphi_3 + l_{44} \dot{\varphi}_4^2 \sin \varphi_4 \\ l_2 \ddot{\varphi}_2 \sin \varphi_2 + l_2 \dot{\varphi}_2^2 \cos \varphi_2 + l_3 \dot{\varphi}_3^2 \cos \varphi_3 + l_4 \dot{\varphi}_4^2 \cos \varphi_4 + l_5 \dot{\varphi}_5^2 \cos \varphi_5 + l_6 \dot{\varphi}_6^2 \cos \varphi_6 + \\ + l_{22} \dot{\varphi}_2 \sin(\varphi_2 + \gamma) + l_{22} \dot{\varphi}_2^2 \cos(\varphi_2 + \gamma) \\ -l_2 \ddot{\varphi}_2 \cos \varphi_2 + l_2 \dot{\varphi}_2^2 \sin \varphi_2 + l_3 \dot{\varphi}_3^2 \sin \varphi_3 + l_4 \dot{\varphi}_4^2 \sin \varphi_4 + l_5 \dot{\varphi}_5^2 \sin \varphi_5 + l_6 \dot{\varphi}_6^2 \sin \varphi_6 + \\ + l_{22} \dot{\varphi}_2 \cos(\varphi_2 + \gamma) + l_{22} \dot{\varphi}_2^2 \sin(\varphi_2 + \gamma) \end{bmatrix}$$

8.0 Bloková schéma programu pre výpočet kinematických veličín bodu Z

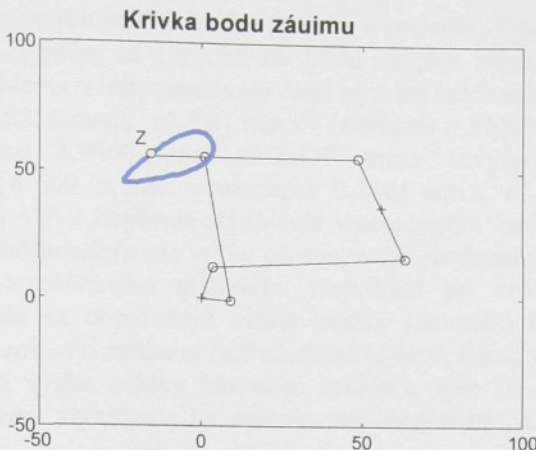
Program a výsledné hodnoty (poloha, rýchlosť, zrýchlenie) analytického riešenia mechanizmu spodného podávania materiálu (bod záujmu Z) pre tri rôzne uhlové rýchlosť. Zostavený program podľa blokovej schémy pracoval podľa požiadaviek a výsledky sú spracované v prílohe textovou a tabuľkovou formou - Tabuľka 1, Tabuľka 2, Tabuľka 3 a sú zobrazené na Graf 1, Graf 2, Graf 3.



9.0 Záver k dosiahnutým výsledkom analytického riešenia

K výsledkom, dosiahnutým v časti 7.0, možno konštatovať:

1. **Celková dráha** podávača spodného ponorného podávania je uzavorená krivka, (Obr. 9.1). Funkčnou časťou dráhy podávacieho zariadenia je tá časť krivky, ktorá sa nachádza nad stehovou doštičkou a je teda pracovnou dráhou. Táto pracovná časť sa nachádza pri voľbe, že bod záujmu sa vysunie nad stehovú doštičku max. 1 mm, v intervale od 120° do 173° pootočenia kľuky. Druhá časť dráhy je pod stehovou doštičkou a bod záujmu (podávač) vykonáva nefunkčnú dráhu. Najnižšie položený bod na



Obr. 9.1 Krivka bodu záujmu Z mechanizmu spodného podávania

elipse je pri uhle natočenia hlavného hriadeľa 300° . Naopak najvyššie položený bod je pri natočení 150° . Pracovný bod vykonáva funkčnú časť svojej dráhy, keď sa vynára nad stehovú doštičku, až po natočenie hriadeľa, keď sa funkčný bod ponára pod stehovú doštičku.

2. Dráha podávacieho mechanizmu sa v priebehu opakovania natáčania nemení a zmena otáčok nemá naň vplyv. Nakoľko je hmotnosť nosiča so zúbkami relatívne malá, preto chovanie sa tejto časti mechanizmu pri pohybe pod stehovou doštičkou z pohľadu dynamického vyváženia nebude sledované. Dráha pri rôznych otáčkach ostáva nezmenená. (Graf 1 v prílohe).

3. Tvary kriviek rýchlosťí pri rôznych otáčkach kľuky sa menia minimálne (Graf 2 v prílohe). Pri „pracovnom“ natočení kľuky v intervale od 120° do 173° má rýchlosť podávača pri otáčkach 2 500 za min. hodnoty v rozmedzí od $3,981 \cdot 10^3 \text{ mm.s}^{-1}$ do $2,371 \cdot 10^3 \text{ mm.s}^{-1}$, (zníženie o 40,04 %), pri 3 500 otáčkach v rozmedzí $5,573 \cdot 10^3 \text{ mm.s}^{-1}$ do $3,319 \cdot 10^3 \text{ mm.s}^{-1}$, (zníženie o 40,75 %) a pri 4 500 otáčkach v rozmedzí $7,165 \cdot 10^3 \text{ mm.s}^{-1}$ do $4,43 \cdot 10^3 \text{ mm.s}^{-1}$, (zníženie o 37,6 %). Tvar kriviek rýchlosťí sa v závislosti od otáčok nemení, v pracovnom úseku má však rýchlosť klesajúcu tendenciú, čo je z technologického hľadiska akceptovateľné. Zvyšovanie otáčok hlavného hriadeľa a teda i kľuky bude mať vplyv len na zvýšenie výkonu šitia, nie však na podstatnú zmenu grafického priebehu rýchlosťí.

4. Tvar priebehov zrýchlenia pri zmenených otáčkach kľuky je oproti rýchlosťiam o niečo výraznejší a dosahuje najvyšších hodnôt práve

v rozsahu pracovných otáčok kľuky (Graf 3 v prílohe). Zvyšovaním počtu otáčok kľuky zvyšuje sa i zrýchlenie bodu záujmu v pracovnej polohe. Hodnoty zrýchlenia v tejto pracovnej časti sú v pri otáčkach 2 500 za min. v rozmedzí $0,8856 \text{ mm.s}^{-2}$ až $1,21 \text{ mm.s}^{-2}$ (zvýšenie o 37,5 %), pri 3 500 za min. v rozmedzí $1,9468 \text{ mm.s}^{-2}$ až $2,3784 \text{ mm.s}^{-2}$ (zvýšenie o 22,05 %) a napokon pri 4 500 za min. v rozmedzí $3,2181 \text{ mm.s}^{-2}$ až $3,9313 \text{ mm.s}^{-2}$ (zvýšenie o 21,5 %). Zvýšenie zrýchlenia v pracovnom úseku vo väzbe na otáčky hlavného hriadeľa má vplyv na stanovenie technických parametrov mechanizmu a zošívania materiálu. Napríklad pri zošívaní pletenín, jemných tkanín sa doporučujú nižšie otáčky hlavného hriadeľa a teda i nižšie zrýchlenie. Pri zošívaní ľahších tkanín (tesil, flauš, vlnené tkaniny) sa doporučujú vyššie otáčky hlavného hriadeľa, tým sa dosiahne vyšší výkon a zvýšenie zrýchlenia by nemalo mať negatívny vplyv na kvalitu šitia.

5. Tvar dráhy na obr. 9.1 ako i priebehy rýchlosťi a zrýchlení z technologického hľadiska v odevnej výrobe je nepriaznivé a preto je potrebné jednotlivé členy mechanizmu optimalovať tak, aby tvar dráhy bodu Z sa priblížil optimálnemu tvaru alebo tvaru dráh, nakreslených v časti 3.0.

Rovnice dráhy, rýchlosťi a zrýchlenia sú uvedené v časti 7.0.

10.0 Optimalizácia vytypovaných parametrov mechanizmu

10.1 Teoretické základy optimalizačných metód

Optimalizáciu je možné definovať ako postup pre získanie návrhu konštrukcie (všeobecne), ktorý je najlepší zo všetkých možných návrhov s ohľadom na predpísaný cieľ a danú množinu geometrických ohraničení a ohraničení na správne správanie sa (stav) sústavy. Optimalizačné metódy možno rozdeliť na viacero skupín, napr.[64] :

- Optimalizácia bez vedľajších podmienok - sem patria metódy: Lineárne hľadanie bez použitia derivácií, Rovnomerné hľadanie, Dichotomické hľadanie, Metóda zlatého rezu, Fibonacciho metóda
- Lineárne hľadanie s použitím derivácií: Metóda rozpočítania, Newtonova metóda
- Mnohorozmerové hľadanie bez použitia derivácií : Metóda cyklickej súradnicovej extremalizácie, Hookeova-Jeevesova metóda, Rosenbrockova metóda
- Mnohorozmerové hľadanie bez použitia derivácií: Gradientová metóda, Newtonova metóda

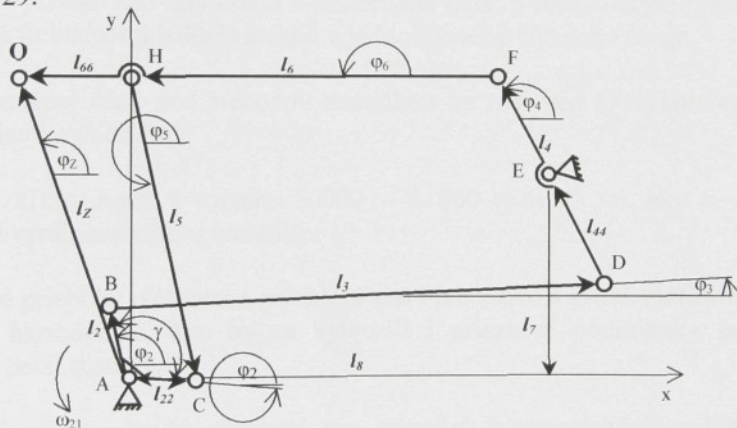
- Metódy využívajúce konjugované smery: Optimalizácia kvadratických funkcií, Davidonova-Fletcherova-Powellova metóda, Metóda združených gradientov Fletchera a Reevesa, Zangwilova metóda
 - Pokutové a bariérové funkcie: Metóda pokutových funkcií, Metóda bariérových funkcií.

Pre riešenie vytypovaného mechanizmu spodného podávania bola vzhľadom na jeho charakter použitá optimalizačná metóda pomerného hľadania.

10.2 Optimalizácia parametrov mechanizmu spodného podávania

Zo záverov v časti 9.0 je možné stanoviť východzie podmienky pre riešenie predmetného mechanizmu i z pohľadu reálnych vstupov a prípadného praktického uplatnenia.

Kinematická schéma mechanizmu na obr. 10.1 ídeovo i rozmerovo splňa základné požiadavky na mechanizmus spodného podávania. Podobný mechanizmus je využitý napr. u strojov DURKOPP 271 alebo Minerva 329.



Obr. 10.1 Vektor prislúchajúce optimalizovanému podávaciemu mechanizmu s bodom Q

Dosiahnuté výsledky a formulované závery v teoretickej časti 9.0 poukazujú na niektoré javy a skutočnosti, ktoré sú z pohľadu reálneho využitia negatívne. Jedná sa najmä o nasledovné závery:

1. Dráhou bodu Z mechanizmu je uzavorená krvka, podobná elipse. Jej tvar sa od optimálneho tvaru dráhy (Obr. 10.2) podstatne líši hlavne v časti ostrého prechodu.



Obr. 10.2 Optimálna dráha bodu mechanizmu spodného podávania

2. Grafické priebehy rýchlosťi a zrýchlení pri rôznych uhlových rýchlosťach kľuky sú podobné, ich maximálne a minimálne hodnoty sú však asymetrické a teda z pohľadu praktického uplatnenia hodnoty rýchlosťi a zrýchlení sú pri zohľadnení i dynamických účinkov nevyužiteľné.

Optimalizácia riešenia predmetného mechanizmu preto vychádza z nasledovných požiadaviek a predpokladov:

1. Dráha bodu Q (nové označenie bodu Z pre optimalizovaný mechanizmus) optimalizovaného mechanizmu má byť približná dráhe na obr. 10.2 a má mať podobný tvar, ako dráhy na obrázkoch v časti 3.0 .
2. Bod Q sa má v pracovnom zábere vysunúť nad stehovú doštičku max. 1,0 mm a vykonať nad ňou dráhu v smere šitia max. 5 mm. Takýto posun zodpovedá frekvencii kladenia stehov u jednouhlového šijacieho stroja.
3. V pracovnej časti nad stehovou doštičkou by mal bod Q vykonávať takmer priamkovú dráhu.
4. Otáčky kľuky budú v rozsahu $5\ 000 - 6\ 000 \text{ ot}.\text{min}^{-1}$, tj. ako u v súčasnosti vyrábanej šijacej techniky.
5. Grafické priebehy rýchlosťi a zrýchlení ako i ich x-ové a y-ové zložky by mali byť harmonické, čím by sa vytvorili i priaznivé podmienky pre dynamiku celej sústavy.
6. Využiť už navrhnutý program pre výpočet kinematických veličín pôvodne označeného bodu Z.
7. Zmenou dĺžok minimálneho množstva členov mechanizmu dráhu bodu Q priblížiť k optimálnemu tvaru.
8. Riešiť dynamiku mechanizmu s cieľom popísat' pohyb mechanizmu analyticky a stanoviť vplyv y-ovej zložky zrýchlenia bodu Q na pätku prítlačného mechanizmu šijacieho stroja pri pracovnom cykle.

11.0 Analýza a výsledky optimalizácie parametrov mechanizmu spodného podávania

Analýzou pohybu jednotlivých bodov - kľov mechanizmu bolo zistené, že :

- a) body B a C vykonávajú kruhový pohyb a sú zdrojom pohybu ostatných členov mechanizmu. Ich vzdialenosť od uchytenia na ráme (bod A) a uhol γ medzi členmi l_2 a l_{22} má rozhodujúci vplyv na tvar výslednej dráhy bodu Q a jej natočenie,
- b) body D a F vykonávajú kívavý pohyb. Veľkosť výkyvu podstatne neovplyvní tvar dráhy bodu Q,
- c) bod H vykonáva všeobecnú krivku,
- d) bod Q vykonáva uzatvorenú krivku, ktorej tvar a parametre je potrebné optimalizovať.

11.1 Výsledky optimalizácie vytypovaných parametrov mechanizmu

Pre optimalizáciu bola vybratá metoda rovnomerného hľadania, pri ktorej boli menené parametre l_2 , l_{22} a uhol γ a zadané nasledovné :

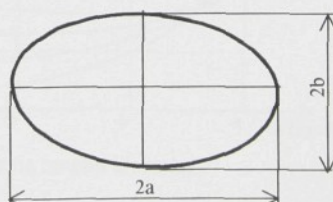
- a) cieľová funkcia pre elipsu v posunutom tvare o vzdialosti "m" a "n" vzhľadom na uchytenie členov l_2 , l_{22} na ráme (bod A),

$$f(x,y) = \frac{(x-m)^2}{a^2} + \frac{(y-n)^2}{b^2} - 1 \rightarrow \min$$

- b) ohraničujúce podmienky pre dráhu

$$\begin{aligned} m-a &< m &< m+a \\ n-b &< n &< n+b \end{aligned}$$

$$a = 2,5 \text{ mm} \quad b = 1 \text{ mm}$$



Obr. 11.1.1 Zadaná dráha bodu Q

Program (v prílohe) pracoval pri zmene najskôr jednotlivých dĺžok. Ich zmena mala nasledovný vplyv na výslednú dráhu :

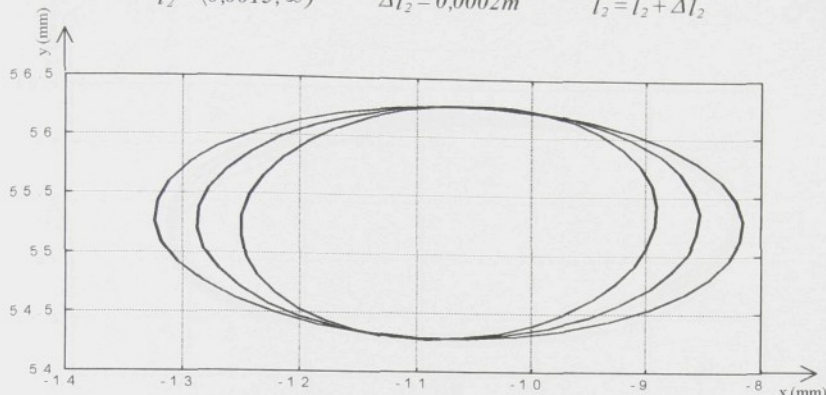
A) dĺžka člena l_2 (m)

Program cykloval so zadanými parametrami

$$l_2 = \langle 0,0015; \infty \rangle$$

$$\Delta l_2 = 0,0002m$$

$$l_2 = l_2 + \Delta l_2$$



Obr. 11.1.2 Zmena dráhy bodu nadväzne na zmenu člena l_2

a dráhou bodu Q bola elipsa, ktorá sa zväčšovala len v smere rozmeru "a" (osi x).

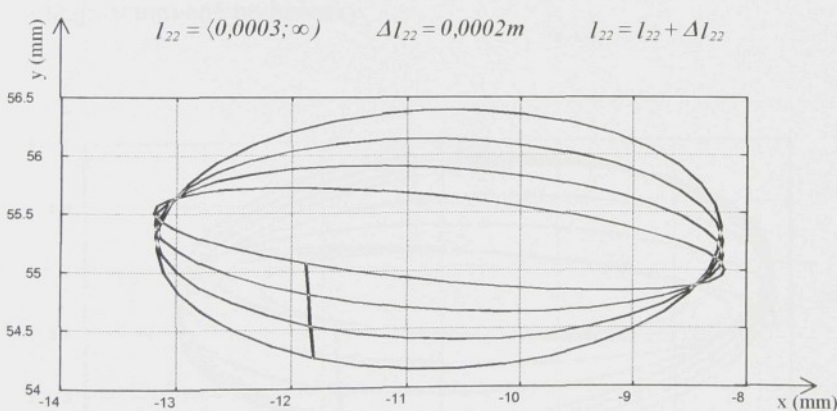
B) dĺžka člena l_{22} (m)

program cykloval so zadanými parametrami

$$l_{22} = \langle 0,0003; \infty \rangle$$

$$\Delta l_{22} = 0,0002m$$

$$l_{22} = l_{22} + \Delta l_{22}$$



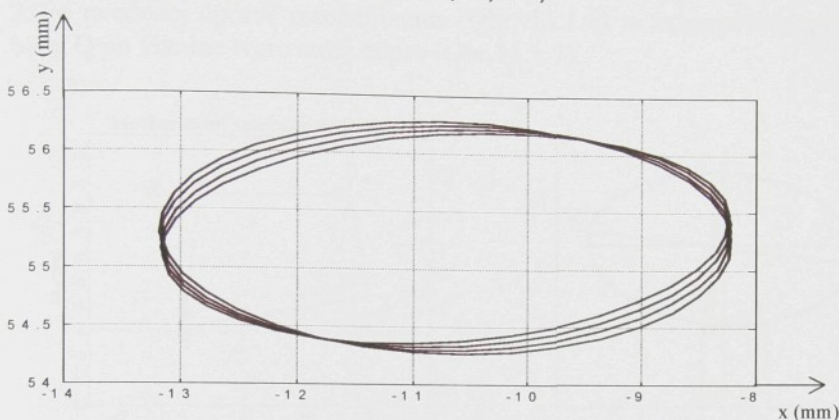
Obr. 11.1.3 Zmena dráhy bodu nadväzne na zmenu člena l_{22}

a dráhou bodu Q bola elipsa, ktorá sa zväčšovala len v smere rozmeru " b " (osi y).

C) uhol γ na člene 2

program cykloval so zadanými parametrami

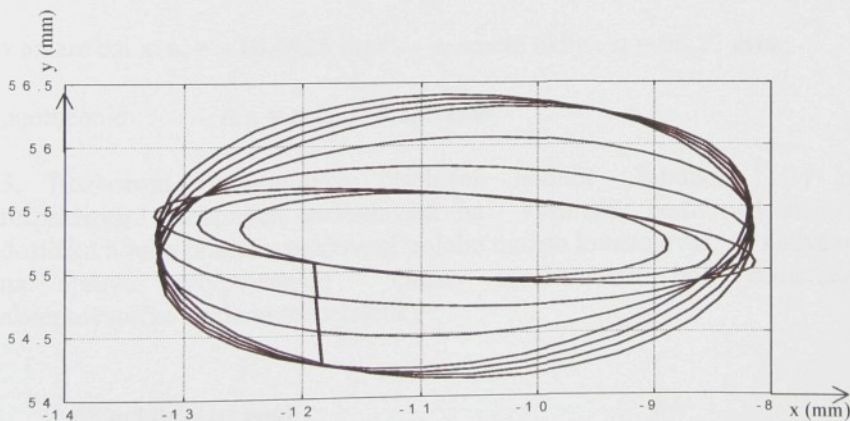
$$\gamma = \langle +14^\circ; 360^\circ \rangle \quad \Delta\gamma = -4^\circ \quad \gamma = \gamma + \Delta\gamma$$



Obr. 11.1.4 Zmena dráhy bodu nadväzne na zmenu uhlu γ

a dráha bodu Q bola elipsa, ktorá sa zmenou uhlu γ len pootáčala.

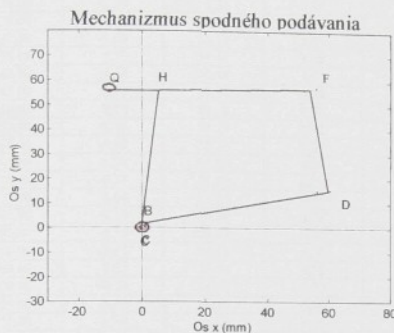
Za predom stanovených vstupných podmienok a ohraničení sa optimalizácia realizovala cyklovaním programu pri parciálnej zmene všetkých troch parametrov. Výsledkom je dráha - elipsa, ktorej parametre splňajú stanovené podmienky.



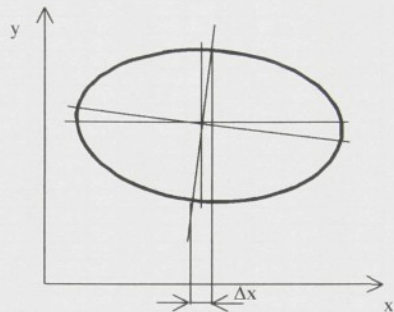
Obr. 11.1.5 Zmena dráhy bodu nadväzne na zmenu troch zvolených parametrov

Výsledky optimalizácie možno zhrnúť nasledovne:

1. Boli upravené len parametre l_2 , l_{22} a uhol γ .
2. Po uvedenej úprave mechanizmus (Obr. 11.1.6) je zabezpečený pohyb bodu Q po vhodnej tvarovanej elipse (Obr.11.1.7).



Obr. 11.1.6 Optimalizovaný mechanizmus spodného podávania



Obr. 11.1.7 Dráha bodu Q

ktoréj parametre sú nasledovné :

$$2a = 5,1158 \text{ mm}$$

$$2b = 2,2676 \text{ mm}$$

posunutie jej stredu oproti súradnicovému systému (bod A)

v smere osi x: $s_x = -10,6925 \text{ mm}$ v smere osi y : $s_y = 55,27 \text{ mm}$

pootočenie $\Delta x = \min. = 0,235 \text{ mm}$

3. Rozborom dosiahnutých číselných hodnôt (Tabuľka 11.1) pri rešpektovaní vstupných požiadaviek na vysunutie bodu nad stehovú doštičku a jeho posun v pracovnej polohe možno konštatovať, že nadväzne na úpravu vytypovaných členov mechanizmu boli dosiahnuté akceptovateľné nasledovné výsledky :

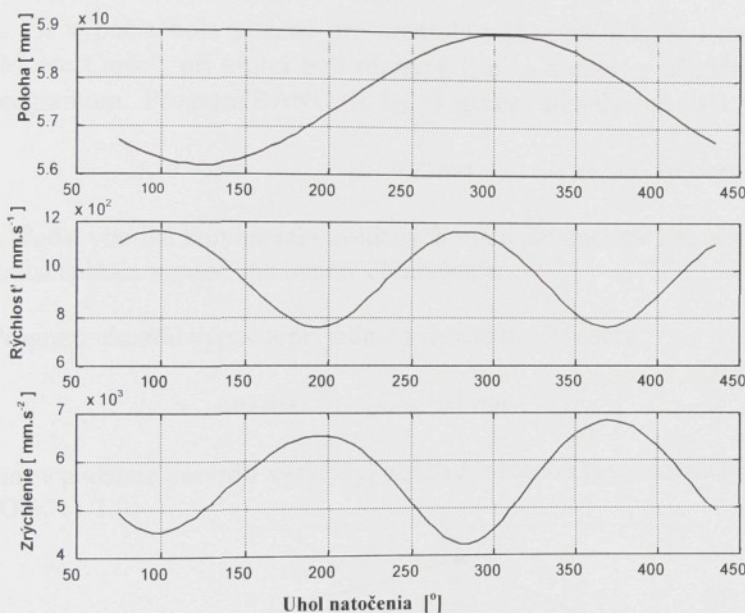
dĺžka kl'uky l_2 [mm]	2,1
dĺžka kl'uky l_{22} [mm]	0,9
uhol medzi obidvomi kl'ukami [°]	2

Tabuľka 11.1 Hodnoty polohy, rýchlosťi a zrýchlenia bodu Q v závislosti na pootočení kľuky

uhol	x	y	va	vax	vay	aa	aax	aay
75.00	-11,52	55,51	1,11	1,02	-0,44	491,95	318,45	374,98
80.00	-11,36	55,45	1,13	1,07	-0,38	476,83	263,72	397,26
85.00	-11,19	55,40	1,15	1,10	-0,32	465,01	207,30	416,24
90.00	-11,02	55,35	1,16	1,13	-0,26	456,95	149,72	431,73
95.00	-10,85	55,32	1,16	1,15	-0,19	452,90	91,50	443,56
100.00	-10,68	55,30	1,16	1,16	-0,12	452,86	33,15	451,64
105.00	-10,50	55,28	1,16	1,16	-0,05	456,57	-24,86	455,90
110.00	-10,32	55,28	1,15	1,15	0,02	463,61	-82,07	456,29
115.00	-10,15	55,29	1,14	1,13	0,09	473,43	-138,09	452,84
120.00	-9,98	55,31	1,12	1,11	0,15	485,42	-192,53	445,61
125.00	-9,82	55,33	1,10	1,07	0,22	499,00	-245,06	434,68
130.00	-9,66	55,37	1,07	1,03	0,29	513,61	-295,38	420,18
135.00	-9,50	55,42	1,04	0,98	0,35	528,81	-343,22	402,29
140.00	-9,36	55,48	1,01	0,93	0,41	544,18	-388,35	381,20
145.00	-9,22	55,54	0,98	0,87	0,46	559,39	-430,55	357,14
150.00	-9,10	55,62	0,95	0,80	0,52	574,18	-469,62	330,37
155.00	-8,98	55,70	0,92	0,72	0,56	588,30	-505,38	301,15
160.00	-8,88	55,79	0,89	0,64	0,61	601,55	-537,66	269,77
165.00	-8,78	55,88	0,86	0,56	0,65	613,71	-566,29	236,54
170.00	-8,71	55,99	0,83	0,47	0,68	624,60	-591,11	201,77
175.00	-8,64	56,09	0,80	0,38	0,71	634,01	-611,96	165,75
180.00	-8,59	56,20	0,78	0,29	0,73	641,74	-628,67	128,82
185.00	-8,55	56,31	0,77	0,19	0,75	647,57	-641,11	91,26
190.00	-8,53	56,43	0,76	0,09	0,76	651,32	-649,13	53,38
195.00	-8,53	56,54	0,76	-0,01	0,76	652,79	-652,61	15,47
200.00	-8,53	56,66	0,77	-0,10	0,76	651,82	-651,44	-22,19
205.00	-8,56	56,77	0,78	-0,20	0,76	648,27	-645,54	-59,34
210.00	-8,60	56,89	0,80	-0,30	0,74	642,05	-634,88	-95,74
215.00	-8,65	57,00	0,83	-0,40	0,73	633,16	-619,43	-131,14
220.00	-8,72	57,11	0,86	-0,49	0,70	621,62	-599,23	-165,32
225.00	-8,80	57,21	0,89	-0,58	0,68	607,57	-574,37	-198,08
230.00	-8,89	57,31	0,92	-0,66	0,64	591,22	-544,97	-229,23
235.00	-9,00	57,41	0,96	-0,74	0,61	572,89	-511,21	-258,59
240.00	-9,12	57,49	0,99	-0,82	0,57	553,01	-473,31	-286,00
245.00	-9,24	57,58	1,03	-0,89	0,52	532,12	-431,55	-311,31
250.00	-9,38	57,65	1,06	-0,95	0,47	510,88	-386,25	-334,37
255.00	-9,53	57,72	1,09	-1,00	0,42	490,06	-337,76	-355,07
260.00	-9,69	57,78	1,11	-1,05	0,36	470,54	-286,47	-373,28
265.00	-9,85	57,83	1,13	-1,09	0,31	453,27	-232,80	-388,92
270.00	-10,02	57,87	1,15	-1,12	0,25	439,21	-177,19	-401,88
275.00	-10,19	57,90	1,16	-1,14	0,18	429,24	-120,10	-412,10
280.00	-10,36	57,93	1,16	-1,16	0,12	424,06	-61,97	-419,51
285.00	-10,54	57,94	1,16	-1,16	0,06	424,07	-3,30	-424,06
290.00	-10,72	57,94	1,16	-1,16	-0,01	429,31	55,47	-425,71
295.00	-10,89	57,94	1,15	-1,15	-0,07	439,45	113,87	-424,44
300.00	-11,06	57,92	1,13	-1,12	-0,14	453,87	171,44	-420,24
305.00	-11,23	57,90	1,11	-1,09	-0,20	471,74	227,76	-413,12
310.00	-11,40	57,86	1,09	-1,05	-0,26	492,16	282,39	-403,08
315.00	-11,55	57,82	1,06	-1,01	-0,32	514,22	334,94	-390,17
320.00	-11,70	57,76	1,03	-0,95	-0,38	537,06	385,00	-374,44
325.00	-11,84	57,70	0,99	-0,89	-0,44	559,93	432,22	-355,96
330.00	-11,97	57,63	0,96	-0,82	-0,49	582,14	476,24	-334,80
335.00	-12,09	57,55	0,92	-0,75	-0,54	603,13	516,72	-311,07
340.00	-12,20	57,47	0,88	-0,67	-0,58	622,38	553,35	-284,89
345.00	-12,29	57,38	0,85	-0,58	-0,62	639,49	585,84	-256,41
350.00	-12,37	57,28	0,82	-0,49	-0,66	654,11	613,91	-225,77
355.00	-12,44	57,18	0,80	-0,39	-0,69	665,95	637,32	-193,17
360.00	-12,49	57,07	0,78	-0,29	-0,72	674,78	655,83	-158,81
365.00	-12,53	56,96	0,77	-0,19	-0,74	680,44	669,25	-122,91
370.00	-12,55	56,85	0,76	-0,09	-0,76	682,82	677,42	-85,72
375.00	-12,56	56,73	0,77	0,01	-0,77	681,86	680,21	-47,50
380.00	-12,55	56,61	0,78	0,11	-0,77	677,59	677,54	-8,55
385.00	-12,52	56,50	0,80	0,22	-0,77	670,08	669,37	30,83
390.00	-12,48	56,38	0,82	0,32	-0,76	659,49	655,73	70,33
395.00	-12,43	56,27	0,85	0,42	-0,75	646,05	636,68	109,60
400.00	-12,36	56,15	0,89	0,51	-0,73	630,07	612,37	148,31
405.00	-12,27	56,05	0,92	0,60	-0,70	611,96	582,98	186,11
410.00	-12,17	55,94	0,96	0,69	-0,67	592,22	548,77	222,66
415.00	-12,06	55,84	1,00	0,77	-0,63	571,43	510,07	257,61
420.00	-11,94	55,75	1,03	0,84	-0,59	550,26	467,25	290,63
425.00	-11,81	55,66	1,06	0,91	-0,55	529,43	420,72	321,39
430.00	-11,67	55,58	1,09	0,97	-0,50	509,73	370,95	349,60
435.00	-11,52	55,51	1,11	1,02	-0,44	491,95	318,45	374,98

<i>pootočenie kľuky l₂</i>	<i>215°</i>	<i>360°</i>
max.vysunutie bodu Q nad steh. doštičku (b) [mm]	1,13	
dĺžka dráhy bodu Q v prac.polohe (a) [mm]		5,1158
rýchlosť bodu Q [ms ⁻¹]	0,83	0,78
z toho: x-ová zložka rýchlosťi	0,4	0,29
zrýchlenie bodu Q [ms ⁻²]	642,05	647,78
z toho: y-ová zložka zrýchlenia	131,14	158,81

4. Grafické priebehy rýchlosťi a zrýchlenia (Obr. 11.1.8) bodu Q sú harmonické krivky, čo predpokladá priaznivý chod mechanizmu. Grafické priebehy zložiek rýchlosťi a zrýchlenia bodu Q sú taktiež harmonické (Kapitola 12.0).



Obr. 11.1.8 Grafické priebehy rýchlosťi a zrýchlenia bodu Q podľa natočenia mechanizmu

5.0 Metóda rovnomerného hľadania vzhľadom na charakter a konštrukciu mechanizmu ako i vplyv zmeny jednotlivých zvolených dĺžok a uhu na tvar dráhy bola zvolená ako vhodná z nasledovných dôvodov:

- tvar dráhy a jej rozmery v smere osi x a y boli pevne stanovené vopred a vychádzali z konštrukčných a technologických požiadaviek,
- rozmer l_2 menil tvar dráhy len v smere osi x, to znamená, že pre dané ohraničujúce podmienky mohla dĺžka l_2 byť stanovená výpočtom ako

optimálna bez toho, aby tento rozmer bol ovplyvnený ďalšími parametrami l_{22} a γ ,

- rozmer l_{22} menil tvar dráhy len v smere osi y. Pre vopred zadané ohraničujúce podmienky bola dĺžka l_{22} stanovená výpočtom ako optimálna, nakoľko nemohla byť ovplyvnená ostatnými, taktiež menenými parametrami (l_2 , γ),

- uhol γ spôsoboval len natočenie dráhy. Na toto natočenie sice mali vplyv dĺžky členov l_2 a l_{22} , ale pre minimálne natočenie Δx mohli byť pre výpočet použité len vypočítané dĺžky členov l_2 a l_{22} .

6. Pri výpočte bola použitá pre kontrolu získaných údajov i metóda tzv. "Monte Carlo", pri ktorej boli rozmery l_2 a l_{22} a uhol γ náhodne menené programom. Program RAND (l_2 , l_{22} , γ) generoval náhodné čísla pre

$$l_2 \langle 0, 4 \rangle \text{ mm}$$

$$l_{22} \langle 0, 4 \rangle \text{ mm}$$

$$\gamma \langle -30^\circ, 30^\circ \rangle \text{ mm}$$

a hľadal vhodné kombinácie uvedených troch parametrov tak, aby výsledná dráha splňala vopred stanovené ohraničenia.

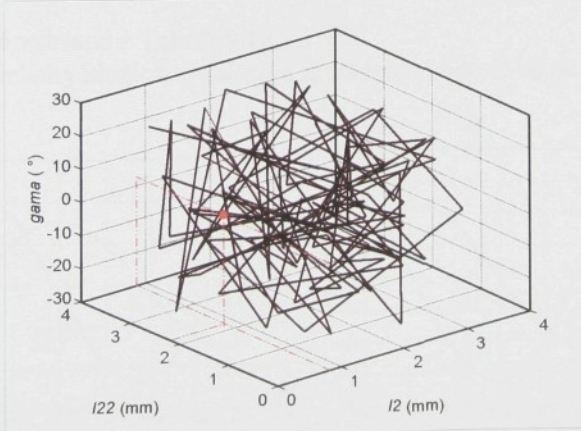
Program ukončil výpočet pri jednom riešení pre hodnoty

$$l_2 = 2,05 \text{ mm}$$

$$l_{22} = 0,8 \text{ mm}$$

$$\gamma = 4^\circ$$

čím v podstate potvrdil výsledky, získané metódou rovnomenného hľadania (Obr. 11.1.9)



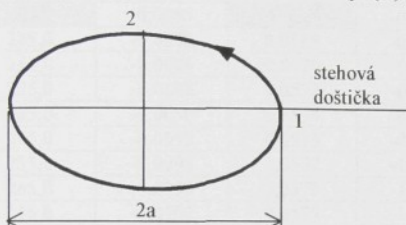
Obr. 11.1.12 Stanovenie parametrov metódou náhodných čísiel

12.0 Pohyb prítlačného mechanizmu vplyvom pôsobenia podávacieho mechanizmu pri pracovnom cykle

Pre hodnotenie pohybu bodu Q podávacieho mechanizmu v pracovnom úseku pri pohybe nad stehovou doštičkou a pri kontakte s prítlačnou pätkou (bod Q, obr. 12.4) prítlačného mechanizmu sú z priebehov grafov na obr. 12.2, obr. 12.3 a v Tabuľke 12.1 vybraté relevantné hodnoty pre ďalší výpočet parametrov bodu Q.

Vstupné ohraničujúce podmienky:

dĺžka posuvu v smere osi x (2a)	0,005 m
výška posuvu v smere osi y (b)	0,0013 m



Obr. 12.1. Dráha bodu Q
1 - začiatok pracovnej dráhy
2 - najvyššia pracovná poloha

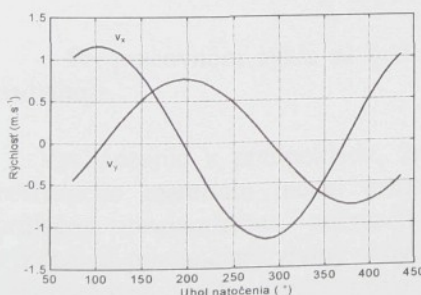
Získané hodnoty (výpočtom)

v bode 1: $b = 0$ $y_1 = 56,5 \text{ mm}$ pootočenie kľuky 195°
 $a_{y1} = 15,47 \text{ m.s}^{-2}$

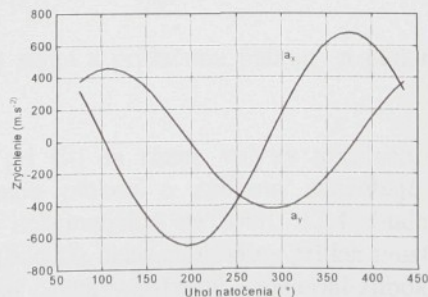
v bode 2: $b = 0,00113 \text{ m}$ $y_2 = y_{\max} = 57,9 \text{ mm}$ pootočenie kľuky 295°
 $a_{y2} = a_{y\max} = 424,45 \text{ m.s}^{-2}$

(Hodnoty sú vybrané z Tabuľky 12.1.)

Grafické priebehy zložiek rýchlosťi a zrýchlenia bodu Q sú na obr. 12.2 a obr. 12.3.



Obr. 12.2 Priebehy zložiek rýchlosťi bodu Q



Obr. 12.3 Priebehy zložiek zrýchlení bodu Q

Tabuľka 12.1 Zložky dráhy, rýchlosť a zrýchlení bodu Q v závislosti na pootočení kľuky

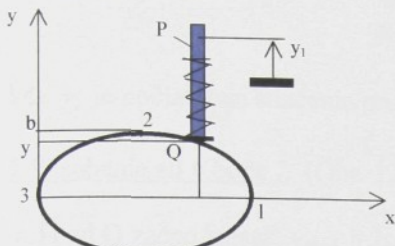
Φ_2 (°)	x (m)	y (m)	v_x (m.s ⁻¹)	v_y (m.s ⁻¹)	a_x (m.s ⁻²)	a_y (m.s ⁻²)
75,0	-0,0115	0,0555	1,0213	-0,4408	318,4571	374,9749
85,0	-0,0112	0,0554	1,1014	-0,3203	207,2496	416,2502
95,0	-0,0109	0,0553	1,1468	-0,1895	91,4430	443,5714
105,0	-0,0105	0,0553	1,1568	-0,0526	-24,9190	455,9044
115,0	-0,0102	0,0553	1,1319	0,0857	-138,1475	452,8537
125,0	-0,0098	0,0553	1,0736	0,2208	-245,1097	434,6853
135,0	-0,0095	0,0554	0,9840	0,3482	-343,2615	402,2971
145,0	-0,0092	0,0555	0,8663	0,4637	-430,5742	357,1477
155,0	-0,0090	0,0557	0,7239	0,5639	-505,3955	301,1507
165,0	-0,0088	0,0559	0,5609	0,6457	-566,2961	236,5450
175,0	-0,0086	0,0561	0,3817	0,7069	-611,9520	165,7559
185,0	-0,0086	0,0563	0,1911	0,7459	-641,1026	91,2608
195,0	-0,0085	0,0565	-0,0057	0,7621	-652,5991	15,4734
205,0	-0,0086	0,0568	-0,2032	0,7554	-645,5338	-59,3445
215,0	-0,0086	0,0570	-0,3956	0,7264	-619,4173	-131,1380
225,0	-0,0088	0,0572	-0,5773	0,6763	-574,3569	-198,0850
235,0	-0,0090	0,0574	-0,7425	0,6068	-511,1881	-258,5976
245,0	-0,0092	0,0576	-0,8860	0,5201	-431,5263	-311,3116
255,0	-0,0095	0,0577	-1,0030	0,4187	-337,7265	-355,0723
265,0	-0,0099	0,0578	-1,0899	0,3055	-232,7618	-388,9248
275,0	-0,0102	0,0579	-1,1436	0,1837	-120,0479	-412,1102
285,0	-0,0105	0,0579	-1,1623	0,0565	-3,2481	-424,0698
295,0	-0,0109	0,0579	-1,1455	-0,0726	113,9123	424,4520
305,0	-0,0112	0,0579	-1,0935	-0,2000	227,7972	-413,1230
315,0	-0,0116	0,0578	-1,0079	-0,3222	334,9671	-390,1787
325,0	-0,0118	0,0577	-0,8912	-0,4357	432,2420	-355,9599
335,0	-0,0121	0,0576	-0,7468	-0,5372	516,7303	-311,0712
345,0	-0,0123	0,0574	-0,5791	-0,6236	585,8422	-256,4056
355,0	-0,0124	0,0572	-0,3930	-0,6920	637,3098	-193,1697
365,0	-0,0125	0,0570	-0,1942	-0,7401	669,2377	-122,9059
375,0	-0,0126	0,0567	0,0112	-0,7661	680,1973	-47,5004
385,0	-0,0125	0,0565	0,2165	-0,7686	669,3639	30,8330
395,0	-0,0124	0,0563	0,4153	-0,7473	636,6748	109,6010
405,0	-0,0123	0,0560	0,6009	-0,7023	582,9688	186,1161
415,0	-0,0121	0,0558	0,7673	-0,6348	510,0585	257,6146
425,0	-0,0118	0,0557	0,9089	-0,5467	420,6952	321,3974
435,0	-0,0115	0,0555	1,0214	-0,4408	318,4106	374,9825

Pri pracovnom cykle sa bod Q stýka s prítlačnou pätkou a pätku nadvihuje.

Vychádzajúc z predpokladu, že pri šití sa rôzne vplyvy textilného zošívanejho materiálu medzi prítlačnou pätkou a zúbkom zanedbajú, prítlačný mechanizmus, zobrazený schematicky na obr. 12.4 bude vykonávať priamočiary vratný pohyb (bod Q). Jeho minimálny prítlač musí zabezpečovať stály styk prítlačnej pätky-zošívanej materiál-zúbok podávacieho mechanizmu z dôvodu zabráneniu kmitania a zabezpečenia

potrebných technologických podmienok pre kvalitu kladenia stehu počas šitia.

Vstupné parametre:



tuhosť pružiny (stanovená výrobcom)
 $c = 3\ 100 \text{ N.m}^{-1}$

hmotnosť telesa P (ihlovej tyče a prítlačnej pätky - stanovená vážením)

$$m = 0,024 \text{ kg}$$

Obr. 12.4 Vzájomné pôsobenie sústavy v súradnicovom systéme

Pri pohybe zúbkov nad stehovou doštičkou medzi bodmi 1 a 2 sa mení pohyb pätky v smere osi y v rozmedzí 0 - 0,00113 m (rozmer b).

12.1 Analýza silových pomerov pri styku bodu Q s prítlačnou pätkou

Pri pohybe bodu Q z bodu 1 cez bod 2 do bodu 3 sú zúbky podávacieho mechanizmu v kontakte cez zošívaný materiál s prítlačnou pätkou. Dôležité je vzájomné pôsobenie sôl počas tohto pohybu, keď na sústavu pôsobia nasledovné sily :

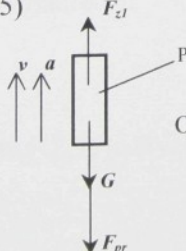
F_z - zdvihová sila v bode Q od podávacieho mechanizmu. Je zdrojom pohybu telesa P a stláčania prítlačnej pružiny.

G - tiaž, spôsobená hmotnosťou telesa P.

F_{pr} - sila, spôsobená stlačením ružiny.

F_D - D'Alembertova dynamická sila.

1. Pôsobenie sôl v bode 1- nastáva styk bodu Q s prítlačnou pätkou (Obr.12.5)



Obr. 12.5 Schématické pôsobenie sôl v bode 1 dráhy bodu Q

Vektorová rovnováha súl: $\mathbf{F}_{pr} + \mathbf{G} + \mathbf{F}_{zI} = \mathbf{0}$ (12.1)

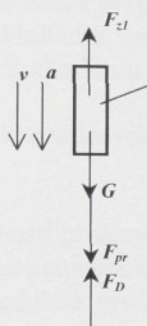
Skalárne vyjadrenie: $F_{pr} = G + F_{zI}$ (12.2)

$$F_{zI} = m \cdot g + c \cdot y_0 \quad (12.3)$$

kde y_0 je počiatočné stlačenie pružiny.

2.Pôsobenie súl v bode 2 (Obr. 12.6)

a.) bod Q začne klesať, $y_{max} = b$,



Obr. 12.6 Schématické pôsobenie súl v bode 2 dráhy bodu Q

Vektorová rovnováha súl: $\mathbf{F}_{pr} + \mathbf{G} + \mathbf{F}_{z2a} + \mathbf{F}_{D2} = \mathbf{0}$ (12.4)

Skalárne vyjadrenie: $F_{z2a} = G + F_{pr} - F_{D2} = 0$ (12.5)

$$F_{z2a} = m \cdot g + c \cdot (y_0 + b) - m \cdot a_{y2a} \quad (12.6)$$

Vo vzťahu (12.6) - sila $F_{z2a} = 0$
- zrýchlenie $a_{y2a} = 424,45 \text{ m.s}^{-2}$

b.) bod Q sa ponára pod stehovú doštičku, $y = 0$,

Vektorová rovnováha súl: $\mathbf{F}_{pr} + \mathbf{G} + \mathbf{F}_{z2b} + \mathbf{F}_{D2} = \mathbf{0}$ (12.7)

Skalárne vyjadrenie: $F_{z2b} = G + F_{pr} - F_{D2} = 0$ (12.8)

$$F_{z2b} = m \cdot g + c \cdot (y_0 + 0) - m \cdot a_{y2b} \quad (12.9)$$

Vo vzťahu (12.9) je zrýchlenie $a_{y2b} = 30,83 \text{ m.s}^{-2}$ (Tabuľka 12.1).

12.2 Stanovenie minimálneho počiatočného stlačenia pružiny

Počiatočné stlačenie pružiny y_0 musí byť tak veľké, aby:

- pri pohybe bodu Q pod stehovú doštičku sila pružiny nedeformovala stehovú doštičku. Vtedy stehová doštička eliminuje silu, spôsobenú stlačením pružiny a tiažou telesa P,
- pri pohybe bodu Q z maximálnej polohy (bod 2) do bodu 3 nedošlo k jeho oddialeniu od prítlačnej pätky,
- pri styku bodu Q s prítlačnou pätkou (bod 1), počas pohybu bodu nad stehovou doštičkou a pri ponáraní sa bodu Q pod stehovú doštičku (bod 3) nedošlo k rozkmitaniu, respektívne kmitaniu sústavy "bod Q - prítlačná pátka" a tým k zhoršeniu podmienok šitia ($y_1 = 0$).

Splnenie uvedených podmienok je možné zabezpečiť nasledovnými spôsobmi:

- a) zmenou tuhosti pružiny "c",
- b) zmenou kinematických parametrov pohybu mechanizmu,
- c) zmenou predpäťia pružiny jej stlačením o mieru y_0 .

Z analýzy možností "a", "b" a "c" ako najefektívnejší je spôsob "c", nakoľko miera y_0 sa dá operatívne meniť nastaviteľnou skrutkou nadväzne na potrebné podmienky šitia, to znamená charakter a vlastnosti vrchného materiálu, zošívanie podšívky s vrchným materiálom a podobne. Pritom musí byť splnená podmienka zo vzťahu v pohybovej rovnici

$$c.(y_0 + b) \quad > \quad -m.g + m.a_{y2a} \quad (12.10)$$

ked' zdvihová sila $F_z = 0$ a bod Q je v polohe 2 a $y = b$.

Pre stanovené vstupné parametre je predpätie pružiny podľa (12.10)

$$y_0 \quad > \quad \frac{-m.g + m.a_{2ya}}{c} - b \quad (12.11)$$

Vo vzťahu (12.11) sa parametre "c", "b", "g" a "m" počas práce mechanizmu nemenia, mení sa len hodnota a_{2ya} . Táto veličina v pracovnej časti nadobúda hodnoty $15,473 \text{ m.s}^{-2}$ až $424,452 \text{ m.s}^{-2}$ (Tabuľka 12.1).

Podmienku (12.11) bude splňať hodnota

$$y_0 > 1,9 \text{ mm} \quad \text{pre ďalší výpočet je zvolené } y_0 = 2,0 \text{ mm}$$

ktorá je ľahko realizovateľná skrutkou pre nastavenie predpäťia pružiny.

12.3 Stanovenie zdvihacej sily F_z

Zdvihacia sila F_z pôsobí v úseku dráhy 1až 3 bodu Q. Pre stanovenie jej veľkosti, ktorá sa mení v závislosti na zmene zrýchlenia a_y , možno pre orientáciu stanoviť v bodoch 1, 2 a 3.

$$\text{v bode 1: } F_{z1} = 6,435 \text{ N}$$

$$\text{v bode 2: } F_{z1} = 0 \text{ N}$$

$$\text{v bode 3: } F_{z1} = 5,696 \text{ N}$$

pričom $a_{2yb} = 30,83 \text{ m.s}^{-2}$, bod Q sa ponára pod stehovú doštičku pri pootočení kľuky mechanizmu o 385° . Vypočítané sily F_z sú z konštrukčného, mechanického i technologického hľadiska šitia akceptovateľné a realizovateľné.

13.0 Dynamická analýza mechanizmu spodného podávania

Mechanizmu na obr. 10.1 vplyvom dynamických účinkov sú priradené :

- v kľboch reakcie A, B, C, D, E, F, H a ich zložky do osí x a y,
- dynamické sily – ich zložky v ťažiskách členov 3, 5, 6, ktoré vykonávajú všeobecný rovinný pohyb (F_D),
- dynamické krútiace momenty u členov 3, 5, 6 (M_D),
- tiaže v ťažiskach členov 3, 4, 5, a 6.

Riešenie je vykonané metódou uvoľnovania a stanovenia síl v smere osi x, osi y a momentovej podmienky pre rovinný pohyb mechanizmu.

13.1 Rovnice pre výpočet jednotlivých reakcií v kľboch mechanizmu

Rovnice nadväzujú na uvoľnenie jednotlivých členov podľa obr. 13.1.

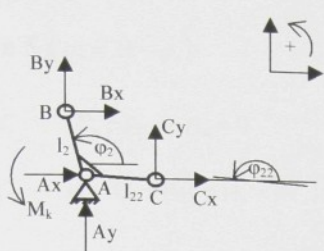
Pre člen 2 ($q_1 = 2\pi - \varphi_{22}, q_2 = \pi - \varphi_2,$)

do osi x: $A_x + B_x + C_x = 0$

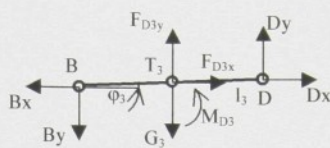
do osi y: $A_y + B_y + C_y = 0$

$M_A:$ $C_y \cdot l_{22} \cdot \cos q_1 + C_x \cdot l_{22} \cdot \sin q_1 + B_x \cdot l_2 \cdot \sin q_2 - B_y \cdot l_2 \cdot \cos q_2 = 0$

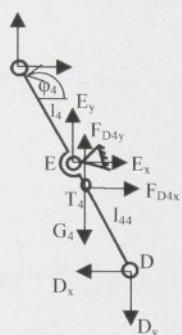
Člen 2



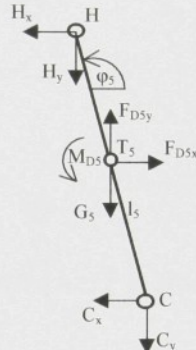
Člen 3



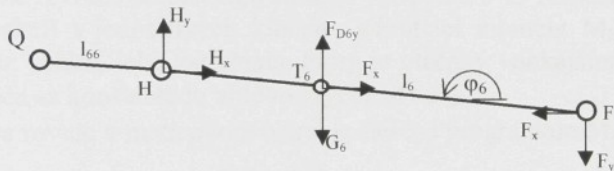
Člen 4



Člen 5



Člen 6



Obr. 13.1 Uvoľnené členy mechanizmu

Pre člen 3

do osi x: $-B_x + F_{D3x} + D_x = 0$

do osi y: $-B_y - G_3 + F_{D3y} + D_y = 0$

$M_{T3}:$ $\frac{l_3}{2} \sin \varphi_3 (-B_x - D_x) + \frac{l_3}{2} \cos \varphi_3 (B_y + D_y) + M_{D3} = 0$

Pre člen 4 ($L_4 = l_4 + l_{44}$, $q_3 = \pi - \varphi_4$)

do osi x: $-D_x + F_{D4x} + E_x + F_x = 0$

do osi y: $-D_y - G_4 + F_{D4y} + E_y + F_y = 0$

M_{T4} :

$$\sin q_3 \left[-D_x \frac{L_4}{2} + E_x \left(l_{44} - \frac{L_4}{2} \right) + F_x \cdot L_4 \right] + \cos q_3 \left[-D_y \frac{L_4}{2} + E_y \left(l_{44} - \frac{L_4}{2} \right) + F_y \cdot L_4 \right] = 0$$

Pre člen 5 ($q_4 = 2\pi - \varphi_5$)

$$\text{do osi x: } -C_x + F_{D5x} - H_x = 0$$

$$\text{do osi y: } -C_y - G_5 + F_{D5y} - H_y = 0$$

$$M_{T5}: \quad \frac{l_5}{2} \sin q_4 (-C_x + H_x) + \frac{l_5}{2} \cos q_4 (-C_y + H_y) + M_{D5} = 0$$

Pre člen 6 ($L_6 = l_6 + l_{66}, q_5 = \pi - \varphi_6$)

$$\text{do osi x: } -F_x + F_{D6x} + H_x = 0$$

$$\text{do osi y: } -F_y - G_6 + F_{D6y} + H_y = 0$$

M_{T6} :

$$\sin q_5 \left[-F_x \frac{L_6}{2} + H_x \left(l_6 - \frac{L_6}{2} \right) + \cos q_5 \left(-F_y \frac{L_6}{2} \right) - \cos q_5 H_y \left(l_6 - \frac{L_6}{2} \right) + M_{D6} \right] = 0$$

Uvedené rovnice predstavujú sústavu 15 rovníc o 15 neznámych. Sú to zložky reakcií v jednotlivých kľoboch a krútiaci moment M_k členu 2 (klúka l_2) bez vonkajšieho zaťaženia, ktorý je otáčaný vonkajším zdrojom pohybu a otáča sa konštantnou uhlovou rýchlosťou ω_{21} .

Sústava rovníc v maticovom tvare je riešená programom MATLAB.

Dynamické sily F_D v tiažiskách u členov 3, 4, 5, 6 sú závislé od veľkosti hmotnosti týchto členov a ich zrýchlenia. Pre výpočet ich zložiek platia všeobecné vzťahy:

$$F_{D3x} = m_3 \cdot a_{T3x} \quad F_{D3y} = m_3 \cdot a_{T3y}$$

$$F_{D4x} = m_4 \cdot a_{T4x} \quad F_{D4y} = m_4 \cdot a_{T4y}$$

$$F_{D5x} = m_5 \cdot a_{T5x} \quad F_{D5y} = m_5 \cdot a_{T5y}$$

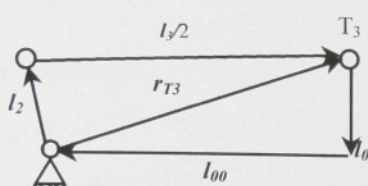
$$F_{D6x} = m_6 \cdot a_{T6x} \quad F_{D6y} = m_6 \cdot a_{T6y}$$

kde zložky zrýchlení v jednotlivých tiažiskách sú neznáme veličiny a je potrebné ich stanoviť výpočtom.

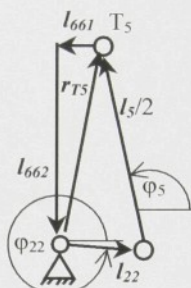
14.0 Výpočet zložiek zrýchlení tiažísk jednotlivých členov mechanizmu

Výpočet je vykonaný vektorovou metódou, keď tiažiskám členov, ktoré vykonávajú všeobecný rovinný pohyb, sú priradené smerové vektory (obr. 14.1). Členy 2 a 4 vykonávajú viazaný pohyb okolo bodu na ráme (otočný a kívavý), preto posuvné zrýchlenia sú nulové a sú nulové i dynamické sily na týchto členoch.

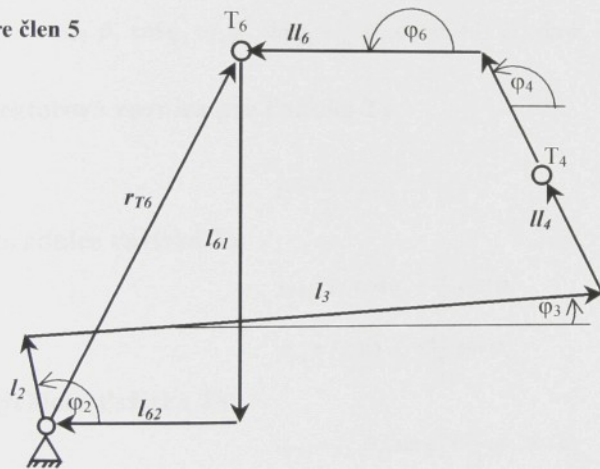
Pre člen 3



Pre člen 5



Pre člen 5



Obr. 14.1 Vektorové slučky

Výpočet je vykonaný pre vektorové slučky, prislúchajúce k tiažiskám členov 3, 5 a 6 podávacieho mechanizmu.

Člen 3 Slučky polohy:

Vektorová rovnica:

$$I_2 + \frac{I_3}{2} + I_0 + I_{00} = 0$$

do osi x: $I_2 \cdot \cos q_2 + \frac{l_3}{2} \cdot \cos \varphi_3 - l_{00} = 0$

do osi y: $I_2 \cdot \sin q_2 + \frac{l_3}{2} \cdot \sin \varphi_3 - l_0 = 0$

Slučky rýchlosťí:

do osi x : (v_{3x}) $I_2 \cdot \dot{\phi}_2 \cdot \sin q_2 - \frac{l_3}{2} \cdot \dot{\phi}_3 \cdot \sin \varphi_3 - \ddot{l}_{00} = 0$

do osi y : (v_{3y}) $-I_2 \cdot \dot{\phi}_2 \cdot \cos q_2 + \frac{l_3}{2} \cdot \dot{\phi}_3 \cdot \cos \varphi_3 - \ddot{l}_0 = 0$

Slučky zrýchlení:

do osi x: (a_{3x})

$$-I_2 \cdot \ddot{\phi}_2 \cdot \sin q_2 + I_2 \dot{\phi}_2^2 \cdot \cos q_2 - \frac{l_3}{2} \cdot \ddot{\phi}_3 \cdot \sin \varphi_3 + \frac{l_3}{2} \cdot \dot{\phi}_3^2 \cdot \cos \varphi_3 - \dddot{l}_{00} = 0$$

do osi y: (a_{3y})

$$-I_2 \cdot \ddot{\phi}_2 \cdot \cos q_2 + I_2 \dot{\phi}_2^2 \cdot \sin q_2 + \frac{l_3}{2} \cdot \ddot{\phi}_3 \cdot \cos \varphi_3 + \frac{l_3}{2} \cdot \dot{\phi}_3^2 \cdot \sin \varphi_3 - \ddot{l}_0 = 0$$

Vektorová rovnica pre ťažisko T₃

$$I_2 + \frac{l_3}{2} = \mathbf{r}_{T3}$$

Súradnice ťažiska T₃:

$$x_{T3} = I_2 \cdot \cos q_2 + \frac{l_3}{2} \cdot \cos \varphi_3$$

$$y_{T3} = I_2 \cdot \sin q_2 + \frac{l_3}{2} \cdot \sin \varphi_3$$

Rýchlosť ťažiska T₃:

$$v_{T3x} = I_2 \cdot \dot{\phi}_2 \cdot \sin q_2 + \frac{l_3}{2} \cdot \dot{\phi}_3 \cdot \sin \varphi_3$$

$$v_{T3y} = -I_2 \cdot \dot{\phi}_2 \cdot \cos q_2 + \frac{l_3}{2} \cdot \dot{\phi}_3 \cdot \cos \varphi_3$$

Zrýchlenie ťažiska T₃:

$$a_{T3x} = I_2 \cdot \ddot{\phi}_2 \cdot \sin q_2 - I_2 \cdot \dot{\phi}_2^2 \cdot \cos q_2 + \frac{l_3}{2} \cdot \ddot{\phi}_3 \cdot \sin \varphi_3 - \frac{l_3}{2} \cdot \dot{\phi}_3^2 \cdot \cos \varphi_3$$

$$a_{T3y} = -I_2 \cdot \ddot{\phi}_2 \cdot \cos q_2 - I_2 \cdot \dot{\phi}_2^2 \cdot \sin q_2 + \frac{l_3}{2} \cdot \ddot{\phi}_3 \cdot \cos \varphi_3 + \frac{l_3}{2} \cdot \dot{\phi}_3^2 \cdot \sin \varphi_3$$

Člen 5 Slučky polohy:

Vektorová rovnica: $I_{22} + \frac{l_5}{2} + I_{661} + I_{662} = 0$

do osi x:

$$l_{22} \cdot \cos \varphi_{22} + \frac{l_5}{2} \cdot \cos \varphi_5 - l_{661} = 0$$

do osi y:

$$l_{22} \cdot \sin \varphi_{22} + \frac{l_5}{2} \cdot \sin \varphi_5 - l_{662} = 0$$

Slučky rýchlosťí:

do osi x : (v_{5x})

$$-l_{22} \cdot \dot{\varphi}_{22} \cdot \sin \varphi_{22} - \frac{l_5}{2} \cdot \dot{\varphi}_5 \cdot \sin \varphi_5 - l_{661} = 0$$

do osi y : (v_{5y})

$$l_{22} \cdot \dot{\varphi}_{22} \cdot \cos \varphi_{22} + \frac{l_5}{2} \cdot \dot{\varphi}_5 \cdot \cos \varphi_5 - l_{662} = 0$$

Slučky zrýchlení:

do osi x: (a_{5x})

$$-l_{22} \cdot \ddot{\varphi}_{22} \cdot \sin \varphi_{22} - l_2 \dot{\varphi}_{22}^2 \cdot \cos \varphi_{22} - \frac{l_5}{2} \cdot \ddot{\varphi}_5 \cdot \sin \varphi_5 - \frac{l_5}{2} \cdot \dot{\varphi}_5^2 \cdot \cos \varphi_5 - l_{661} = 0$$

do osi y: (a_{5y})

$$l_{22} \cdot \ddot{\varphi}_{22} \cdot \cos \varphi_{22} - l_{22} \dot{\varphi}_{22}^2 \cdot \sin \varphi_{22} + \frac{l_5}{2} \cdot \ddot{\varphi}_5 \cdot \cos \varphi_5 - \frac{l_5}{2} \cdot \dot{\varphi}_5^2 \cdot \sin \varphi_5 - l_{662} = 0$$

Vektorová rovnica pre tŕažisko T₅

$$l_{22} + \frac{l_5}{2} = \mathbf{r}_{T5}$$

Súradnice tŕažiska T₅:

$$x_{T5} = l_{22} \cdot \cos \varphi_2 + \frac{l_5}{2} \cdot \cos \varphi_5$$

$$y_{T5} = l_{25} \cdot \sin \varphi_2 + \frac{l_5}{2} \cdot \sin \varphi_5$$

Rýchlosť tŕažiska T₅:

$$v_{T5x} = -l_{22} \cdot \dot{\varphi}_2 \cdot \sin \varphi_2 - \frac{l_5}{2} \cdot \dot{\varphi}_5 \cdot \sin \varphi_5$$

$$v_{T5y} = l_{25} \cdot \dot{\varphi}_2 \cdot \cos \varphi_2 + \frac{l_5}{2} \cdot \dot{\varphi}_5 \cdot \cos \varphi_5$$

Zrýchlenie tŕažiska T₅:

$$a_{T5x} = -l_2 \cdot \ddot{\varphi}_2 \cdot \sin \varphi_2 - l_{22} \cdot \dot{\varphi}_2^2 \cdot \cos \varphi_2 - \frac{l_5}{2} \cdot \ddot{\varphi}_5 \cdot \sin \varphi_5 - \frac{l_5}{2} \cdot \dot{\varphi}_5^2 \cdot \cos \varphi_5$$

$$a_{T5y} = -l_2 \cdot \ddot{\varphi}_2 \cdot \cos \varphi_2 - l_2 \cdot \dot{\varphi}_2^2 \cdot \sin \varphi_2 + \frac{l_5}{2} \cdot \ddot{\varphi}_5 \cdot \cos \varphi_5 + \frac{l_5}{2} \cdot \dot{\varphi}_5^2 \cdot \sin \varphi_5$$

Člen 6 Slučky polohy:

Vektorová rovnica: $I_2 + I_3 + 2I_4 + I_6 + I_{61} + I_{62} = 0$

do osi x: $l_2 \cdot \cos \varphi_2 + l_3 \cdot \cos \varphi_3 + 2ll_4 \cdot \cos q_3 + ll_6 \cdot \cos \varphi_6 - l_{62} = 0$

do osi y: $l_2 \cdot \sin \varphi_2 + l_3 \cdot \sin \varphi_3 + 2ll_4 \cdot \sin q_3 + ll_6 \cdot \sin \varphi_6 - l_{61} = 0$

Slučky rýchlosťí:

do osi x : (v_{6x})

$$-l_2 \cdot \dot{\varphi}_2 \cdot \sin \varphi_2 - l_3 \cdot \dot{\varphi}_3 \cdot \sin \varphi_3 - 2ll_4 \cdot \dot{q}_3 \cdot \sin q_3 - ll_6 \cdot \dot{\varphi}_6 \cdot \sin \varphi_6 - \ddot{l}_{62} = 0$$

do osi y : (v_{6y})

$$l_2 \cdot \dot{\varphi}_2 \cdot \cos \varphi_2 + l_3 \cdot \dot{\varphi}_3 \cdot \cos \varphi_3 + 2ll_4 \cdot \dot{q}_3 \cdot \cos q_3 + ll_6 \cdot \dot{\varphi}_6 \cdot \cos \varphi_6 - \ddot{l}_{61} = 0$$

Slučky zrýchlení:

do osi x:

(a_{6x})

$$\begin{aligned} & -l_2 \cdot \ddot{\varphi}_2 \cdot \sin \varphi_2 - l_2 \cdot \dot{\varphi}_2^2 \cdot \cos \varphi_2 - l_3 \cdot \ddot{\varphi}_3 \cdot \sin \varphi_3 - l_3 \cdot \dot{\varphi}_3^2 \cdot \cos \varphi_3 - 2ll_4 \cdot \ddot{q}_3 \cdot \sin q_3 - 2ll_4 \cdot \dot{q}_3^2 \cdot \cos q_3 - \\ & - ll_6 \cdot \ddot{\varphi}_6 \cdot \sin \varphi_6 - ll_6 \cdot \dot{\varphi}_6^2 \cdot \cos \varphi_6 - \ddot{l}_{62} = 0 \end{aligned}$$

do osi y:

(a_{3y})

$$\begin{aligned} & l_2 \cdot \ddot{\varphi}_2 \cdot \cos \varphi_2 - l_2 \cdot \dot{\varphi}_2^2 \cdot \sin \varphi_2 + l_3 \cdot \ddot{\varphi}_3 \cdot \cos \varphi_3 - l_3 \cdot \dot{\varphi}_3^2 \cdot \sin \varphi_3 + - 2ll_4 \cdot \ddot{q}_3 \cdot \cos q_3 - 2ll_4 \cdot \dot{q}_3^2 \cdot \sin q_3 + \\ & + ll_6 \cdot \ddot{\varphi}_6 \cdot \sin \varphi_6 - ll_6 \cdot \dot{\varphi}_6^2 \cdot \cos \varphi_6 - \ddot{l}_{61} = 0 \end{aligned}$$

Vektorová rovnica pre tiažisko T₆

$$l_2 + l_3 + 2ll_4 + ll_6 = \mathbf{r}_{T6}$$

Súradnice tiažiska T₆:

$$x_{T6} = l_2 \cdot \cos \varphi_2 + l_3 \cdot \cos \varphi_3 + 2ll_4 \cdot \cos \varphi_4 + ll_6 \cdot \cos \varphi_6$$

$$y_{T6} = l_2 \cdot \sin \varphi_2 + l_3 \cdot \sin \varphi_3 + 2ll_4 \cdot \sin \varphi_4 + ll_6 \cdot \sin \varphi_6$$

Rýchlosť tiažiska T₆:

$$v_{T6x} = -l_2 \cdot \dot{\varphi}_2 \cdot \sin \varphi_2 - l_3 \cdot \dot{\varphi}_3 \cdot \sin \varphi_3 - 2ll_4 \cdot \dot{\varphi}_4 \cdot \sin \varphi_4 - ll_6 \cdot \dot{\varphi}_6 \cdot \sin \varphi_6$$

$$v_{T6y} = l_2 \cdot \dot{\varphi}_2 \cdot \cos \varphi_2 + l_3 \cdot \dot{\varphi}_3 \cdot \cos \varphi_3 + 2ll_4 \cdot \dot{\varphi}_4 \cdot \cos \varphi_4 + ll_6 \cdot \dot{\varphi}_6 \cdot \cos \varphi_6$$

Zrýchlenie tiažiska T₆

$$\begin{aligned} a_{T6x} = & -l_2 \cdot \ddot{\varphi}_2 \cdot \sin \varphi_2 - l_2 \cdot \dot{\varphi}_2^2 \cdot \cos \varphi_2 - l_3 \cdot \ddot{\varphi}_3 \cdot \sin \varphi_3 - l_3 \cdot \dot{\varphi}_3^2 \cdot \cos \varphi_3 - 2ll_4 \cdot \ddot{\varphi}_4 \cdot \sin \varphi_4 - 2ll_4 \cdot \dot{\varphi}_4^2 \cdot \cos \varphi_4 - \\ & - ll_6 \cdot \ddot{\varphi}_6 \cdot \sin \varphi_6 - ll_6 \cdot \dot{\varphi}_6^2 \cdot \cos \varphi_6 \end{aligned}$$

$$a_{T6y} = l_2 \cdot \ddot{\phi}_2 \cdot \cos \varphi_2 - l_2 \cdot \dot{\phi}_2^2 \cdot \sin \varphi_2 + l_3 \cdot \ddot{\phi}_3 \cdot \cos \varphi_3 - l_3 \cdot \dot{\phi}_3^2 \cdot \sin \varphi_3 + 2l_4 \cdot \ddot{\phi}_4 \cdot \cos \varphi_4 - 2l_4 \cdot \dot{\phi}_4^2 \cdot \sin \varphi_4 + \\ + ll_6 \cdot \ddot{\phi}_6 \cdot \cos \varphi_6 - ll_6 \cdot \dot{\phi}_6^2 \cdot \sin \varphi_6$$

Konštanty, uvádzané v rovniach, sú definované v programe (Kapitola 15.1).

15.0 Program pre výpočet reakcií v kľoboch podávacieho mechanizmu a dosiahnuté výsledky.

Program je vypracovany v prostredí MATLAB. Jeho štruktúra nadvázuje na údaje v Kapitole 13.0 a stanovené konštanty pre jednotlivé členy mechanizmu. Vychádzajúc zo všeobecných vzťahov a predpokladov:

- a) moment zotrvačnosti homogénnej tyče $J = \frac{1}{12} m \cdot r^2$,
- priemer všetkých členov mechanizmu $d = 0,005 \text{ m}$,
- tiaž jednotlivých členov mechanizmu $G = 15,543 \cdot 10^{-2} J$,
- b) že pri určitom zjednodušení modelu - zanedbanie pružnosti členov (relatívne malé rozmery), vôle a trenia v čapoch,
- c) že jednotlivé členy mechanizmu sú z ocele,
- d) že sa pre výpočet použije kinetostatická metóda vzhľadom na charakter a vstupné parametre mechanizmu,

jednotlivé členy majú nasledovné vypočítané parametre (Tabuľka 15.1):

Tabuľka 15.1

Člen	Dĺžka člena [m]	Hmotnosť [10 ⁻⁵ kg]	Priemer [m]	Moment zotrvačnosti [10 ⁻¹² kg·m ²]
l ₂	0,002	31,086	0,005	161,895
l ₂₂	0,001	15,543	0,005	80,948
l ₃	0,06	932,58	0,005	4872,5
l ₄₄	0,021	326,403	0,005	1699,906
l ₄	0,042	652,806	0,005	3399,81
l ₅	0,057	885,95	0,005	4614,03
l ₆	0,048	746,064	0,005	3885,50
l ₆₆	0,0165	256,459	0,005	1335,638

15.1 Program pre výpočet reakcií v kľoboch podávacieho mechanizmu

```
% HLAVNÝ PROGRAM
% RIEŠENIA PODÁVACIEHO MECHANIZMU
```

```
clear all
l2=0.0021; % dĺžka kľuky 2
l22=0.0009; % dĺžka kľuky 22
l3=0.060; % dĺžka tiahla 3
l4=0.042; % dĺžka prvej časti páky 4
l44=0.021; % dĺžka druhej časti páky 44
l5=0.057; % dĺžka tiahla 5
```

```

16=0.048; % páka podávača 6
166=0.0165; % páka podávača 66
17=0.036; % y-ová vzdialenosť čapu páky 4
18=0.056; % x-ová vzdialenosť čapu páky 4
gama=-10*pi/180; % uhol medzi kľukou 2 a kľukou 22
fi3=2.5*pi/180;
fi6=178.5*pi/180;
fi5=276*pi/180;
fi4=105*pi/180;
x=[fi3;fi4;fi5;fi6]; % vektor závislých premenných
n=36; % pocet polôh
alfa=0; % uhlové zrýchlenie kľuky 2
omega=575; % uhlová rýchlosť
q0=75*pi/180; % počiatočné natočenie kľuky 2
tk=(2*pi)/omega;
i=1;

for t=0:tk/n:tk
    q(i,1)=q0+omega*t+(alfa*t^2)/2;
    x=fsolve2('rovnice1',x,1,q(i));
    p(i,1:4)=x';
    fi3=p(i,1);
    fi4=p(i,2);
    fi5=p(i,3);
    fi6=p(i,4);
    % matrica
    M=[-13*sin(fi3) -144*sin(fi4) 0 0;
        13*cos(fi3) 144*cos(fi4) 0 0;
        -13*sin(fi3) -14*sin(fi4) -15*sin(fi5) -16*sin(fi6);
        13*cos(fi3) 14*cos(fi4) 15*cos(fi5) 16*cos(fi6)];
    % prava strana matice rychlosťi
    PSV=[ 12*(omega+alfa*t)*sin(q(i));
          -12*(omega+alfa*t)*cos(q(i));
          12*(omega+alfa*t)*sin(q(i))+122*(omega+alfa*t)*sin(q(i)+gama);
          -12*(omega+alfa*t)*cos(q(i))-122*(omega+alfa*t)*cos(q(i)+gama)];
    V(i,1:4)=(M\PSV)';
    %prava strana matice zrychlení
    PSA=[ 12*alfa*sin(q(i))+12*((omega+alfa*t)^2)*cos(q(i))+13*(V(i,1)^2)*cos(fi3)+144*(V(i,2)^2)*cos(fi4);
          -12*alfa*cos(q(i))+12*((omega+alfa*t)^2)*sin(q(i))+13*(V(i,1)^2)*sin(fi3)+144*(V(i,2)^2)*sin(fi4);
          12*alfa*sin(q(i))+12*((omega+alfa*t)^2)*cos(q(i))+13*(V(i,1)^2)*cos(fi3)+14*(V(i,2)^2)*cos(fi4)+15*(V(i,3)^2)*cos(fi5)+16*(V(i,4)^2)*cos(fi6)+122*alfa*sin(q(i)+gama)+122*((omega+alfa*t)^2)*cos(q(i)+gama);
          -122*alfa*cos(q(i)+gama)+122*((omega+alfa*t)^2)*sin(q(i)+gama)];
    A(i,1:4)=(M\PSA)';
    % poloha bodu A
    XA(i,1)=12*cos(q(i))+13*cos(fi3)+14*cos(fi4)+(16+166)*cos(fi6);

```

```

YA(i,1)=12*sin(q(i))+13*sin(fi3)+14*sin(fi4)+(16+166)*sin(fi6);
RA(i,1)=sqrt((XA(i,1)^2)+(YA(i,1)^2));

% rychlosť bodu A
VXA(i,1)=-12*(omega+alfa*t)*sin(q(i))-13*V(i,1)*sin(fi3)-
14*V(i,2)*sin(fi4)-(16+166)*V(i,4)*sin(fi6);

VYA(i,1)=12*(omega+alfa*t)*cos(q(i))+13*V(i,1)*cos(fi3)+14*V(i,2)*cos(
fi4)+(16+166)*V(i,4)*cos(fi6);
VA(i,1)=sqrt((VXA(i,1)^2)+(VYA(i,1)^2));

% zrychlenie bodu A
AXA(i,1)=-12*alfa*sin(q(i))-12*((omega+alfa*t)^2)*cos(q(i))-
13*A(i,1)*sin(fi3)-13*(V(i,1)^2)*cos(fi3)-14*A(i,2)*sin(fi4)-
14*(V(i,2)^2)*cos(fi4)-(16+166)*A(i,4)*sin(fi6)-
(16+166)*(V(i,4)^2)*cos(fi6);

AYA(i,1)= 12*alfa*cos(q(i))-
12*((omega+alfa*t)^2)*sin(q(i))+13*A(i,1)*cos(fi3)-
13*(V(i,1)^2)*sin(fi3)+14*A(i,2)*cos(fi4)-
14*(V(i,2)^2)*sin(fi4)+(16+166)*A(i,4)*cos(fi6)-
(16+166)*(V(i,4)^2)*sin(fi6);
AA(i,1)=sqrt((AXA(i,1)^2)+(AYA(i,1)^2));

```

% výpočet dynamický -----

```

m3=7850*13*pi*0.005^2/4;
m4=7850*(14+144)*pi*0.005^2/4;
m5=7850*15*pi*0.005^2/4;
m6=7850*(16+166)*pi*0.005^2/4;
g=9.81;

```

```

G3=m3*g;
G4=m4*g;
G5=m5*g;
G6=m6*g;

```

```

dfi2=omega;
dfi3=V(i,1);
dfi4=V(i,2);
dfi5=V(i,3);
dfi6=V(i,4);

```

```

ddfi2=0;
ddfi3=A(i,1);
ddfi4=A(i,2);
ddfi5=A(i,3);
ddfi6=A(i,4);

l14=0.5*(14+144);
l16=0.5*(16+166);
M3D=4872.5*10E-12*ddfi3;
M5D=4614.03*10E-12*ddfi5;
M6D=3885.5*10E-12*ddfi6;

```

```

fi2=q(i);
q1=q(i)+gama;
q2=q(i);
q3=fi4;
q5=fi6;

```

```

q4=fi5;

XT3=l2*cos(q2)+0.5*l3*cos(fi3);
VT3X=l2*dfi2*sin(q2)+0.5*l3*dfi3*sin(fi3);
AT3X=l2*ddf2*sin(q2)-l2*dfi2*dfi2*cos(q2)+0.5*l3*ddf3*sin(fi3)-
0.5*l3*dfi3*dfi3*cos(fi3);
YT3=l2*sin(q2)+0.5*l3*sin(fi3);
VT3Y=-l2*dfi2*cos(q2)+0.5*l3*dfi3*cos(fi3);
AT3Y=-l2*ddf2*cos(q2)-
12*dfi2*dfi2*sin(q2)+0.5*l3*ddf3*cos(fi3)+0.5*l3*dfi3*dfi3*sin(fi3);

AT4X=0;
AT4Y=0;

XT5=l22*cos(fi2)+0.5*l5*cos(fi5);
VT5X=-l22*dfi2*sin(fi2)-0.5*l5*dfi5*sin(fi5);
AT5X=-l2*ddf2*sin(fi2)-l22*dfi2*dfi2*cos(fi2)-0.5*l5*ddf5*sin(fi5)-
0.5*l5*dfi5*dfi5*cos(fi5);
YT5=l22*sin(fi2)+0.5*l5*sin(fi5);
VT5Y=l22*dfi2*cos(fi2)+0.5*l5*dfi5*cos(fi5);
AT5Y=l2*ddf2*cos(fi2)-l2*dfi2*dfi2*sin(fi2)+0.5*l5*ddf5*cos(fi5)-
0.5*l5*dfi5*dfi5*sin(fi5);

XT6=l2*cos(fi2)+l3*cos(fi3)+2*l4*cos(fi4)+l6*cos(fi6);
YT6=l2*sin(fi2)+l3*sin(fi3)+2*l4*sin(fi4)+l6*sin(fi6);

VT6X=-l2*dfi2*sin(fi2)-l3*dfi3*sin(fi3)-2*l4*dfi4*sin(fi4)-
l6*dfi6*sin(fi6);
VT6Y=l2*dfi2*cos(fi2)+l3*dfi3*cos(fi3)+2*l4*dfi4*cos(fi4)+l6*dfi6*co-
s(fi6);

AT6X=-l2*ddf2*sin(fi2)-l2*dfi2*dfi2*cos(fi2)-l3*ddf3*sin(fi3)-
l3*dfi3*dfi3*cos(fi3)-2*l4*ddf4*sin(fi4)-2*l4*dfi4*dfi4*cos(fi4)-
l6*ddf6*sin(fi6)-l6*dfi6*dfi6*cos(fi6);
AT6Y=l2*ddf2*cos(fi2)-l2*dfi2*dfi2*sin(fi2)+l3*ddf3*cos(fi3)-
l3*dfi3*dfi3*sin(fi3)+2*l4*ddf4*cos(fi4)-
2*l4*dfi4*dfi4*sin(fi4)+l6*ddf6*cos(fi6)-l6*dfi6*dfi6*sin(fi6);

FD3X=m3*AT3X;
FD3Y=m3*AT3Y;
FD4X=m4*AT4X;
FD4Y=m4*AT4Y;
FD5X=m5*AT5X;
FD5Y=m5*AT5Y;
FD6X=m5*AT6X;
FD6Y=m5*AT6Y;

MM=[1 0 1 0 1 0 0 0 0 0 0 0 0 0 0 0 0 0 0 0 0 0 0 0;
     0 1 0 1 0 1 0 0 0 0 0 0 0 0 0 0 0 0 0 0 0 0 0 0;
     0 0 -12*sin(q2) -12*cos(q2) 122*sin(q1)
122*cos(q1) 0 0 0 0 0 0 0 0 0 0 0 0 0 0 0 0 0 0 0 0 0;
     0 0 -1 0 0 0 1 0 0 0 0 0 0 0 0 0 0 0 0 0 0 0 0 0;
     0 0 0 -1 0 0 0 1 0 0 0 0 0 0 0 0 0 0 0 0 0 0 0 0;
     0 0 -0.5*l3*sin(fi3) 0.5*l3*cos(fi3) 0 0 0 0 0 0 0 0 0 0 0 0 0 0 0 0 0 0 0 0 0;
0.5*l3*sin(fi3) 0.5*l3*cos(fi3) 0 0 0 0 0 0 0 0 0 0 0 0 0 0 0 0 0 0 0 0 0 0;
     0 0 0 0 0 0 -1 0 1 0 0 1 0 0 0 0 0 0 0 0 0 0 0 0];

```

```

0 0 0 0 0 0 -1 0 1 0 1 0 0 ;  

0 0 0 0 0 0 -0.5*ll14*sin(q3) -0.5*ll14*cos(q3)  

(144-0.5*ll14)*sin(q3) (144-0.5*ll14)*cos(q3)  

ll14*sin(q3) ll14*cos(q3) 0 0 0;  

0 0 0 0 -1 0 0 0 0 0 0 -1 0 0 ;  

0 0 0 0 0 -1 0 0 0 0 0 0 -1 0 0 ;  

0 0 0 0 -0.5*15*sin(q4) -0.5*15*cos(q4) 0 0 0 0 0 0 0 0;  

0 0 0 0 0 0 0 0 0 0 0 0 0 0 0 0 0 0;  

0 0 0 0 0 0 0 0 0 0 0 0 0 0 0 0 0 0;  

0 0 0 0 0 0 0 0 0 0 0 0 0 0 0 0 0 0;  

0.5*ll16*cos(q5) -(16-0.5*ll16)*sin(q5) -(16-  

0.5*ll16)*cos(q5) 0];  

PSF=[0;0;0;-FD3X;G3-FD3Y;M3D;-FD4X;G4-FD4Y;0;-FD5X;G5-FD5Y;-M5D;-  

FD6X;G6-FD6Y;-M6D];  

SILY(i,1:15)=(MM\PSF)';  

ra(i)=sqrt(SILY(i,1)^2+SILY(i,2)^2);  

rb(i)=sqrt(SILY(i,3)^2+SILY(i,4)^2);  

rc(i)=sqrt(SILY(i,5)^2+SILY(i,6)^2);  

rd(i)=sqrt(SILY(i,7)^2+SILY(i,8)^2);  

re(i)=sqrt(SILY(i,9)^2+SILY(i,10)^2);  

rf(i)=sqrt(SILY(i,11)^2+SILY(i,12)^2);  

rg(i)=sqrt(SILY(i,13)^2+SILY(i,14)^2);  

mg(i)=SILY(i,15);  

reakcie=[180*q'/pi;ra;rb;rc;rd;re;rf;rg;mg]';  

plot(q*180/pi,ra,q*180/pi,rb,q*180/pi,rc,q*180/pi,rd,q*180/pi,re,q*180  

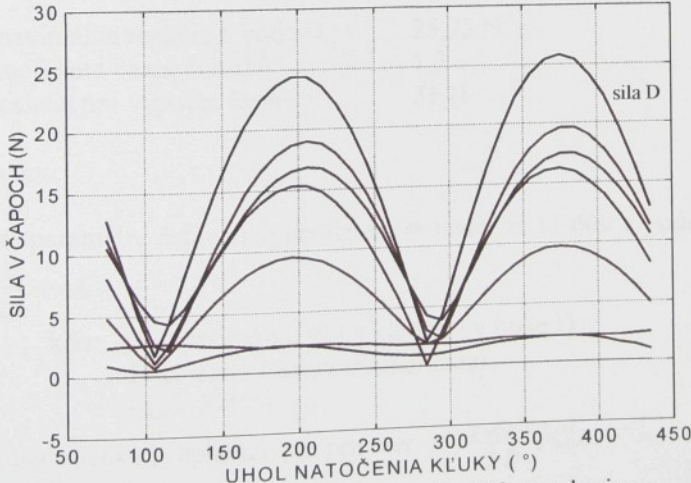
/pi,rf,q*180/pi,rg,q*180/pi,mg),grid  

xlabel('UHOL NATOČENIA KĽUKY ( ° )')  

ylabel('SILA V ČAPOCH (N)')
s(i,1)=q(i,1)*180/pi;
i=i+1;
end
save otto.mat

```

Výsledky, dosiahnuté uvedeným programom, sú numericky uvedené v Tabuľke 15.2 a grafické priebehy reakcií v jednotlivých čapoch na obr. 15.1



Obr. 15.1 Priebehy reakcií v čapoch podávacieho mechanizmu

15.2 Závery z dynamickej analýzy

Z dynamickej analýzy riešeného 6-členného mechanizmu vyplynuli nasledovné závery:

1. Jednotlivé členy sú hmotnými členmi s tiažami G_3 , G_4 , G_5 , G_6 , ktoré vzhľadom na svoju hmotnosť a rotačný, resp. všeobecný pohyb pôsobia na klíby mechanizmu prostredníctvom reakcií a krútiacich momentov M_k .
2. Vplyv dynamických účinkov člena 2 (klúky) vzhľadom na takmer centrický člen s rozmermi $l_2 \rightarrow 0$, $l_{22} \rightarrow 0$ je zanedbaný a vo výpočte sa s ním neuvažuje.
3. Maximálne reakcie v klíboch A, B, C, D, E, F a H sú nasledovné (Tabuľka 15.3)

Tabuľka 15.3 Maximálne reakcie v klíboch mechanizmu

Pootčenie klúky [°]	Sila A [N]	Sila B [N]	Sila C [N]	Sila D [N]	Sila E [N]	Sila F [N]	Sila H [N]
105			2,5581				
375	17,46	19,62		25,75	16,24	9,72	2,22

4. Najväčšia reakcia je zaznamenaná v bode D na člene 3(4) ($D = 25,75 \text{ N}$), najmenšia v bode H na člene 5(6). (Nie je uvažovaná sila od prítláčnej pätky).

Pre výpočet čapu s rovnakými parametrami (priemer d) pre všetky klíby mechanizmu (z dôvodu štandardizácie a jednoduchej výmeny v prípade opotrebovania) bola stanovená :

- maximálna reakcia v bode D $25,75 \text{ N}$
- koeficient bezpečnosti $1,2$
- reakcia pre výpočet čapu 31 N

Výpočet čapu:

Technické parametre čapu sú vypočítané pre materiál 11 600 z podmienky

$$\frac{2.D}{\pi.d^2} \angle \tau_{DOV}.$$

kde: D - maximálna sila v klíboch - v bode D

d - priemer členov mechanizmu

$$\tau_{DOV} = 80 \text{ MPa}$$

Uvedené podmienka je splnená pre priemer $d > \frac{\tau_{DOV} \cdot \pi}{2.D} \cdot 0,21 \cdot 10^{-3} \text{ m}$.

Volba parametrov čapu:

priemer čapu:

$$d_c = 3 \text{ mm}$$

dĺžka čapu

$$l_c = 12 \text{ mm}$$

Uvedený údaj je východiskový pre konštrukčné riešenie jednotlivých kľbov. Konštrukčné riešenie nie je predmetom tejto práce.

5. Pre prenos pohybu bol stanovený pre všetky kľby Čap 3 x 12, STN 02 20 12.
6. Hmotnosť čapu $0,793 \cdot 10^{-3} \text{ kg}$ nebude mať podstatný vplyv na zmenu kinematických ani dynamických parametrov mechanizmu.
7. Rozmery mechanizmu ako i jeho jednotlivých členov sú akceptovateľné vzhládom na priestorové dispozície šijacích strojov.
8. Výpočet parametrov na vzper a ohyb u jednotlivých členov mechanizmu neboli sledovaný vzhládom na relatívne malé rozmery a vykonávané pohyby.

16.0 Celkový záver k výsledkom práce

16.1 Zhrnutie výsledkov práce

Vecná náplň habilitačnej práce je orientovaná na stanovenie optimálnych parametrov zvoleného šestčlenného mechanizmu spodného podávania šijacieho stroja.

Vnútorná štruktúra práce bola zvolená tak, aby prehľadne v prvej časti bolo uvedené :

- problematika spodného podávania u šijacích strojov,
- charakter a spôsob práce mechanizmu a stanovenie kinematických veličín bodu záujmu mechanizmu,
- metódy pre analytické riešenie kinematických veličín,
- metódy dynamického riešenia mechanizmu vzhládom na komplexnejšie riešenie zvolenej problematiky.

V Kapitole 7.0 je predmetný mechanizmus riešený a v Kapitole 9.0 sú zhrnuté výsledky analytického riešenia, získané programom MATLAB. Dosiahnuté výsledky v Kapitole 9.0 pri vopred zvolených vstupných parametroch mechanizmu poukázali na to, že :

- tvar dráhy bodu záujmu má ostrý prechod, čo negatívne môže vplyvať na pracovný chod mechanizmu,

- grafické priebehy rýchlosťí a zrýchlení bodu záujmu nie sú harmonické krivky, z čoho možno usudzovať, že bod záujmu hlavne v pracovnej polohe nad stehovou doštičkou nebude zabezpečovať technológiou požadovaný plynulý posun šitého materiálu.

Nadväzne na získané prvotné závery riešenia bolo následne pristúpené k analýze chovania sa mechanizmu a najmä vplyvu veľkosti jeho členov na tvar dráhy, priebehy rýchlosťí a zrýchlení bodu záujmu.

Pri stanovení ohraničujúcich podmienok, vyplývajúcich z technológie šitia, bola vykonaná analyticky optimalizácia parametrov niektorých členov (majúcich podstatný vplyv na požadované parametre) vhodnou metódou - metódou pomerného hľadania. Program cykloval a menil dĺžky členov l_2 , l_{22} a uhol γ navzájom v rozsahu takom, aby boli splnené vopred stanovené okrajové podmienky. Výsledky boli overené a potvrdené i metódou "Monte Carlo". Analyticky získané údaje o parametroch dráhy ako i dĺžkové a priestorové parametre mechanizmu sú akceptovateľné z konštrukčného i technologického hľadiska šitia pre použitie v jednoihlových šijacích strojoch.

V ďalších samostatných častiach bol optimalizovaný mechanizmus riešený i z dynamického hľadiska a z pohľadu vynúteného kmitania sústavy bod- prítačná pätká. Z tohto riešenia boli stanovené východiská pre ďalšie - konštrukčné riešenie (nebolo náplňou tejto práce).

16.2 Závery pre prax

Práca mechanizmov spodného podávania, ale i ďalších mechanizmov u šijacích strojov nie je hlavne z pohľadu rozsahu a veľkosti kinematických a dynamických účinkov verejne publikovaná. Preto i tieto parametre nie sú bežne dostupné užívateľom šijacej techniky. Výsledky, získané touto prácou, sú z pohľadu praktického využitia prínosom pre prax. Jedná sa najmä o :

- získanie predstavy o kinematických a dynamických parametroch mechanizmu spodného podávania a podmienkach, za ktorých je mechanizmus schopný pracovať a o aspektoch, ktoré môžu negatívne vplyvať na chod mechanizmu,
- vypracované programy pre výpočet technických parametrov, ktoré je možné využiť pri riešení iných mechanizmov - pri zmene vstupných údajov. Programy je možné použiť na bežne dostupnej výpočtovej technike,

- vyriešený mechanizmus pri vhodnej zmene technických parametrov je možné využiť u niektorých typov šijacích strojov, nadväzne na priestorové, konštrukčné a iné požiadavky vytypovaného šijacieho stroja,
- nakoľko bod záujmu vykonáva posuvný pohyb, je možné riešený typ mechanizmu využiť i v iných zariadeniach, kde sa požaduje posun materiálu alebo predmetov. Dĺžka posunu a ďalšie parametre je možné získať použitím v práci uvedených programov - pri zmene vstupných veličín.

Na základe celkového zhodnotenia dosiahnutých výsledkov v práci ako i na základe konzultácií k výsledkom práce s odborníkmi, ktorí sa v praxi profesijne zaoberajú šijacou technikou, možno konštatovať, že práca splnila svoj cieľ a jej výsledky sú využiteľné a aplikovateľné v praxi.

Zoznam použitej literatúry

- [1] Artobolevskij I.I.: Teoria mechanismov i mašin, Nauka, Moskva, 1975
- [2] Balažovjech a kol.: Teoretická mechanika v príkladoch, ALFA, Bratislava, 1976
- [3] Barborák O.: Kinematika - úvod do riešenia rovinných mechanizmov, Trenčianska univerzita, Trenčín, 2000
- [4] Bartsch H.J.: Matematické vzorce, SNTL, Praha, 1983
- [5] Binder R.: Mechanika 1-4, SVTL, Bratislava, 1967
- [6] Bolek A. a kol.: Časti strojů 1 a2, SNTL, Praha, 1989
- [7] Bradský Z., Jáč V.: Mechanika II - Kinematika, skriptá VŠST, Liberec, 1986
- [8] Brát V.: Maricové metody v analýze a syntéze prostorových vázaných mechanických systémov, Strojírenský časopis 1971/1
- [9] Brát V.: Příspěvek k automatizaci obecných výpočtů v teorii mechanismů, Sborník II. konference o teorii strojů a mechanismů, Liberec, 1976
- [10] Brát V.: Příručka kinematiky s příklady, SNTL, Praha, 1976
- [11] Brát V.: Výjimečné a zvláštní případy mechanismů, Strojírenství 1973/8
- [12] Brát V.; Brousil J.: Dynamika, SNTL, Praha, 1987
- [13] Brepta R.: Sbírka příkladu z kinematiky, SNTL, Praha, 1957
- [14] Brousil J. a kol.: Dynamika, SNTL, Praha, 1989
- [15] Černoch S. a kol.: Strojně technická příručka, SNTL, Praha, 1977
- [16] Dobrovolný B.: Technická mechanika, Práce, Praha, 1946
- [17] Dressing H., Vulfson J.: Dynamik der Maschinen, VEB Verlag Wiessenschaften, Berlin, 1988
- [18] Duhár A., Rehuš M.: Kinematika - návody na cvičenia, ALFA, Bratislava, 1988
- [19] Dudáš V. a kol.: Pokroky vedy a techniky v textilním průmyslu - Oděvnictví, SNTL, Praha, 1981
- [20] Fiedler M.: Speciální matice a jejich použití v numerické matematice, Technická knihovna inzenýra, Praha, 1981
- [21] Glézl Š., Kamarád J., Slimák I.: Presná mechanika, ALFA, Bratislava, 1992
- [22] Gonda J.: Základy dynamiky strojov, ALFA, Bratislava, 1969
- [23] Gonda J.: Dynamika pre inžinierov, Vydatateľstvo Slovenskej akadémie vied, Bratislava, 1972
- [24] Haas V.: Oděvní stroje a zařízení I,II, Informatórium, Praha, 2000
- [25] Hořejší J.: Sbírka úloh z dynamiky, Nadas, Praha, 1967
- [26] Charvát J.: Kinematika se základy teorie mechanizmů, VŠST, Liberec, 1974

- [27] Charvát J.: Ke geometrické přesnosti mechanismů, Sborník III. konference o teorii strojů a mechanismů, Liberec, 1980
- [28] Charvát J.: Mechanika I,II, VŠST, Liberec, 1982
- [29] Charvát J.: Teorie mechanismů - vybrané části, VŠST, Liberec, 1980
- [30] Chudý J.: Determinanty a matice, SNTL, Praha, 1974
- [31] Jác V.: Dynamická analýza mechanismů s pružnými členy, Sborník III. konference o teorii strojů a mechanismů, Liberec, 1980
- [32] Jelínek M.: Matice, Slovenské pedagogické nakladatelstvo, Bratislava, 1979
- [33] Janičina J., Pekárek F.: Mechanika II - Kinematika, SNTL, Bratislava, 1987
- [34] Juliš K., Brepta R. a kol.: Mechanika I. díl, Statika a kinematika, SNTL, Praha, 1986
- [35] Juliš K., Brepta R. a kol.: Mechanika II. díl, Dynamika, SNTL, Praha, 1987
- [36] Kaukič M.: Numerická analýza I., MC Energy, Žilina, 1998
- [37] Kolektív autorov VŠST Liberec : Textilní a oděvní stroje II., skriptá VŠST, Liberec, 1991
- [38] Koloc Z., Václavík M.: Vačkové mechanismy, SNTL, Praha, 1988
- [39] Kareis B., Kareisová E, Kareis B.: Stroje a zariadenia v textilnom priemysle, Alfa, Bratislava, 1988
- [40] Kožešník J.: Dynamika strojů, SNTL, Praha, 1958
- [41] Koževník S.N., Jesipenko J.I., Raskin J.M.: Mechanizmy, SNTL, Bratislava, 1960
- [42] Kunz A., Wanner J., Vencálek F.: Mechanika III, SVTL, Bratislava, 1956
- [43] Lederer P.: Kinematická optimalizace kloubových mechanismů, skriptá ČVUT, Praha, 1975
- [44] Lederer P.: Příklady z kinematiky, Skriptá ČVUT, Praha, 1987
- [45] Lederer P.: Teorie a optimalizace mechanických systémů I, II, Skriptá ČVUT, Praha, 1989
- [46] Markus L.: Multikriteriálna optimalizácia mechanizmov, Sborník III. konference o teorii mechanismů, Liberec, 1980
- [47] Medvec A. a kol.: Dynamika, Alfa, Bratislava, 1988
- [48] Motejl V. : Stroje a zařízení v oděvní výrobě, STNL, Praha, 1984
- [49] Motejl V., Tepřík O. : Šicí stroje v oděvní výrobě, STNL, Praha, 1973
- [50] Novák V., ZítekP.: Praktické metody simulace dynamických systémů, SNTL, Praha, 1982
- [51] Petru K.: Zdvihové závislosti vačkových mechanismů, SNTL, Praha, 1980
- [52] Plaček B.: Příspěvek k řešení pohybových rovnic dynamických diskrétních vázaných systémů, Sborník V. konference o teorii strojů a mechanismů, Liberec, 1988

- [53] Salva V.I.: Dynamika v príkladoch, SVTL, Bratislava, 1956
- [54] Stejskal V.: Kmitání v konstrukci strojů, ČSVTS, Praha, 1983
- [55] Stejskal V., Valášek : Metoda kompartmentu v dynamice rovinnych mechanismů, Skriptá ČVUT, Praha, 1983
- [56] Stradiot J. a kol.: Dynamika strojov, ALFA, Bratislava, 1991
- [57] Šrejtr J.: Technická mechanika II - Kinematika, SNTL, Praha, 1955
- [58] Šrejtr J.: Technická mechanika III - Dynamika, SNTL, Praha, 1958
- [59] Šrejtr J.: Kinematické základy teorie mechanismů, Skriptá ČVUT, Praha, 1963
- [60] Strya J.: Konstrukce a technologie výroby průmyslových šicích strojů II, Boskovica, 1970
- [61] Turek I., Skala O., Haluška J.: Mechanika, SNTL, Praha, 1982
- [62] Viteček A.: Optimalizace systémů - dynamická optimalizace, Skriptá VŠB, Ostrava, 1992
- [63] Zítek P.: Simulace dynamických systémů, SNTL, Praha, 1990
- [64] Žmíndák M., Sága M., Tvaružek J., Husár Š.: Optimalizácia mechanických sústav, Žilinská univerzita, Žilina, 2000

Prílohy habilitačnej práce

ku Kapitole 8.0

ku Kapitole 11.0

Program teoretického riešenie mechanizmu :

```
%Hlavný program
clear all
12=13; %definovanie
122=9; %konštánt
13=60;
14=42;
144=21;
15=57;
16=48;
166=16.5;
17=36;
18=56;
gama=100*pi/180;
fi3=2.5*pi/180; %počiatocné hodnoty
fi6=178.5*pi/180;
fi5=276*pi/180;
fi4=105*pi/180;
x=[fi3;fi4;fi5;fi6];
n=72; %pocet polôh
alfa=0; %uhlove zrychlenie
omega=261.8; %uhlova rychlosť
q0=75*pi/180;
tk=(2*pi)/omega;
i=1;

for t=0:tk/n:tk
    q(i,1)=q0+omega*t+(alfa*t^2)/2;
    options=optimset('fsolve');
    x=fsolve('rovnice1',x,options,q(i));
    p(i,1:4)=x';
    fi3=p(i,1);
    fi4=p(i,2);
    fi5=p(i,3);
    fi6=p(i,4);
    M=[-13*sin(fi3) -144*sin(fi4) 0 0;
        13*cos(fi3) 144*cos(fi4) 0 0;
        -13*sin(fi3) -14*sin(fi4) -15*sin(fi5) -16*sin(fi6);
        13*cos(fi3) 14*cos(fi4) 15*cos(fi5) 16*cos(fi6)];
    %prava strana maticy rychlosťi
    PSV=[ 12*(omega+alfa*t)*sin(q(i));
          -12*(omega+alfa*t)*cos(q(i));
          12*(omega+alfa*t)*sin(q(i))+122*(omega+alfa*t)*sin(q(i)+gama);
          -12*(omega+alfa*t)*cos(q(i))-122*(omega+alfa*t)*cos(q(i)+gama)];
    V(i,1:4)=(M\PSV)';

    %prava strana matica zrychlenia
    PSA=[12*alfa*sin(q(i))+12*((omega+alfa*t)^2)*cos(q(i))+
         13*(V(i,1)^2)*cos(fi3)+144*(V(i,2)^2)*cos(fi4);

         -12*alfa*cos(q(i))+12*((omega+alfa*t)^2)*sin(q(i))+
         13*(V(i,1)^2)*sin(fi3)+144*(V(i,2)^2)*sin(fi4);

         12*alfa*sin(q(i))+12*((omega+alfa*t)^2)*cos(q(i))+
         13*(V(i,1)^2)*cos(fi3)+14*(V(i,2)^2)*cos(fi4)+

         15*(V(i,3)^2)*cos(fi5)+16*(V(i,4)^2)*cos(fi6)+

         122*alfa*sin(q(i)+gama)+122*((omega+alfa*t)^2)*cos(q(i)+gama);

         -12*alfa*cos(q(i))+12*((omega+alfa*t)^2)*sin(q(i))+
         13*(V(i,1)^2)*sin(fi3)+14*(V(i,2)^2)*sin(fi4)+

         15*(V(i,3)^2)*sin(fi5)+16*(V(i,4)^2)*sin(fi6)-

         15*(V(i,3)^2)*sin(fi5)+16*(V(i,4)^2)*sin(fi6)-
         122*alfa*cos(q(i)+gama)+122*((omega+alfa*t)^2)*sin(q(i)+gama)];

    A(i,1:4)=(M\PSA)';
```

```

%poloha bodu Z
XA(i,1)=12*cos(q(i))+13*cos(fi3)+14*cos(fi4)+(16+166)*cos(fi6);
YA(i,1)=12*sin(q(i))+13*sin(fi3)+14*sin(fi4)+(16+166)*sin(fi6);
RA(i,1)=sqrt((XA(i,1)^2)+(YA(i,1)^2));

%rychlosť bodu Z
VXA(i,1)=-12*(omega+alfa*t)*sin(q(i))-13*V(i,1)*sin(fi3)-
    14*V(i,2)*sin(fi4)-(16+166)*V(i,4)*sin(fi6);
VYA(i,1)=12*(omega+alfa*t)*cos(q(i))+13*V(i,1)*cos(fi3)-
    14*V(i,2)*cos(fi4)+(16+166)*V(i,4)*cos(fi6);
VA(i,1)=sqrt((VXA(i,1)^2)+(VYA(i,1)^2));

%zrychlenie bodu Z
AXA(i,1)=-12*alfa*sin(q(i))-12*((omega+alfa*t)^2)*cos(q(i))-
    13*A(i,1)*sin(fi3)-13*(V(i,1)^2)*cos(fi3)-
    14*A(i,2)*sin(fi4)-14*(V(i,2)^2)*cos(fi4)-
    (16+166)*A(i,4)*sin(fi6)-(16+166)*(V(i,4)^2)*cos(fi6);
AYA(i,1)= 12*alfa*cos(q(i))-12*((omega+alfa*t)^2)*sin(q(i))+
    13*A(i,1)*cos(fi3)-13*(V(i,1)^2)*sin(fi3)+14*A(i,2)*cos(fi4)-
    14*(V(i,2)^2)*sin(fi4)+(16+166)*A(i,4)*cos(fi6)-
    (16+166)*(V(i,4)^2)*sin(fi6);
AA(i,1)=sqrt((AXA(i,1)^2)+(AYA(i,1)^2));
s(i,1)=q(i,1)*180/pi;      %prepocet radianov na stupne
i=i+1;
end
save otto.mat
function x=rovnice1(neznama,q) % výpočet transcendentálnych
                                % rovníc polohy
                                %konstanty
12=13;
122=9;
13=60;
14=42;
144=21;
15=57;
16=48;
166=16.5;
17=36;
18=56;
gama=100*pi/180;
fi3=neznama(1);
fi4=neznama(2);
fi5=neznama(3);
fi6=neznama(4);
x=zeros(4,1);
x(1)=12*cos(q)+13*cos(fi3)+144*cos(fi4)-18;
x(2)=12*sin(q)+13*sin(fi3)+144*sin(fi4)-17;
x(3)=12*cos(q)+13*cos(fi3)+14*cos(fi4)+15*cos(fi5)+16*cos(fi6)-
    122*cos(q+gama);
x(4)=12*sin(q)+13*sin(fi3)+14*sin(fi4)+15*sin(fi5)+16*sin(fi6)-
    122*sin(q+gama);

%ANIMACIA
clear all
load otto.mat
clf

for i=1:n+1
    axis on
    B(i,1)=12*cos(q(i));           %definovanie bodov mechanizmu%
    B(i,2)=12*sin(q(i));
    C(i,1)=-122*cos(q(i)+gama);
    C(i,2)=-122*sin(q(i)+gama);
    D(i,1)=B(i,1)+13*cos(p(i,1));
    D(i,2)=B(i,2)+13*sin(p(i,1));

```

```

E(i,1)=D(i,1)+14*cos(p(i,1));
E(i,2)=D(i,2)+14*sin(p(i,2));
F(i,1)=E(i,1)+16*cos(p(i,4));
F(i,2)=E(i,2)+16*sin(p(i,4));
Z(i,1)=F(i,1)+166*cos(p(i,4));
Z(i,2)=F(i,2)+166*sin(p(i,4));
M(i,1)=D(i,1)+144*cos(p(i,2));
M(i,2)=D(i,2)+144*sin(p(i,2));
plot([0,B(i,1),D(i,1),E(i,1),F(i,1),      %vykreslenie mechanizmu
      Z(i,1)], [0,B(i,2),D(i,2),E(i,2),F(i,2), Z(i,2)],
      'k',[F(i,1),C(i,1),0],[F(i,2),C(i,2),0], 'k',0,0,'r+',M(i,1),M(i,2),
      'r+',B(i,1),B(i,2),'ro',C(i,1),C(i,2),'ro',F(i,1),F(i,2),'ro',
      D(i,1),D(i,2),'ro',E(i,1),E(i,2),'ro')
text( Z(i,1), Z(i,2)+5, ' Z')

line( Z(:,1), Z(:,2))      %vykreslenie dráhy bodu Z

title('MECHANIZMUS SPODNEHO PODAVANIA')
xlabel('Os x: -50 az 100 mm')
ylabel('Os y: -50 az 100 mm')
axis([-50 100 -50 100])
% pause(0.5)
i=i+1;
end

```

Tabuľka 1 Kinematické veličiny bodu záujmu podávacieho mechanizmu pri otáčkach 2500 min⁻¹

Počet krokov	Uhol natočenia ϕ_2 [°]	Poloha bodu záujmu [mm]	Rýchlosť bodu záujmu [mm s ⁻¹]	Zrýchlenie bodu záujmu [mm s ⁻²]
1	75,00	57,78	4589,34	0,5016
2	80,00	58,58	4718,59	0,3699
3	85,00	59,41	4793,41	0,2834
4	90,00	60,25	4814,58	0,2895
5	95,00	61,10	4783,84	0,3796
6	100,00	61,93	4704,02	0,5045
7	105,00	62,74	4578,71	0,6369
8	110,00	63,51	4412,60	0,7657
9	115,00	64,22	4211,18	0,8856
10	120,00	64,86	3981,02	0,9934
11	125,00	65,42	3729,87	1,0871
12	130,00	65,88	3466,82	1,1653
13	135,00	66,25	3202,45	1,2272
14	140,00	66,50	2949,13	1,2722
15	145,00	66,64	2720,87	1,3003
16	150,00	66,66	2532,56	1,3118
17	155,00	66,55	2397,92	1,3076
18	160,00	66,33	2326,57	1,2887
19	165,00	65,98	2320,19	1,2566
20	170,00	65,52	2370,96	1,2136
21	175,00	64,95	2464,01	1,1632
22	180,00	64,28	2581,32	1,1113
23	185,00	63,51	2704,52	1,0676
24	190,00	62,66	2818,86	1,0468
25	195,00	61,74	2913,19	1,0661
26	200,00	60,77	2983,47	1,1322
27	205,00	59,77	3034,13	1,2254
28	210,00	58,75	3078,00	1,2998
29	215,00	57,75	3128,99	1,3109
30	220,00	56,77	3193,75	1,2462
31	225,00	55,83	3268,19	1,1288
32	230,00	54,95	3344,13	0,9966
33	235,00	54,12	3415,38	0,8756
34	240,00	53,37	3479,44	0,7741
35	245,00	52,68	3536,64	0,6897
36	250,00	52,05	3588,05	0,6161
37	255,00	51,50	3634,02	0,5479
38	260,00	51,03	3674,19	0,4809
39	265,00	50,62	3706,91	0,4141
40	270,00	50,27	3729,91	0,3481
41	275,00	49,99	3740,57	0,2864
42	280,00	49,78	3736,24	0,2358
43	285,00	49,62	3714,50	0,2075
44	290,00	49,51	3673,32	0,2117
45	295,00	49,45	3611,23	0,2462
46	300,00	49,43	3527,19	0,2994
47	305,00	49,45	3420,62	0,3615
48	310,00	49,50	3291,42	0,4269
49	315,00	49,58	3139,93	0,4928
50	320,00	49,69	2966,79	0,5575
51	325,00	49,81	2773,04	0,6202
52	330,00	49,96	2560,08	0,6802
53	335,00	50,12	2329,78	0,7373
54	340,00	50,30	2084,51	0,7913
55	345,00	50,49	1827,56	0,8421
56	350,00	50,69	1563,81	0,8902
57	355,00	50,90	1301,37	0,9358
58	360,00	51,12	1055,92	0,9797
59	365,00	51,35	859,93	1,0224
60	370,00	51,60	772,31	1,0644
61	375,00	51,86	845,83	1,1054
62	380,00	52,14	1061,08	1,1441
63	385,00	52,45	1362,00	1,1779
64	390,00	52,78	1710,01	1,2027
65	395,00	53,14	2083,47	1,2133
66	400,00	53,54	2468,25	1,2044
67	405,00	53,99	2852,49	1,1716
68	410,00	54,49	3225,23	1,1123
69	415,00	55,04	3575,93	1,0265
70	420,00	55,64	3895,00	0,9166
71	425,00	56,30	4174,29	0,7876
72	430,00	57,02	4407,29	0,6461
73	435,00	57,78	4589,63	0,5017

Tabuľka 2 Kinematické veličiny bodu záujmu podávacieho mechanizmu pri otáčkach 3500 min^{-1}

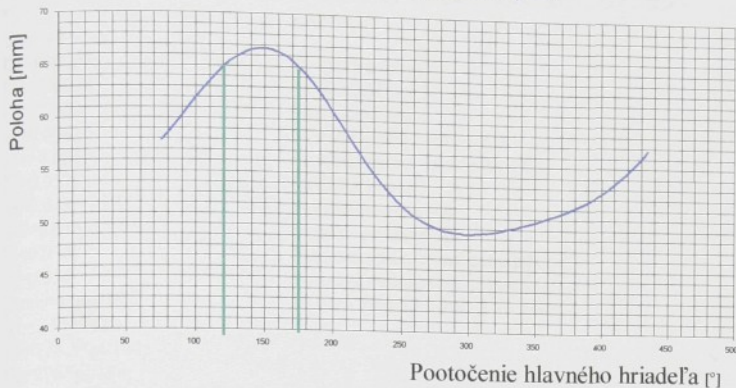
Počet krokov	Uhol natočenia $\varphi_2 [^{\circ}]$	Poloha bodu záujmu mm	Rýchlosť bodu záujmu mms ⁻¹	Zrýchlenie bodu záujmu mms ⁻²
1	75,00	57,78	6425,05	0,9831
2	80,00	58,58	6605,67	0,7248
3	85,00	59,41	6710,41	0,5554
4	90,00	60,25	6740,04	0,5673
5	95,00	61,10	6697,01	0,7440
6	100,00	61,93	6585,27	0,9886
7	105,00	62,74	6409,85	1,2481
8	110,00	63,51	6177,30	1,5006
9	115,00	64,22	5895,33	1,7355
10	120,00	64,86	5573,12	1,9468
11	125,00	65,42	5221,53	2,1305
12	130,00	65,88	4853,29	2,2838
13	135,00	66,25	4483,19	2,4050
14	140,00	66,50	4128,56	2,4932
15	145,00	66,64	3809,01	2,5483
16	150,00	66,66	3545,39	2,5709
17	155,00	66,55	3356,90	2,5626
18	160,00	66,33	3257,02	2,5255
19	165,00	65,98	3248,08	2,4626
20	170,00	65,52	3519,17	2,3784
21	175,00	64,95	3449,42	2,2797
22	180,00	64,28	3613,65	2,1780
23	185,00	63,51	3786,12	2,0922
24	190,00	62,66	3946,18	2,0515
25	195,00	61,74	4078,25	2,0893
26	200,00	60,77	4176,63	2,2189
27	205,00	59,77	4247,54	2,4015
28	210,00	58,75	4308,96	2,5473
29	215,00	57,75	4380,35	2,5690
30	220,00	56,77	4471,00	2,4423
31	225,00	55,83	4575,22	2,2121
32	230,00	54,95	4681,53	1,9532
33	235,00	54,12	4781,28	1,7160
34	240,00	53,37	4870,96	1,5170
35	245,00	52,68	4951,02	1,3516
36	250,00	52,05	5023,00	1,2075
37	255,00	51,50	5087,34	1,0737
38	260,00	51,03	5145,34	0,9426
39	265,00	50,62	5189,40	0,8116
40	270,00	50,27	5221,59	0,6823
41	275,00	49,99	5236,51	0,5613
42	280,00	49,78	5230,45	0,4621
43	285,00	49,62	5200,01	0,4066
44	290,00	49,51	5142,37	0,4148
45	295,00	49,45	5055,45	0,4825
46	300,00	49,43	4937,79	0,5867
47	305,00	49,45	4788,60	0,7084
48	310,00	49,50	4607,74	0,8367
49	315,00	49,58	4395,67	0,9657
50	320,00	49,69	4153,28	1,0926
51	325,00	49,81	3882,04	1,2154
52	330,00	49,96	3583,91	1,3331
53	335,00	50,12	3261,51	1,4449
54	340,00	50,30	2918,15	1,5507
55	345,00	50,49	2558,45	1,6504
56	350,00	50,69	2189,21	1,7446
57	355,00	50,90	1821,82	1,8340
58	360,00	51,12	1478,21	1,9200
59	365,00	51,35	1203,84	2,0037
60	370,00	51,60	1081,18	2,0860
61	375,00	51,86	1184,10	2,1663
62	380,00	52,14	1485,43	2,2422
63	385,00	52,45	1906,70	2,3085
64	390,00	52,78	2393,88	2,3570
65	395,00	53,14	2916,70	2,3777
66	400,00	53,54	3455,37	2,3603
67	405,00	53,99	3993,27	2,2960
68	410,00	54,49	4515,07	2,1799
69	415,00	55,04	5006,02	2,0117
70	420,00	55,64	5452,71	1,7964
71	425,00	56,30	5843,68	1,5435
72	430,00	57,02	6169,87	1,2663
73	435,00	57,78	6425,13	0,9831

Tabuľka 3 Kinematické veličiny bodu záujmu podávacacieho mechanizmu pri otáčkach 4500 min⁻¹

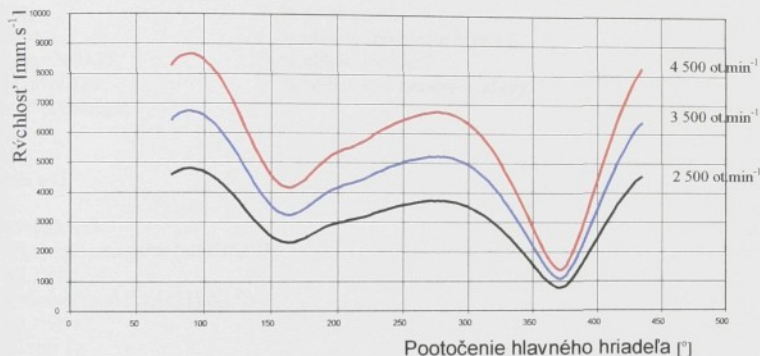
Počet krokov	Uhol natočenia φ_2 [°]	Poloha bodu záujmu [mm]	Rýchlosť bodu záujmu [mm s ⁻¹]	Zrýchlenie bodu záujmu [mm s ⁻²]
1	75,00	57,78	8260,53	1,6250
2	80,00	58,58	8492,75	1,1981
3	85,00	59,41	8627,40	0,9181
4	90,00	60,25	8665,50	0,9378
5	95,00	61,10	8610,18	1,2298
6	100,00	61,93	8466,52	1,6342
7	105,00	62,74	8240,99	2,0631
8	110,00	63,51	7942,00	2,4804
9	115,00	64,22	7579,48	2,8687
10	120,00	64,86	7165,22	3,2181
11	125,00	65,42	6713,19	3,5217
12	130,00	65,88	6239,75	3,7751
13	135,00	66,25	5763,93	3,9754
14	140,00	66,50	5307,98	4,1211
15	145,00	66,64	4897,15	4,2122
16	150,00	66,66	4558,22	4,2497
17	155,00	66,55	4315,89	4,2359
18	160,00	66,33	4187,47	4,1745
19	165,00	65,98	4175,98	4,0706
20	170,00	65,52	4267,37	3,9313
21	175,00	64,95	4434,83	3,7683
22	180,00	64,28	4645,98	3,6001
23	185,00	63,51	4867,73	3,4583
24	190,00	62,66	5073,51	3,3911
25	195,00	61,74	5243,30	3,4536
26	200,00	60,77	5369,78	3,6678
27	205,00	59,77	5460,96	3,9696
28	210,00	58,75	5539,93	4,2106
29	215,00	57,75	5631,71	4,2465
30	220,00	56,77	5748,26	4,0370
31	225,00	55,83	5882,25	3,6565
32	230,00	54,95	6018,93	3,2286
33	235,00	54,12	6147,17	2,8365
34	240,00	53,37	6262,47	2,5076
35	245,00	52,68	6365,41	2,2341
36	250,00	52,05	6457,95	1,9960
37	255,00	51,50	6540,67	1,7748
38	260,00	51,03	6612,95	1,5580
39	265,00	50,62	6671,88	1,3415
40	270,00	50,27	6713,27	1,1278
41	275,00	49,99	6732,46	0,9278
42	280,00	49,78	6724,66	0,7639
43	285,00	49,62	6685,53	0,6721
44	290,00	49,51	6611,42	0,6857
45	295,00	49,45	6499,67	0,7975
46	300,00	49,43	6348,40	0,9699
47	305,00	49,45	6156,59	1,1710
48	310,00	49,50	5924,05	1,3830
49	315,00	49,58	5651,40	1,5963
50	320,00	49,69	5339,77	1,8060
51	325,00	49,81	4991,04	2,0090
52	330,00	49,96	4607,75	2,2035
53	335,00	50,12	4193,25	2,3884
54	340,00	50,30	3751,79	2,5633
55	345,00	50,49	3289,33	2,7281
56	350,00	50,69	2814,62	2,8837
57	355,00	50,90	2342,27	3,0316
58	360,00	51,12	1900,49	3,1736
59	365,00	51,35	1547,74	3,3121
60	370,00	51,60	1390,05	3,4481
61	375,00	51,86	1522,37	3,5809
62	380,00	52,14	1909,78	3,7063
63	385,00	52,45	2451,39	3,8158
64	390,00	52,78	3077,75	3,8960
65	395,00	53,14	3749,93	3,9303
66	400,00	53,54	4442,48	3,9015
67	405,00	53,99	5134,05	3,7952
68	410,00	54,49	5804,92	3,6032
69	415,00	55,04	6436,12	3,3253
70	420,00	55,64	7010,41	2,9694
71	425,00	56,30	7513,08	2,5514
72	430,00	57,02	7932,45	2,0931
73	435,00	57,78	8260,63	1,6251

Príloha č. 5 ku kapitole 8.0

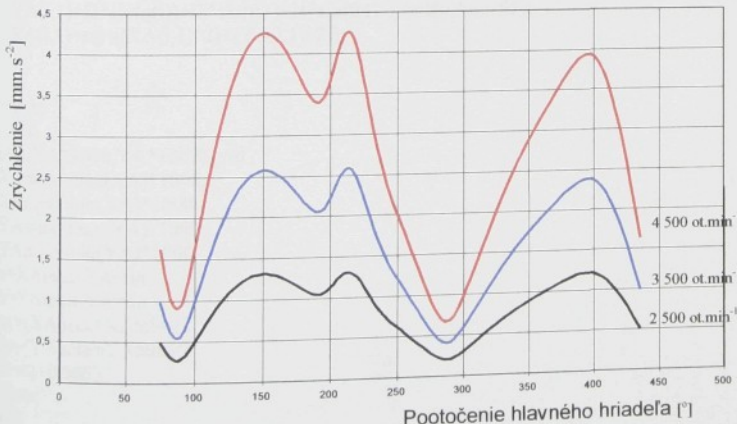
Graf 1 Dráha bodu záujmu



Graf 2 Rýchlosť bodu záujmu



Graf 3 Zrýchlenie bodu záujmu



Príručka c. 1 ku Kapitole 11.0

%
%
%
clear all
l2=0.00205; % dĺžka kľuky 2
l22=0.0008; % dĺžka kľuky 22
l3=0.060; % dĺžka tiahla 3
l4=0.046; % dĺžka prvej časti páky 4
l44=0.021; % dĺžka druhej časti páky 44
l5=0.057; % dĺžka tiahla 5
l6=0.048; % páka podávača 6
l66=0.0165; % páka podávača 66
l7=0.036; % y-ová vzdialenosť čapu páky 4
l8=0.056; % x-ová vzdialenosť čapu páky 4
gama=4*pi/180; % uhol medzi kľukou 2 a kľukou 22
fi3=2.5*pi/180;
fi6=178.5*pi/180;
fi5=276*pi/180;
fi4=105*pi/180;
l2=0.0015
x=[fi3;fi4;fi5;fi6] % vektor závislých premenných
n=36; % pocet polôh
alfa=0; % uhlové zrýchlenie kľuky 2
omega=360+75; % uhlová rýchlosť
q0=75*pi/180; % počiatocné natočenie kľuky 2
tk=(2*pi)/omega;
i=1;
a=0;
while a<5

for t=0:tk/n:tk
q(i,1)=q0+omega*t+(alfa*t^2)/2;
q(i,2)=l2;
x=fsolve('rovn1',x,[1],[],q(i,:));
p(i,1:4)=x';
fi3=p(i,1);
fi4=p(i,2);
fi5=p(i,3);
fi6=p(i,4);
% poloha bodu A
XA(i,1)=l2*cos(q(i))+l3*cos(fi3)+l4*cos(fi4)+(l6+l66)*cos(fi6);
YA(i,1)=l2*sin(q(i))+l3*sin(fi3)+l4*sin(fi4)+(l6+l66)*sin(fi6);
RA(i,1)=sqrt((XA(i,1)^2)+(YA(i,1)^2));

i=i+1;
end
plot(XA*1000,YA*1000),grid
XAmax=max(XA)*1000;
XAmin=min(XA)*1000;
YAmax=max(YA)*1000;
YAmin=min(YA)*1000;
a=XAmaz-XAmin
b=YAmaz-YAmin
sx=(XAmaz+XAmin)/2
sy=(YAmaz+YAmin)/2
l2=l2+0.0003
pause
end
save zl2.mat

```

% Zmena L2
function x=rovn1(neznama,q)
l2= q(2); % dĺžka kľuky 2
l22=0.0008; % dĺžka kľuky 22
l3=0.060; % dĺžka tiahla 3
l4=0.046; % dĺžka prvej časti páky 4
l44=0.021; % dĺžka druhej časti páky 44
l5=0.057; % dĺžka tiahla 5
l6=0.048; % páka podávača 6
l66=0.0165; % páka podávača 66
l7=0.036; % y-ová vzdialenosť čapu páky 4
l8=0.056; % x-ová vzdialenosť čapu páky 4
gama=4*pi/180;
fi3=neznama(1);
fi4=neznama(2);
fi5=neznama(3);
fi6=neznama(4);
x=zeros(4,1);
x(1)=l2*cos(q(1))+l3*cos(fi3)+l44*cos(fi4)-l8;
x(2)=l2*sin(q(1))+l3*sin(fi3)+l44*sin(fi4)-l7;
x(3)=l2*cos(q(1))+l3*cos(fi3)+l4*cos(fi4)+l5*cos(fi5)+l6*cos(fi6)+l22*cos(q(1)+gama);
x(4)=l2*sin(q(1))+l3*sin(fi3)+l4*sin(fi4)+l5*sin(fi5)+l6*sin(fi6)+l22*sin(q(1)+gama);

```

```
%  
%  
%  
clear all  
l2=0.00205; % dĺžka kľuky 2  
l22=0.0008; % dĺžka kľuky 22  
l3=0.060; % dĺžka tiahla 3  
l4=0.046; % dĺžka prvej časti páky 4  
l44=0.021; % dĺžka druhej časti páky 44  
l5=0.057; % dĺžka tiahla 5  
l6=0.048; % páka podávača 6  
l66=0.0165; % páka podávača 66  
l7=0.036; % y-ová vzdialenosť čapu páky 4  
l8=0.056; % x-ová vzdialenosť čapu páky 4  
gama=4*pi/180; % uhol medzi kľukou 2 a kľukou 22  
fi3=2.5*pi/180;  
fi6=178.5*pi/180;  
fi5=276*pi/180;  
fi4=105*pi/180;  
l22=0.0003;  
x=[fi3;fi4;fi5;fi6] % vektor závislých premenných  
n=36; % pocet polôh  
alfa=0; % uhlové zrýchlenie kľuky 2  
omega=360+75; % uhlová rýchlosť  
q0=75*pi/180; % počatočné natočenie kľuky 2  
tk=(2*pi)/omega;  
i=1;  
a=0;  
b=0;  
while b<2  
  
for t=0:tk/n:tk  
    q(i,1)=q0+omega*t+(alfa*t^2)/2;  
    q(i,2)=l22;  
    x=fsolve('rovn2',x,[1],[],q(i,:))  
    p(i,1:4)=x';  
    fi3=p(i,1);  
    fi4=p(i,2);  
    fi5=p(i,3);  
    fi6=p(i,4);  
    % poloha bodu A  
    XA(i,1)=l2*cos(q(i))+l3*cos(fi3)+l4*cos(fi4)+(l6+l66)*cos(fi6);  
    YA(i,1)=l2*sin(q(i))+l3*sin(fi3)+l4*sin(fi4)+(l6+l66)*sin(fi6);  
    RA(i,1)=sqrt((XA(i,1)^2)+(YA(i,1)^2));  
  
    i=i+1;  
end  
plot(XA*1000,YA*1000),grid  
XAmax=max(XA)*1000;  
XAmmin=min(XA)*1000;  
YAmmax=max(YA)*1000;  
YAmmin=min(YA)*1000;  
a=XAmmax-XAmmin  
b=YAmmax-YAmmin  
sx=(XAmmax+XAmmin)/2  
sy=(YAmmax+YAmmin)/2  
l22=l22+0.0002  
pause  
end  
save zl22.mat
```

HLAVNÝ PROGRAM

RIEŠENIA PODÁVACIEHO MECHANIZMU

Zmena L22

```
%  
function x=rovn2(neznama,q)  
l2= 0.00205; % dĺžka kľuky 2  
l22=q(2); % dĺžka kľuky 22  
l3= 0.060; % dĺžka tiahla 3  
l4= 0.046; % dĺžka prvej časti páky 4  
l44= 0.021; % dĺžka druhej časti páky 44  
l5= 0.057; % dĺžka tiahla 5  
l6= 0.048; % páka podávača 6  
l66= 0.0165; % páka podávača 66  
l7= 0.036; % y-ová vzdialenosť čapu páky 4  
l8= 0.056; % x-ová vzdialenosť čapu páky 4  
gama=4*pi/180;  
fi3=neznama(1);  
fi4=neznama(2);  
fi5=neznama(3);  
fi6=neznama(4);  
x=zeros(4,1);  
x(1)=l2*cos(q(1))+l3*cos(fi3)+l44*cos(fi4)-l8;  
x(2)=l2*sin(q(1))+l3*sin(fi3)+l44*sin(fi4)-l7;  
x(3)=l2*cos(q(1))+l3*cos(fi3)+l4*cos(fi4)+l5*cos(fi5)+l6*cos(fi6)+l22*cos(q(1)+gama);  
x(4)=l2*sin(q(1))+l3*sin(fi3)+l4*sin(fi4)+l5*sin(fi5)+l6*sin(fi6)+l22*sin(q(1)+gama);
```

%
%
%

HLAVNÝ PROGRAM RIEŠENIA PODÁVACIEHO MECHANIZMU Zmena gama

```

clear all
l2=0.00205; % dĺžka kľuky 2
l22=0.0008; % dĺžka kľuky 22
l3=0.060; % dĺžka tiahla 3
l4=0.046; % dĺžka prvej časti páky 4
l44=0.021; % dĺžka druhej časti páky 44
l5=0.057; % dĺžka tiahla 5
l6=0.048; % páka podávača 6
l66=0.0165; % páka podávača 66
l7=0.036; % y-ová vzdialenosť čapu páky 4
l8=0.056; % x-ová vzdialenosť čapu páky 4
gama=4*pi/180; % uhol medzi kľukou 2 a kľukou 22
fi3=2.5*pi/180;
fi6=178.5*pi/180;
fi5=276*pi/180;
fi4=105*pi/180;
gama=14*pi/180;
x=[fi3;fi4;fi5;fi6] % vektor závislých premenných
n=36; % pocet polôh
alfa=0; % uhlové zrýchlenie kľuky 2
omega=360+75; % uhlová rýchlosť
q0=75*pi/180; % počiatočné natočenie kľuky 2
tk=(2*pi)/omega;
i=1;
a=0;
b=0;
while b<2

for t=0:tk/n:tk
    q(i,1)=q0+omega*t+(alfa*t^2)/2;
    q(i,2)=gama;
    x=fsolve('rovn3',x,[1],[],q(i,:))
    p(i,1:4)=x';
    fi3=p(i,1);
    fi4=p(i,2);
    fi5=p(i,3);
    fi6=p(i,4);
    % poloha bodu A
    XA(i,1)=l2*cos(q(i))+l3*cos(fi3)+l4*cos(fi4)+(l6+l66)*cos(fi6);
    YA(i,1)=l2*sin(q(i))+l3*sin(fi3)+l4*sin(fi4)+(l6+l66)*sin(fi6);
    RA(i,1)=sqrt((XA(i,1)^2)+(YA(i,1)^2));

i=i+1;
end
plot(XA*1000,YA*1000),grid
XAmax=max(XA)*1000;
XAmin=min(XA)*1000;
YAmax=max(YA)*1000;
YAmin=min(YA)*1000;
a=XAmaz-XAmin
b=YAmaz-YAmin
sx=(XAmaz+XAmin)/2
sy=(YAmaz+YAmin)/2
gama=gama-4*pi/180
gg=gama*180/pi
pause
end

```

```

% Zmena gama
function x=rovn3(neznama,q)
l2= 0.00205; % dĺžka kľuky 2
l22=0.0008; % dĺžka kľuky 22
l3=0.060; % dĺžka tiahla 3
l4=0.046; % dĺžka prvej časti páky 4
l44=0.021; % dĺžka druhej časti páky 44
l5=0.057; % dĺžka tiahla 5
l6=0.048; % páka podávača 6
l66=0.0165; % páka podávača 66
l7=0.036; % y-ová vzdialenosť čapu páky 4
l8=0.056; % x-ová vzdialenosť čapu páky 4
gama=q(2);
fi3=neznama(1);
fi4=neznama(2);
fi5=neznama(3);
fi6=neznama(4);
x=zeros(4,1);
x(1)=l2*cos(q(1))+l3*cos(fi3)+l44*cos(fi4)-l8;
x(2)=l2*sin(q(1))+l3*sin(fi3)+l44*sin(fi4)-l7;
x(3)=l2*cos(q(1))+l3*cos(fi3)+l4*cos(fi4)+l5*cos(fi5)+l6*cos(fi6)+l22*cos(q(1)+gama);
x(4)=l2*sin(q(1))+l3*sin(fi3)+l4*sin(fi4)+l5*sin(fi5)+l6*sin(fi6)+l22*sin(q(1)+gama);

```

%
%
%
clear all
l2=0.00205; % dĺžka kľuky 2
l22=0.0008; % dĺžka kľuky 22
l3=0.060; % dĺžka tiahla 3
l4=0.046; % dĺžka prvej časti páky 4
l44=0.021; % dĺžka druhej časti páky 44
l5=0.057; % dĺžka tiahla 5
l6=0.048; % páka podávača 6
l66=0.0165; % páka podávača 66
l7=0.036; % y-ová vzdialenosť čapu páky 4
l8=0.056; % x-ová vzdialenosť čapu páky 4
gama=14*pi/180; % uhol medzi kľukou 2 a kľukou 22
fi3=2.5*pi/180;
fi6=178.5*pi/180;
fi5=276*pi/180;
fi4=105*pi/180;
l2=0.0015;
l22=0.0003;
x=[fi3;fi4;fi5;fi6] % vektor závislých premenných
n=36; % počet polôh
alfa=0; % uhlové zrýchlenie kľuky 2
omega=360+75; % uhlová rýchlosť
q0=75*pi/180; % počiatočné natočenie kľuky 2
tk=(2*pi)/omega;
i=1;
a=0;
while a<5
for t=0:tk/n:tk
q(i,1)=q0+omega*t+(alfa*t^2)/2;
q(i,2)=l2;
q(i,3)=l22;
x=fsolve('rovn11',x,[1],[],q(i,:)); % poloha bodu A
p(i,1:4)=x';
fi3=p(i,1);
fi4=p(i,2);
fi5=p(i,3);
fi6=p(i,4);
XA(i,1)=l2*cos(q(i))+l3*cos(fi3)+l4*cos(fi4)+(l6+l66)*cos(fi6);
YA(i,1)=l2*sin(q(i))+l3*sin(fi3)+l4*sin(fi4)+(l6+l66)*sin(fi6);
RA(i,1)=sqrt((XA(i,1)^2)+(YA(i,1)^2));
i=i+1;
end
plot(XA*1000,YA*1000),grid
XAmaz=max(XA)*1000;
XAmi=min(XA)*1000;
YAmaz=max(YA)*1000;
YAmi=min(YA)*1000;
a=XAmaz-XAmi
b=YAmaz-YAmi
sx=(XAmaz+XAmi)/2
sy=(YAmaz+YAmi)/2
l2=l2+0.0003
pause
end
l2=l2-0.0003
b=0;

```

for t=0:tk/n:tk
    q(i,1)=q0+omega*t+(alfa*t^2)/2;
    q(i,2)=l2;
    q(i,3)=l22;
    x=fsolve('rovn22',x,[1],[],q(i,:))
    p(i,1:4)=x';
    f13=p(i,1);
    f14=p(i,2);
    f15=p(i,3);
    f16=p(i,4);

        % poloha bodu A
XA(i,1)=l2*cos(q(i))+l3*cos(f13)+l4*cos(f14)+(l6+l66)*cos(f16);
YA(i,1)=l2*sin(q(i))+l3*sin(f13)+l4*sin(f14)+(l6+l66)*sin(f16);
RA(i,1)=sqrt((XA(i,1)^2)+(YA(i,1)^2));

```

```

% -----
i=i+1;
end
plot(XA*1000,YA*1000),grid
XAmax=max(XA)*1000;
XAmin=min(XA)*1000;
YAmmax=max(YA)*1000;
YAmmin=min(YA)*1000;
a=XAmmax-XAmmin
b=YAmmax-YAmmin
sx=(XAmmax+XAmmin)/2
sy=(YAmmax+YAmmin)/2
l22=l22+0.0002;
pause
end
l22=l22-0.0002;
%%%%%%%%%%%%%
os=5;

```

```

while os>0.3

```

```

for t=0:tk/n:tk
    q(i,1)=q0+omega*t+(alfa*t^2)/2;
    q(i,2)=l2;
    q(i,3)=l22;
    q(i,4)=gama;
    x=fsolve('rovn33',x,[1],[],q(i,:))
    p(i,1:4)=x';
    f13=p(i,1);
    f14=p(i,2);
    f15=p(i,3);
    f16=p(i,4);

        % poloha bodu A
XA(i,1)=l2*cos(q(i))+l3*cos(f13)+l4*cos(f14)+(l6+l66)*cos(f16);
YA(i,1)=l2*sin(q(i))+l3*sin(f13)+l4*sin(f14)+(l6+l66)*sin(f16);
RA(i,1)=sqrt((XA(i,1)^2)+(YA(i,1)^2));

```

```

% -----
i=j+1;
end
plot(XA*1000,YA*1000),grid
XAmax=max(XA)*1000;
XAmin=min(XA)*1000;
YAmmax=max(YA)*1000;
YAmmin=min(YA)*1000;

```

```
a=XAmax-XAmin  
b=YAmax-YAmin  
sx=(XAmax+XAmin)/2  
sy=(YAmax+YAmin)/2  
gama=gama-4*pi/180  
gg=gama*180/pi  
[Y1,I]=min(YA)  
[Y2,J]=max(YA)  
os=XA(J)*1000-XA(I)*1000  
pause  
end  
save zl2x.mat
```